

ADMINISTRATION DES MINES — BESTUUR VAN HET MIJNWEZEN

Annales des Mines

DE BELGIQUE



U. I. C. C.
JUL 21 1977
LIBRARY

Annalen der Mijnen

VAN BELGIE

Direction - Rédaction :
INSTITUT NATIONAL DES
INDUSTRIES EXTRACTIVES

Directie - Redactie :
NATIONAAL INSTITUUT VOOR
DE EXTRACTIEBEDRIJVEN

4000 LIEGE, 200 rue du Chéra — Tél. (041) 52 71 50

J. RAYNAUD : Levé magnétique dans le massif cambrien de Stavelot. — Perspectives économiques de la gazéification souterraine sous haute pression. - Economische vooruitzichten van de ondergrondse vergassing onder hoge druk. — C. BRAEKMAN-DANHEUX et NGUYEN CU QUYEN : Fragmentation électronique et décomposition thermique du toluène et de quelques phénols. — G. DEQUELDRE : L'activité de l'Institut d'Hygiène des Mines en 1975. - Bedrijvigheid van het Instituut voor Mijnhygiëne in 1975. — INIEX : Revue de la littérature technique. — Bibliographie.

Annales des Mines

DE BELGIQUE



Annalen der Mijnen

VAN BELGIE

Direction - Rédaction :

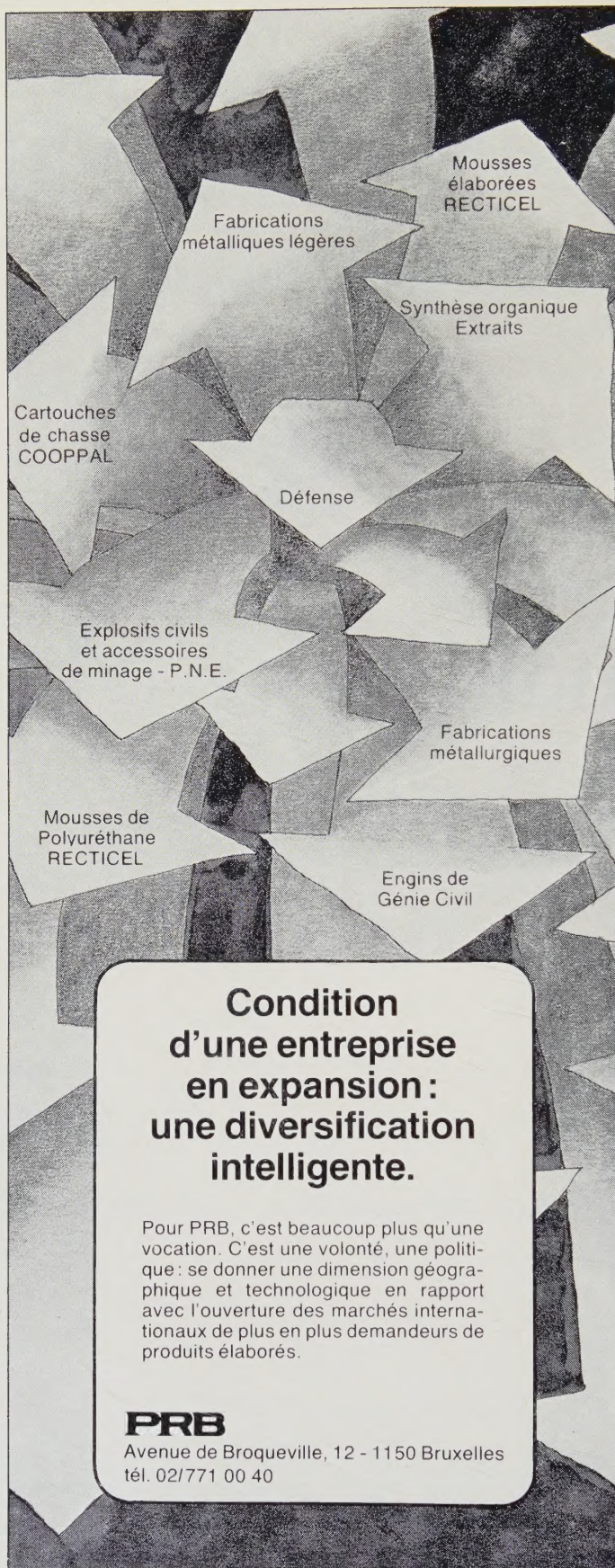
INSTITUT NATIONAL DES
INDUSTRIES EXTRACTIVES

Directie - Redactie :

NATIONAAL INSTITUUT VOOR
DE EXTRACTIEBEDRIJVEN

4000 LIEGE, 200 rue du Chéra — Tél. (041) 52 71 50

J. RAYNAUD : Levé magnétique dans le massif cambrien de Stavelot. — Perspectives économiques de la gazéification souterraine sous haute pression. - Economische vooruitzichten van de ondergrondse vergassing onder hoge druk. — C. BRAEKMAN-DANHEUX et NGUYEN CU QUYEN : Fragmentation électronique et décomposition thermique du toluène et de quelques phénols. — G. DEGUELDRE : L'activité de l'Institut d'Hygiène des Mines en 1975. - Bedrijvigheid van het Instituut voor Mijnhygiëne in 1975. — INIEX : Revue de la littérature technique. — Bibliographie.



**Condition
d'une entreprise
en expansion :
une diversification
intelligente.**

Pour PRB, c'est beaucoup plus qu'une vocation. C'est une volonté, une politique : se donner une dimension géographique et technologique en rapport avec l'ouverture des marchés internationaux de plus en plus demandeurs de produits élaborés.

PRB

Avenue de Broqueville, 12 - 1150 Bruxelles
tél. 02/771 00 40

Direction-Rédaction :
**INSTITUT NATIONAL
DES INDUSTRIES EXTRACTIVES**

4000 LIEGE, 200, rue du Chéra — TEL. (041) 52 71 50

Directie-Redactie :
**NATIONAAL INSTITUUT
VOOR DE EXTRACTIEBEDRIJVEN**

Sommaire - Inhoud

DEUXIEMES JOURNEES DE L'INDUSTRIE MINERALE : HOMMAGE AU PROFESSEUR I. de MAGNEE
Université de Bruxelles, janvier 1976

RAYNAUD : Levé magnétique dans le massif cambrien de Stavelot	125
perspectives économiques de la gazéification souterraine sous haute pression Economische vooruitzichten van de ondergrondse vergassing onder hoge druk	139
BRAEKMAN-DANHEUX et NGUYEN CU QUYEN : Corrélation entre la fragmentation électronique et la décomposition thermique du toluène et de quelques phénols	179
DEGUELDRE : L'activité de l'Institut d'Hygiène des Mines au cours de l'année 1975 Bedrijvigheid van het Instituut voor Mijnhygiëne gedurende het jaar 1975	185
IEIX : Revue de la littérature technique	211
bliographie	223

Reproduction, adaptation et traduction autorisées en citant le titre de la Revue, la date et l'auteur.

DITION - ABONNEMENTS - PUBLICITE - UITGEVERIJ - ABONNEMENTEN - ADVERTENTIES
50 BRUXELLES ● EDITIONS TECHNIQUES ET SCIENTIFIQUES ● 1050 BRUSSEL
Rue Borrens, 35-43 - Borrensstraat — TEL. 640 10 40



Digitized by the Internet Archive
in 2023

Anomalie magnétique dans le massif cambrien de Stavelot

Structure géologique de la bordure méridionale du massif devillien de Falize-Ligneuville

par RAYNAUD *

RESUME

Le bord sud du massif devillien de Falize-Ligneuville est jalonné par une crête d'anomalies positives de la composante verticale du champ magnétique terrestre.

Cette crête d'anomalies relie entre eux tous les affleurements de phyllades devilliens magnétitifères et trouve donc son origine dans la présence de ces schistes. Elle s'allonge avec des directions remarquablement parallèles à celles des formations devilliennes et à la sens de l'inclinaison, là où il est connu avec certitude, concorde avec celui déduit de l'allure des isanomaies à proximité. On peut donc conclure à une distribution de la magnétite suivant les schistes du Devillien et raisonner sur un horizon à magnétite.

Cet horizon peut se suivre magnétiquement près du contact, tantôt dans le Devillien, tantôt dans le Revinien. Tout se passe comme si la limite Revinien-Devillien ne suivait pas un même niveau du Devillien ; elle avance ou recule par rapport à l'échelle stratigraphique de ce dernier.

Cette disposition, ainsi que l'existence d'un pli dans le Devillien qu'on ne retrouve pas dans le Revinien, rend impossible un emboîtement, en contact normal, de ces deux formations. C'est le cas, même entre Challes et Beaumont, où les résultats magnétiques concordent en faveur d'un charriage du Revinien sur le Devillien.

SAMENVATTING

Langs de zuid-rand van het Devilliummassief van Falize-Ligneuville loopt een kam van abnormale hoge waarden van de verticale component van het magnetisch aardveld.

Alle gekende ontsluitingen van de magnetietschifers van het Devillium worden onder elkaar verbonden door deze kam ; het zijn dus wel deze gesteenten die verantwoordelijk zijn voor de storingen in het aardveld. Er bestaat een opmerkelijke evenwijdigheid tussen de strekkingen in het Devillium en de richtingen van de kam van magnetische hoge waarden. Daar waar de helling van de Devilliumlagen met zekerheid kan worden vastgesteld, stemt zij overeen met de zin van deze, welke kan worden afgeleid uit een analyse van de ligging der isanomaalen. Hieruit volgt dat de magnetietkristallen zich verdelen volgens de geleegdheid van het Devillium ; men kan dus redeneren in functie van een magnetiet-horizont.

Opmetingen van het magnetisch veld laten toe deze horizont te volgen langs de limiet Revinium-Devillium, nu eens in de eerste, vervolgens weer in de andere formatie ; alles doet zich voor alsof deze limiet niet samenvalt met éézelfde Devillium-niveau ; zij volgt afwisselend jongere en oudere onderverdelingen van de stratigrafische schaal van het Devillium.

Deze gesteldheid, evenals het bestaan van een plooi in het Devillium die men niet terugvindt in het Revinium, maken een concordante aansluiting van de twee formaties onmogelijk, zelfs in het gebied tussen Challes en Beaumont, waar de magnetische resultaten wijzen op het bestaan van een overschuiving van Revinium op Devillium.

Eu égard aux levés géologiques les plus récents, qui ont conclu à la présence de failles de charriage le long des bordures septentrionale et orientale du massif, le Devillien apparaîtrait donc en îlot dans le Revinien, délimité sur toute sa périphérie visible par des accidents tectoniques similaires. La conception de « Fenêtre de Falize-Ligneuville » correspondrait bien à la réalité.

ZUSAMMENFASSUNG

Am Südrand des Massif devillien von Falize-Ligneuville erstreckt sich ein Kamm positiver Anomalien der Vertikalkomponente des Erdmagnetfeldes.

Dieser Kamm von Anomalien verbindet sämtliche Aufschlüsse von magnetithaltigen Deville-Phylliten und ist demnach aus dem Vorhandensein dieses Gesteins entstanden. Er erstreckt sich in bemerkenswerten parallelen Richtungen zu denjenigen der Streichen der Deville-Formationen, deren Neigungssinn — dort wo er hundertprozentig feststeht — mit demjenigen übereinstimmt, der aus dem Verlauf der nahegelegenen isanormalen Kurven abgeleitet wurde. Aus diesem Grunde kann man auf eine Verteilung des Magnetits schließen nach den Lagen des Deville und einen Magnetithorizont zugrundelegen.

Messungen des Magnetfeldes erlauben es diesem Horizont in Kontaktnähe zu folgen, mal im Deville, mal im Revin. Alles geschieht, als ob die Deville-Revin Grenze demselben Niveau des Deville nicht folgte. Sie bewegt sich vorwärts oder rückwärts in Bezug auf die stratigraphische Skala dieser Formation.

Diese Anordnung sowie das Vorhandensein einer Falte im Deville, die im Revin nicht wiederzufinden ist, macht die Einfügung dieser beiden Formationen im normalen Kontakt unmöglich. Dies trifft auch zwischen Challes und Beaumont zu, wo die magnetischen Ergebnisse für eine Schollenüberschiebung des Revin auf das Deville sprechen.

Angesichts der neulichen geologischen Erkenntnisse, die auf das Vorhandensein von Schollenüberschiebungsstörungen entlang der nördlichen bzw. östlichen Ränder des Massivs schließen lassen, würde also das Deville als eine Insel im Revin auftauchen, die über ihren ganzen sichtbaren Umfang durch ähnliche tektonische Störungen abgegrenzt ist. Der Begriff des « Fenêtre de Falize-Ligneuville » würde also der Wirklichkeit entsprechen.

Rekening houdend met de meest recente karteringen, die besloten tot het bestaan van overschuivingsvallen volgens de noordelijke en oostelijke randen van het massief, zou het Devillium dus dagzomen, omringd door overschuivingen langs gans zijn waarneembare omtrek en de gedachte aan « Fenêtre de Falize-Ligneuville » zou wel degelijk overeenstemmen met de waarheid.

SUMMARY

The southern edge of the Devillian massif of Falize-Ligneuville is marked by a chain of positive anomalies in the vertical component of the Earth's magnetic field.

This chain of anomalies joins the entire series of outcrops of the magnetite-containing Devillian phyllites; the anomaly phenomenon thus owes its origin to the presence of these rocks. It continues along directions which are remarkably parallel to those of the strikes of the Devillian formations, the way of dip which (where it is known with any degree of certainty) coincides with that deduced from the form of the iso-anomaly proximity curves. This leads to the conclusion that the magnetite distribution follows the Devillian strata and to the consequent hypothesis of a magnetite horizon.

This horizon can be magnetically traced near the contact, in either the Devillian or the Revinian. It is, although the boundary between the Revinian and the Devillian was not always following one and the same level of the Devillian; this boundary rather advances or retreats in relation to the stratigraphic scale of the latter.

This situation, together with a fold in the Devillian which is not present in the Revinian, excludes the possibility of conformity, associated with a normal contact between these two formations. This is so even between Challes and Beaumont, where the magnetometry data indicate thrusting of the Revinian over the Devillian.

In the light of the latest geological surveys, which indicated thrust faults along the northern and eastern edges of the massif, the Devillian would seem to constitute an island in the Revinian, defined over its entire visible periphery by similar tectonic features. The idea of the « Fenêtre de Falize-Ligneuville » would thus approximate closely to the actual situation.

1. INTRODUCTION

Des différents massifs de roches devilliennes, qui ennent pointer dans le Revinien du massif de Stavelot, celui de Falize-Ligneuville est un des plus importants.

Il s'allonge sur environ 8 km dans le sens N.W.-E.S.E., donc à peu près orthogonalement à la direction hercynienne, sa largeur variant de 2,5 à 3 km.

Les phyllades et quartzites, de teinte généralement grise, qui le constituent, sont environnés de toutes parts par les phyllades et quartzites reviniens, de teinte généralement foncée, sauf vers le nord-ouest où l'extension du massif est coupée par la bande permotriassique du Poudingue de Malmédy, à direction hercynienne (fig. 2).

Dès 1848, on trouve le massif de Falize-Ligneuville décrit par André Dumont qui y décrit une coupe nord-sud suivant la vallée de la Warche, dans laquelle, près du confluent Warche-Amblève, il voit le Devillien, inclinant au sud, surmonté par le Revinien, également à pendage sud et avec direction à peu près nord-ouest. Il semble bien que ce soit principalement cette coupe à laquelle A. Dumont fait allusion, lorsqu'il écrit, page 71 de son mémoire, après description du massif de Rocroi, où il avait pressenti déjà l'antériorité du Devillien par rapport au Revinien, sur l'allure en voûte des bandes devilliennes de Rognon et de Fumay : « Enfin, je démontrerai rigoureusement, par la suite, que le système de roches analogues à celles du système devillien, qui se trouve dans le massif ardennais de Stavelot, est plus ancien que les systèmes revinien et salmien qui l'entourent ».

Dans une deuxième coupe nord-sud, située un peu plus est de la première, A. Dumont rencontre « ... La plupart des roches de la coupe précédente en fragments altérés ».

Ces observations peuvent se résumer comme suit :

- à la bordure sud du massif de Falize-Ligneuville, aussi bien le Devillien que le Revinien se présentent avec une inclinaison vers le sud et une direction à peu près E.-W., donc dans les grandes lignes parallèle à l'allongement du massif ;

- le Revinien repose, en allure concordante, sur le Devillien et est donc plus jeune.

A titre historique, il y a lieu de citer trois cartes manuscrites géologiques de H. Grebe, ayant trait au massif de Falize-Ligneuville et dont un commentaire a été publié par leur auteur en 1899(*).

Gustave Dewalque, élève d'André Dumont et son successeur à la chaire de géologie de l'Université de Liège, ne partageait pas l'opinion de son maître quant à un contact normal revinien-devillien le long du bord sud du massif de Falize-Ligneuville. Sur la planchette n° 160, « Stavelot-Francheville », de l'ancienne carte géologique de la Belgique, qui date de 1901 et qui avait été levée et tracée par G. Dewalque, on trouve ce bord sud délimité par une série de failles, séparant le Devillien au nord du Revinien au sud et ce depuis le Poudingue de Malmédy jusqu'au ruisseau de Recht, c'est-à-dire sur toute son étendue située à ce moment en territoire belge.

On retrouve les mêmes tracés sur les cartes géologique et tectonique que Dewalque publia au début du siècle et qui intéressent la Belgique et les provinces voisines.

Fait curieux, cet auteur n'a jamais justifié, en aucune de ses nombreuses publications, sa conception du caractère faillé de la limite Revinien-Devollien. Natif de Stavelot, il devait cependant avoir étudié de longue date la région : déjà en 1874, on relève de sa main, dans le tome 1 des Annales de la Société Géologique de Belgique (en note infrapaginale) : « ... Quant à la bande de Falize, je n'ai pas encore eu l'occasion de la revoir : j'aurai lieu d'y revenir ». Il n'y est jamais revenu et nous ne saurons probablement jamais pourquoi Dewalque a adopté les tracés qui figurent sur ses cartes.

A peu près un quart de siècle plus tard, vers 1926, le professeur Paul Fourmarier, frappé par le caractère insolite du contact Revinien-Devollien sur la planchette « Stavelot-Francheville », chargea un de ses élèves, E. Renard, d'une étude détaillée de l'ensemble du massif, qui était maintenant situé tout entier en territoire belge, et de ses limites. Ce géologue en arriva, entre autres, à la conclusion que « ... le passage du Devillien supérieur au Revinien ne se signale ni par un changement brusque de faciès, ni par une discordance de stratification. C'est, à notre sens, insensiblement que l'on passe du Devillien au Revinien ». Le croquis géologique, dessiné par E. Renard en accord avec ces vues, représente le massif devillien comme entrant partout en contact normal avec le Revinien, également à sa limite méridionale, où ne sont plus retenues les failles « bordières » de G. Dewalque.

L'étude mentionne encore le caractère malaisé du levé géologique, dû à l'absence de fossiles, à la rareté des affleurements et à l'altération des roches, qui rendent parfois difficile leur attribution à l'une ou l'autre division du Cambrien. Cette remarque n'étonnera aucun géologue cartographe, ayant œuvré dans ces terrains ; en fait, c'est surtout le Devillien, sous son faciès phylladeux ou phyllado-quartzitique, qui se dérobe à l'observation, étant tellement sensible à l'érosion qu'il n'affleure que rarement et que presque

MALMEDY

Ligneuville

STAVELOT





Fig. 2. — En tracé noir : carte géologique suivant la planchette n° 160 de la Carte Géologique de Belgique (1963) et complétée selon des levés de F. Geukens (1961). (Les points, repérés par des fléchettes incurvées, indiquent les affleurements de phyllades magnétitiques).
En tracé marron : carte des isogammes de la composante verticale du champ magnétique.

tous les terrains devilliens se présentent en dépression par rapport aux terrains reviniens, situés à proximité.

En 1933, Ch. Ancion, autre élève de P. Fourmarier, à l'occasion de levés en vue de l'établissement de la première échelle stratigraphique détaillée du Revinien, étudia le bord sud-occidental du massif de Falize-Ligneuville, entre le Poudingue de Malmédy et le confluent Warche-Amblève. Il y confirma les conclusions de E. Renard quant à la superposition normale, sans faille, du Revinien sur le Devillien.

C'est en 1940 que R. Anthoine, aussi de l'école de P. Fourmarier, fit paraître un important mémoire, « *La Fenêtre de Falize-Ligneuville* », dont rien que le titre annonce déjà une conception révolutionnaire du contact Revinien-Devillien, tout le long du périmètre du massif devillien. L'auteur y défendit en effet la thèse que, non seulement dans le massif de Falize-Ligneuville, mais encore dans les autres massifs devilliens du massif de Stavelot (Grand-Halleux, Wanne), le Revinien entre *partout* en contact anormal, par failles, avec le Devillien, ces accidents tectoniques étant interprétés comme des failles de charriage le long desquelles le Revinien aurait été refoulé sur le Devillien. Cette thèse ne constituait en fait qu'une généralisation de celle que R. Anthoine avait soutenue déjà précédemment, à l'occasion d'une étude très détaillée du massif de Rocroi, où il avait trouvé partout le Revinien, séparé par faille du Devillien.

Sans entrer dans le détail des tracés géologiques que R. Anthoine adopta pour le massif de Falize-Ligneuville, il y a cependant lieu de signaler que ce fut le premier géologue qui se risqua à faire de la stratigraphie de détail dans le Devillien de ce massif, en se basant uniquement sur les caractères lithologiques et la géométrie des formations, en l'absence de fossiles autres que les empreintes d'*Oldhamia radiata*, de valeur stratigraphique très minime. Toute la partie sud du massif fut interprétée comme formée d'un ensemble concordant, s'étendant, en allure générale, suivant l'allongement de celui-ci et se présentant en dressant renversé avec, comme niveau le plus ancien visible, des phyllades verdâtres renfermant de petits cristaux de magnétite et venant à la surface près de la limite méridionale du massif (« *niveau de Pont* » sensu R. Anthoine).

Le mémoire de R. Anthoine reproduit une coupe de détail du contact Revinien-Devillien dans le ravin du ruisseau du Laid Trou (*), à l'est du hameau de

Lôdômé (fig. 2). Conformément aux vues de l'auteur et en accord avec les idées de G. Dewalque, ce contact y est figuré comme faillé, malgré toutes les apparences : le Revinien et le Devillien s'y présentent en effet avec même allure, tous deux dirigés à peu près est-ouest et inclinant au sud d'environ 60 degrés.

Concernant cette coupe dont il sera encore question plus loin, on ne risque pas de se tromper en affirmant que tout géologue, sans idées préconçues et qui ne retiendrait que les éléments de cette coupe, conclurait à cet endroit à un contact normal concordant du Revinien sur le Devillien, comme le firent d'ailleurs E. Renard et Ch. Ancion, après A. Dumont et comme le fit encore F. Geukens quand il écrivit en 1952 : « *Nous n'avons pas trouvé trace d'une discordance entre le Revinien et le Devillien* ».

Quelques années plus tard, ce géologue reprit en détail l'étude de tout le massif de Falize-Ligneuville, à l'occasion de la publication de la planchette n° 160 (« *Stavelot-Malmédy* ») de la nouvelle carte géologique de la Belgique, au 1/25.000e, dont il assumait le levé et le tracé. On retrouve les tracés de cette planchette sur une carte géologique, plus étendue vers le sud-est, qui figure dans le mémoire que F. Geukens consacra en 1961 à la structure géologique du massif. La figure 2 reproduit cette carte géologique ; pour la clarté, on y a supprimé les limites entre les sous-étages du Revinien, de même que les failles et un niveau repère qui n'intéressent que le Devillien.

On ne peut manquer d'être frappé par les similitudes des qu'on relève entre les tracés géologiques de F. Geukens et ceux de R. Anthoine :

- *Similitudes en ce qui concerne l'allure du Devillien* : les deux auteurs conçoivent ses assises comme de direction générale N.W.-S.E. et nord plus N.E.-S.W. comme sur la carte de E. Renard ; F. Geukens esquisse cette direction par le figuré d'un niveau devillien non autrement spécifié ; il juge qu'il est impossible de faire de la stratigraphie de détail dans le Devillien, par suite de la rareté des affleurements et de l'absence de profils de comparaison.
- *Similitudes en ce qui concerne le contact Revinien-Devillien* : comme sur la carte de R. Anthoine, ce contact est dessiné par F. Geukens comme faillé sur *presque* toute la périphérie du massif et cette disposition est également interprétée comme due à des phénomènes de charriage.

En se limitant au bord sud du massif, le seul dont il sera encore question plus loin, on remarque que c'est précisément ici qu'il existe le plus de désaccord entre les deux auteurs sur la nature du contact (fig. 2). Suivant la conception de R. Anthoine, la faille de charriage suivrait le contact sur *toute* son étendue, depuis le ruisseau de Rôba jusqu'au Poudingue de

(*) Le ruisseau du Laid Trou figure sur les anciennes cartes topographiques sous le nom de « ruisseau du Sart Lalou » ; c'est sous cette dernière dénomination (ou encore sous le nom de ruisseau du Sart ou ruisseau de Sart) qu'il a été cité dans les publications antérieures à 1955.

almédy. Suivant la conception de F. Geukens, par
ntre, cet accident tectonique obliquerait vers
uest, puis vers le sud-ouest, à partir du Noir Ru, et
continuerait dans le Revinien, pour aller se raccor-
r à la zone faillée de Trois-Ponts ; entre Beaumont
ès du Noir Ru) et Challes (près du Poudingue de
almédy), le Revinien reposerait en concordance de
atification sur le Devillien.

L'évolution des idées en était arrivée là, quand, il y
une dizaine d'années, j'eus l'occasion de parler de
ette question avec I. de Magnée dont j'eus le privi-
ge, il y a quarante ans, de suivre l'enseignement et
devenir, par après, l'assistant et l'ami. Nous étions
en d'accord sur le fait que la diversité des inter-
étations devait provenir, en ordre principal, de la
asi-impossibilité de débrouiller la tectonique du
evillien par les méthodes classiques du levé géolo-
que, les possibilités d'observation de ce terrain
ant radicalement limitées par la rareté des affleure-
ents. Nous en revenions en fait aux conclusions
xquelles nous étions déjà arrivés en 1944, à l'oc-
sion d'un levé magnétique près de Court-St-
ienne, dans le massif cambrien du Brabant, qui
ait permis de mieux comprendre la structure
eologique d'une région, également très controver-
e.

Je fis part à I. de Magnée de mon intention d'exé-
ter un levé magnétique le long du bord sud du
assif de Falize-Ligneuville, qui, vu la présence de
nyllades à magnétite dans le Devillien, était suscep-
ble de pouvoir apporter des renseignements com-
émentaires sur la tectonique de cette formation.

J'ai trouvé auprès de mon ancien professeur toute
aide nécessaire à l'exécution du levé en question et
l'en remercie. Je suis également redevable de re-
merciements à A. De Vuyst, directeur de l'Institut de
ysique du Globe de Dourbes, pour la mise à ma
sposition de magnétomètres de types divers et des
registres de la variation diurne du champ
agnétique terrestre.

Au fur et à mesure de l'avancement des travaux, je
e rendis compte que, pour en arriver à un résultat
ensemble, le levé magnétique devrait être étendu
a totalité du massif de Falize-Ligneuville, sans par-
r de ceux de Wanne et de Grand-Halleux, pour
tant que non encore levés.

La carte magnétique qui est présentée ici ne cons-
ue donc qu'une partie d'un levé en cours d'exécu-
on. Dans son étendue, elle permet cependant déjà
arriver à certaines conclusions en rapport avec la
ctonique.

2. RESULTATS DU LEVE MAGNETIQUE ET INTERPRETATION GEOLOGIQUE

Pour tout ce qui concerne la technique du levé
magnétique, l'implantation des stations de mesure et
bases théoriques de l'interprétation géologique des
résultats magnétiques, on voudra bien se reporter à la
publication de 1944 de I. de Magnée et de moi-
même et à la bibliographie qui y est citée. On trouvera
également des renseignements dans une publication
plus récente de J.M. Graulich et J.L. Koenigsfeld
(1962), concernant un levé magnétique intéressant
le massif devillien de Grand-Halleux.

Ci-après, on trouvera quelques données générales
sur le levé exécuté :

Superficie levée : environ 12 kilomètres carrés.

Grandeur physique dont la variation fut mesurée : composante
verticale du champ magnétique terrestre (Z), exprimé en γ (1
 $\text{gamma} = 10^{-5}$ gauss).

Z total dans la région étudiée : environ 43.300 γ , en 1966.

Ordre de grandeur des principales anomalies observées : environ
+ 250 γ , soit environ 1/200e du Z total.

ΔZ maximum observé dans l'étendue de la carte : environ 550 γ .

Instruments de mesure : principalement, balance magnétique
Schmidt-Askania, type Gf7, de l'Université de Bruxelles ; ac-
cessoirement, magnétomètre à torsion, type GfZ, Askania, et
magnétomètre Fluxgate MFD-2 Scintrex de l'Institut de Phy-
sique du Globe de Dourbes.

Instant de réduction des mesures : 17.9.1966 - 13 h 25' G.M.T.

Nombre de stations de mesure : environ 1.600.

Temps moyen pour l'exécution d'une mesure : environ 20 min (y
compris les déplacements d'une station à la suivante).

Il n'a pas été exécuté de correction de longitude et de latitude.

Les résultats corrigés des mesures magnétiques
sont reportés sur une carte topographique qui indique
les stations de mesure, chacune accompagnée de la
valeur de Z au point donné, en un même instant. A
partir des valeurs de Z , on obtient les courbes *iso-*
gammes.

La figure 1 reproduit cette carte topographique,
avec la localisation des stations.

Les tracés en teinte marron de la figure 2 montrent
l'allure des isogammes obtenues. Les chiffres figu-
rant à côté des isogammes (320, 340, 360, etc...) correspondent à la valeur de Z , supérieure à 43.000 γ : ainsi, l'isogamme 320 correspond à 43.320 γ . En dessous de la valeur de 43.400 γ , les isogammes ont été tracées de 20 en 20 γ et sont reproduites avec leur valeur d'intensité. Au-dessus de cette valeur, pour ne pas nuire à la clarté du dessin, on s'est contenté de tracer les isogammes 43.425, 43.450 et 43.500 γ , sans indication de la valeur de Z . Les anomalies magnétiques apparaissent, je l'espère, clairement par

les ombrages dégradés, les zones en marron intense correspondant aux régions où l'on observe « 43.500 γ et plus ».

L'examen de la figure 2 fait immédiatement apparaître que les isogammes sont, dans les grandes lignes, parallèles au contact Devillien-Revinien. Leur ensemble dessine une « crête » d'anomalies magnétiques positives, jalonnant ce contact.

21. Région à l'est du Noir Ru

On relève un premier maximum de plus de 43.500 γ le long du ruisseau de Rôba, dans l'extrémité sud-orientale du levé. L'endroit est cité par R. Anthoine dans son mémoire de 1940 ; l'auteur y signale des phyllades magnétitifères en contrebas de la route de Ligneuville à St-Vith, entre les 6^e et 7^e bornes kilométriques (*).

Entre les vallées des ruisseaux de Rôba et de Recht, la crête magnétique a pu être suivie distinctement, avec une direction générale N.-70°-W., dans une région couverte de prairies et totalement dépourvue d'affleurements.

On arrive ainsi à un deuxième maximum de plus de 43.500 γ , sur le versant oriental de la vallée du ruisseau de Recht. Le Revinien y affleure largement, avec direction générale E.-W. et inclinaison au sud. Aucun échantillon de ce Revinien, approché des magnétomètres, ne les a influencés ; le maximum magnétique doit donc provenir d'une formation existant en profondeur.

A environ 500 mètres à l'est de ce maximum, on note une petite crête accessoire qui se détache de la crête principale en « digitation », avec une direction N.-80°-E. ; elle peut se suivre jusque dans le village de Pont, où elle se termine à un affleurement de roches à magnétite, dirigées à peu près E.-W., donc sensiblement de même direction que celle de la petite crête accessoire. Dans son prolongement, près du thalweg du ruisseau de Rôba, a été localisée une deuxième petite crête d'anomalies, qui n'a pas encore été suivie plus vers l'est. L'image magnétique de cette région, encore fort incomplète, suggère cepen-

dant l'existence, près du village de Pont, d'un ensemble de roches devilliennes dont l'allure en direction est foncièrement différente de celles situées à proximité, vers le sud (*).

Immédiatement à l'ouest du ruisseau de Recht, la crête principale s'infléchit vers le nord, puis reprend sa direction générale qui, à cet endroit, est sensiblement parallèle au cours de l'Amblève. Ce décrochement concorde, y compris le sens du rejet, au passage de la faille de Pont (sensu R. Anthoine) et au passage de deux failles, figurées sur la carte géologique de F. Geukens, dans son mémoire de 1961.

Encore plus à l'ouest, la crête magnétique s'étend avec sa plus grande intensité. Une nouvelle fois, la large zone des anomalies magnétiques coïncide avec un affleurement de phyllades à magnétite, sur le versant sud de la vallée de l'Amblève (**). R. Anthoine avait déjà mesuré $d = \text{N.}-60^\circ\text{-W.}$; $i = 50^\circ\text{-S.}$ Depuis lors, une carrière s'est fortement développée sur le versant nord de la vallée, face à l'affleurement ci-dessus. Fait exceptionnel, on peut y voir le Devillien quartzitique, avec minces intercalations de phyllades sur un front continu de plus de 200 mètres de développement, avec mêmes direction et inclinaison que celles mesurées sur le versant d'en face.

Cette direction coïncide, à quelques degrés près, avec celle de la crête magnétique en cet endroit.

Quant à l'inclinaison sud des formations, on la retrouve dans les intervalles entre les isogammes qui sont nettement plus rapprochées au nord du maximum qu'elles ne le sont au sud. En d'autres mots, le gradient magnétique est plus grand sur le versant nord de la crête qu'il ne l'est sur son versant sud. L'examen des courbes théoriques montre que cette disposition s'accorde le mieux, pour une direction de crête d'anomalies positives de N.-60°-W., non flanquée d'une nette bande d'anomalies négatives, avec la présence d'un corps aplati ou d'une couche inclinant moyennement vers le S.W. et d'une susceptibilité magnétique plus grande que celle des roches encaissantes.

Ceci vaut aussi pour les isogammes qui encadrent le maximum magnétique le long du ruisseau de Rôba, dont question plus haut : ici également, on peut conclure à une inclinaison vers le S.W. de la formation magnétique.

(*) La connaissance encore rudimentaire de l'image magnétique de cette région ne permet pas de pousser très loin les interprétations. Il y a toutefois déjà lieu de signaler le parallélisme qui apparaît entre la direction de la petite crête accessoire et celle du cours général de l'Amblève, entre le pont de Ligneuville et le confluent de cette rivière avec le ruisseau de Recht ; ce bief est orienté presque à angle droit par rapport au bief aval.

(**) Une analyse minéralogique de ces phyllades, effectuée par G. Panou, a révélé une teneur pondérale d'environ 0,3 % de magnétite.

(*) En fait, ces phyllades à magnétite ont été trouvés dans les débris provenant du creusement des bassins de la pisciculture Gabriëls, établie en cet endroit.

Par contre, on observe une inclinaison nettement inverse au maximum, situé près du ruisseau de Recht, en plein dans le Revinien, comme il a déjà été signalé ; le gradient magnétique est ici carrément inversé : il est élevé au sud du maximum qu'il ne l'est au nord, ce qui conduit à la conception d'une inclinaison *vers le nord*, de moins de 70° , de la formation qui est responsable des anomalies. Il est malaisé d'expliquer le sens nord de l'inclinaison qui ne se présente qu'en cet endroit, d'autant plus malaisé que le Devillien y est caché sous le Revinien. Faut-il voir une relation entre cette inclinaison insolite et l'existence à proximité, près du village de Pont, d'un compartiment devillien qui semble nettement « tourné » par rapport au Devillien qui le borde au sud, comme l'indique la direction de la petite crête accessoire, mentionnée précédemment ? Faut-il y voir l'influence de la faille de Pont, située à peu de distance à l'ouest ? Le levé magnétique de la région de Ligneuville, rives droite et gauche de l'Amblève, qui reste à faire, pourra peut-être fournir des données supplémentaires pour expliquer ce pendage nord local mais, dans l'état actuel des recherches, j'estime qu'une réserve prudente s'impose.

Revenons-en à la région plus à l'ouest, près du cours inférieur du ruisseau du Noir Ru, qui s'infléchit vers l'est en une large boucle avant de se jeter dans l'Amblève. Cette boucle est remarquablement suivie par la crête magnétique, qui abandonne ici son allure générale N.- 60° -W. pour s'incurver et se présenter avec une direction N.- 60° -E.

La crête entre ici dans le Revinien et n'en sortira plus : toutes les anomalies magnétiques à l'ouest du Noir Ru s'observent dans des régions où c'est indubitablement cette formation qui affleure. Le Devillien à magnétite, en profondeur, influence encore le magnétomètre, mais l'épaisseur du Revinien surjacent vient abaisser les maxima magnétiques qui jalonnent le parcours de la crête : la figure 2 ne montre plus de zones en marron intense (43.500γ et plus), comme c'était le cas plus à l'est. En même temps s'élargissent les intervalles entre isogammes. L'image magnétique apparaît comme « estompée » par rapport à celle visible plus à l'est.

Le point le plus occidental où l'on observe « 43.500γ et plus » se situe à 600 mètres à l'ouest du confluent Noir Ru-Amblève. Une fois de plus, le maximum correspond à un affleurement de phyllades devilliennes à magnétite, à environ 150 mètres au nord du contact Devillien-Revinien. Cette zone de maximum, d'une extension très réduite, se présente comme nettement décalée vers le nord par rapport à l'alignement des maxima « principaux », plus au sud, qui sont entourés à peu près symétriquement par des isogammes 43.400γ mais qui, à travers la cou-

verture revinienne, n'atteignent plus que 43.425γ , alors qu'ils plafonnaient à « 43.500γ et plus » dans les régions plus à l'est.

Il y a environ 5 ans, l'installation d'une ligne téléphonique souterraine, en travers de la vallée du Noir Ru, a fourni une tranchée qui, par un heureux hasard, a recoupé les phyllades magnétitifères qui sont responsables de ce maximum magnétique, d'étendue restreinte, un peu au nord du contact. Dans le fond de la tranchée, ces phyllades ont été vus en place ; tous les blocs excavés influençaient fortement le magnétomètre, malgré leur état d'altération qui n'a pas permis de relever leur allure avec certitude. Par contre, au nord de ces phyllades magnétitifères, la tranchée a traversé des phyllades devilliennes sans magnétite mais avec intercalations de plusieurs bancs de quartzite, sur lesquels j'ai mesuré N.- 65° -W. / dressant, en bon accord avec la direction des isogammes en cet endroit. Enfin, au sud des phyllades magnétitifères, à environ 75 mètres au nord d'une passerelle sur le Noir Ru, la tranchée a recoupé un deuxième niveau de phyllades devilliennes, également sans magnétite ; y était intercalé un gros banc de quartzite, d'environ un mètre d'épaisseur, qui a fourni : N.- 45° -E. / 70° -S. Cette dernière direction coïncide, à peu de choses près, avec la direction de la crête magnétique en cet endroit.

Les deux directions ci-dessus, c'est-à-dire N.- 65° -W. vers le nord et N.- 45° -E. vers le sud, ne laissent pas de doute quant à l'existence d'un pli dans le Devillien ; celui-ci se retrouve exactement dans la courbe que dessine la crête magnétique.

L'existence de ce pli étant démontrée, on remarquera que le décalage vers le nord du petit maximum magnétique, par rapport aux maxima « principaux » de la crête, vient se situer près de la charnière de ce pli. Cette disposition incite à expliquer ce décalage comme dû à un déboîtement, vers le nord, d'une écaille de roches devilliennes magnétitifères.

De ce qui précède, on peut déjà conclure :

- 1°) Que les quatre affleurements de phyllades devilliennes à magnétite, qui ont été décrits sur le bord sud du massif de Falize-Ligneuville, sont reliés entre eux par des crêtes magnétiques : trois de ces affleurements se placent sur la crête magnétique principale ; le quatrième (celui du village de Pont) se situe sur une crête accessoire se détachant en digitation de la crête principale. Ce sont donc bien les phyllades à magnétite qui sont responsables des anomalies magnétiques. Par extension, on peut raisonnablement aussi les rendre responsables du maximum près du ruisseau de Recht, où ces roches viennent influencer le magnétomètre à travers leur recouvrement non magnétique.

2°) Que les directions des formations devilliennes concordent remarquablement avec la direction des isanomaes. En plus, à l'endroit où une carrière permet exceptionnellement de relever en détail l'allure d'un niveau de quartzites, on trouve, inclinant vers le S.W., à la fois les strates de cette formation (par observation directe) et celles de la formation des phyllades à magnétite, à proximité (par observation directe et par interprétation de la disposition des isogammes) (*). On peut donc conclure à une distribution de la magnétite suivant les strates du Devillien et raisonner sur un horizon à magnétite.

Cet horizon s'étend, à partir du ruisseau de Rôba, vers l'ouest, d'abord dans le Devillien ; il plonge ensuite sous le Revinien pour reparaître dans la première formation, un peu à l'ouest du ruisseau de Recht ; il y est décroché par une zone faillée figurant déjà sur des levés géologiques plus anciens. Plus loin vers l'ouest, son parcours se suit dans le Devillien, avant de dessiner un pli et d'évoluer ensuite définitivement sous le Revinien (**).

(*) Le relevé de « profils d'interprétation » en cet endroit permettrait peut-être de contrôler le degré de l'inclinaison des phyllades à magnétite, tel que mesurable sur leur affleurement de la rive gauche de l'Amblève.

J'entends par « profil d'interprétation » la courbe des variations de Z en des points de mesure rapprochés, alignés suivant une droite orthogonale aux isanomaes d'une crête magnétique. Si l'on ne dispose pas (ou pas encore, ce qui est le cas ici) de tels profils, on comprendra qu'on peut cependant les obtenir approximativement en dressant une « coupe » à travers les isanomaes disponibles.

En procédant de cette manière, je signalerai que la courbe ainsi obtenue, comparée avec des profils théoriques, permet de retrouver l'ordre de grandeur de $i = 50^\circ\text{S.}$, mesuré par R. Anthoine sur l'affleurement des phyllades à magnétite de la rive gauche, en concordance parfaite avec l'inclinaison visible sur la rive droite.

(**) Le niveau des quartzites de la carrière (« quartzites de Planche » sensu R. Anthoine) court bien entendu parallèlement au niveau adjacent des phyllades, dans lequel est intercalé l'horizon à magnétite. Le parcours de l'ensemble de ces deux niveaux, quartzites plus durs et phyllades plus tendres, permet d'expliquer certains aspects de la morphologie et du réseau hydrographique (fig. 1).

Ainsi, la crête topographique incurvée, au sommet de laquelle se situe la route de Beaumont à Planche, épouse la forme du pli que le niveau des quartzites dessine à cet endroit.

L'Amblève, en aval de son confluent avec le ruisseau de Recht, et le Noir Ru, près de son embouchure, ont installé leur cours dans les phyllades tendres, au sud du niveau des quartzites. Il est probable que l'Amblève se soit forcé naguère un passage à travers la bande des quartzites, en la traversant à angle droit, avec creusement d'une cluse dont on retrouve les vestiges dans l'abrupt qui marque le versant oriental de sa vallée, immédiatement au sud du hameau de Lasninvillie. Du coup se trouverait expliqué le grand méandre à concavité vers le sud, que la rivière dessine en aval.

Tout se passe donc comme si la limite Revinien-Devillien ne suivait pas un même niveau du Devillien ; elle avance ou recule par rapport à l'échelle stratigraphique de ce dernier. Le Revinien apparaît donc bien comme discordant sur le Devillien, conformément aux conclusions de R. Anthoine et de F. Geukens, et en accord avec les idées de G. Dewalque.

On comprendra que, devant ces résultats, je fus particulièrement anxieux de découvrir un ou plusieurs autres niveaux magnétiques dans le Devillien, comme J.M. Graulich et J.L. Koenigsfeld en ont fait intervenir dans leur interprétation géomagnétique du massif de Grand-Halleux, contrairement à la conception de P. Duhoux qui avait antérieurement (1938) interprété ses profils magnétiques, dans le même massif, en fonction de l'existence d'un niveau unique.

Dans le but de détecter ces éventuels autres niveaux magnétiques, qui auraient pu fournir des renseignements sur la tectonique devillienne, dans les régions au nord de la bordure méridionale du massif de Falize-Ligneuville, j'ai placé, au nord de l'Amblève, plusieurs alignements nord-sud de stations de mesure, comme indiqué sur la fig. 1. Le plus étendu de ces alignements suit le cours de la Warche, depuis son confluent avec l'Amblève jusque près de la bordure nord du massif.

Toutes ces stations ont été placées « en pure perte » : nulle part, le magnétomètre n'a montré des anomalies suffisamment conséquentes pour inciter à un levé plus étendu. S'il existe un deuxième niveau magnétique, il reste à être mis en évidence.

22. Région à l'ouest du Noir Ru

Commentons maintenant l'allure de la crête magnétique dans les régions à l'ouest du Noir Ru, où elle reste cantonnée entièrement dans le Revinien, comme déjà dit plus haut.

A environ 300 mètres à l'ouest de ce ruisseau, la crête reprend son allure générale N.-60°-W. et se suit distinctement jusqu'à une région, au S.S.W. du confluent Warche-Amblève, où on rencontre une zone magnétiquement très perturbée, avec plusieurs « creux » magnétiques. La densité des points de station a dû y être fortement augmentée, pour permettre un tracé correct des isogammes.

La figure 2 montre que cette zone perturbée sépare deux parties de la crête, toutes deux avec l'allure générale N.-60°-W., mais décalées l'une par rapport à l'autre, avec compartiment ouest rejeté vers le sud. Il passe probablement là une faille, de direction approximative N.-35°-E.

S'il est clair qu'elle agit sur le Devillien, on peut se demander si elle se continue dans le Revinien sur-jacent.

J'ai des raisons de croire qu'il en est ainsi. Suivant le tracé hypothétique de cette faille, il existe en effet, sur le versant oriental de la vallée du ruisseau du Laid Trou, une étroite bande de terrain à anomalies magnétiques très intenses mais ne s'étendant que dans un rectangle de 300×30 mètres, en une situation tout à fait isolée par rapport à la crête magnétique principale et de direction presque orthogonale à cette dernière.

La figure 2 indique l'emplacement de cette petite zone à anomalies magnétiques très particulières.

La figure 3 la montre à plus grande échelle, avec le quadrillage des points de station qui a permis de l'explorer en détail. Les isanomales ont été déterminées ici par rapport à un « niveau zéro » de 43.330γ , qui est celui qu'on mesure dans cette région, hors de la zone d'anomalies. Apparaît ainsi une bande à anomalies positives, flanquée vers le N.W. par une zone à anomalies négatives : c'est dire que le corps allongé qui produit l'anomalie incline vers le S.E.

Le maximum maximorum se situe près de l'extrémité méridionale de cette petite crête magnétique. En travers de celle-ci et à l'endroit de ce maximum maximorum, j'ai mesuré un profil d'interprétation de 65 m de longueur. La figure 4 reproduit ce profil qui est d'une régularité étonnante, sans points singuliers,

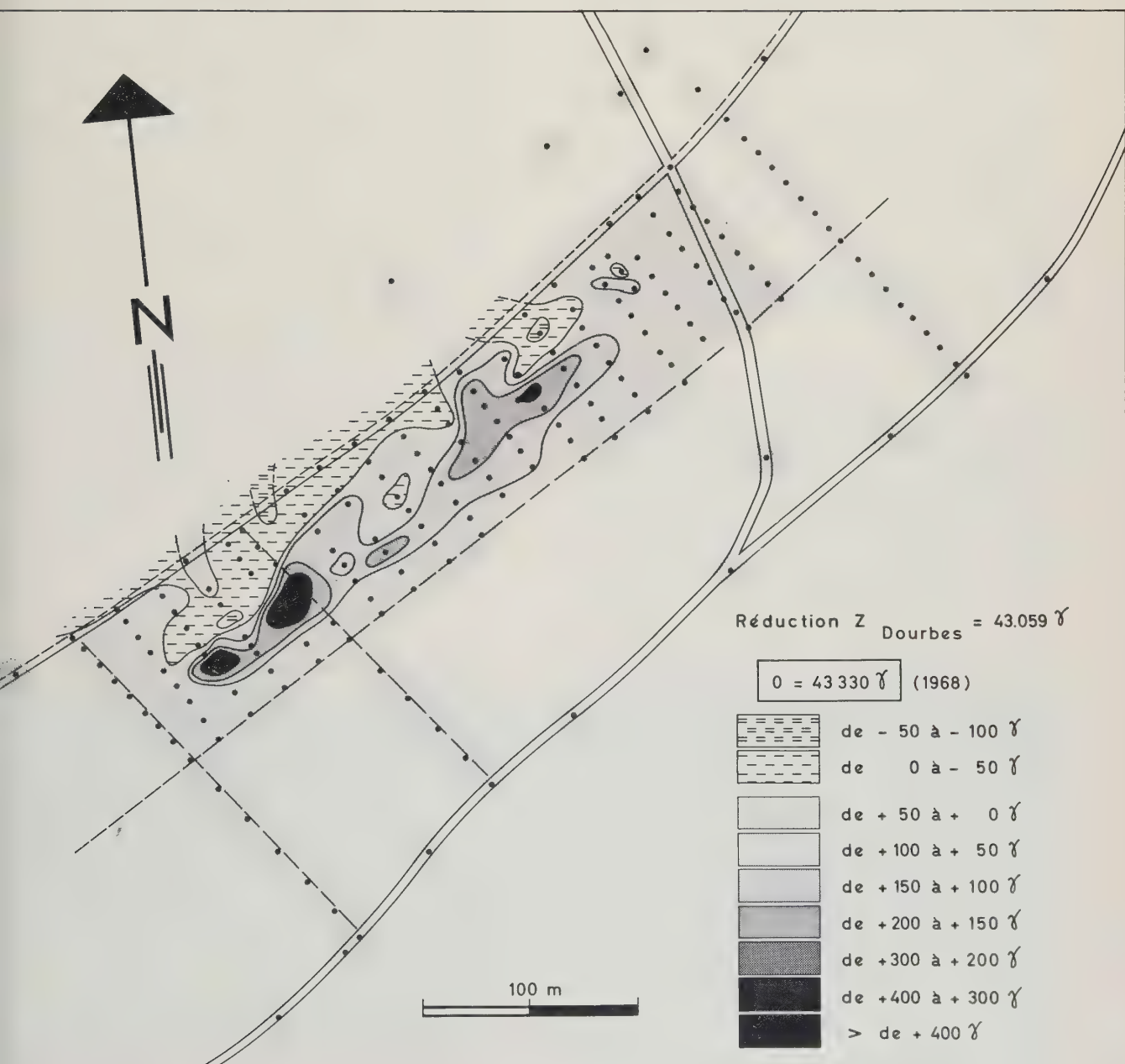


Fig. 3. — Carte détaillée des isogammes, en rapport avec l'anomalie magnétique locale, dans le Revinien du versant oriental de la vallée du ruisseau du Laid Trou.

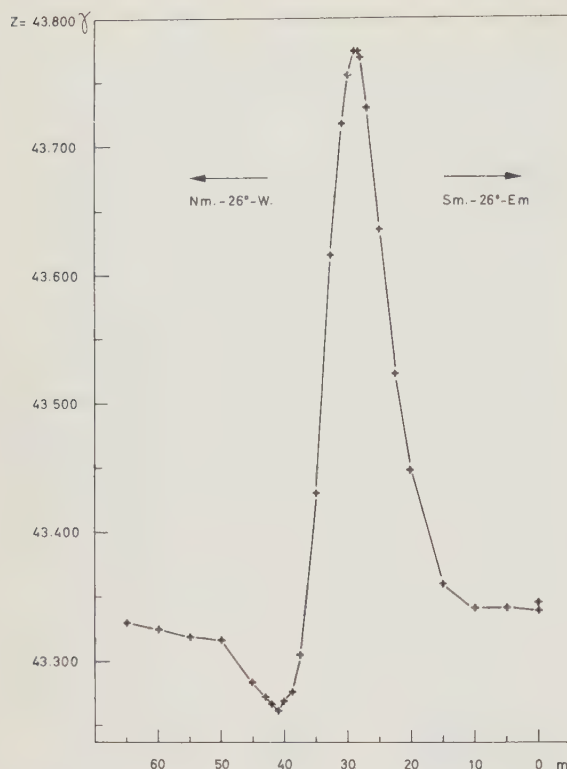


Fig. 4.

Profil d'interprétation mesuré dans la zone de la figure 3.

avec maximum et minimum extrêmement nets, ce qui est très rarement le cas dans la pratique courante. Une analyse de ce profil, par comparaison avec des courbes calculées et par le procédé graphique, pour le cas théorique d'une couche mince, conduit à une profondeur d'enfouissement de la tête de couche de seulement 4 m et à une inclinaison d'environ 60° vers le S.E.

Le Service Géologique de Belgique, qui a été tenu au courant, en son temps, des résultats ci-dessus, se propose de pratiquer une fouille pour déterminer la nature de la matière qui est responsable de cette perturbation magnétique. Les circonstances n'ayant jusqu'à présent pas permis d'effectuer ce travail, j'en suis donc réduit à des hypothèses sur la nature du corps qui produit l'anomalie, d'autant plus que des recherches systématiques ne m'ont pas permis de trouver un seul échantillon des roches de l'éluvium qui influence le magnétomètre en l'en approchant.

Ecartons d'emblée une cause artificielle (ancienne conduite enterrée, reliquats des combats de 1944-1945,...), qui est peu probable, vu les renseignements recueillis sur la région en question auprès des services publics et des propriétaires du terrain de surface.

Hors le fer météorique, on ne voit que la magnétite et la pyrrhotine, qui seraient aptes à produire de telles anomalies.

L'hypothèse la plus probable est qu'il s'agit d'une minéralisation en pyrrhotine d'une faille transversale comparable à celle décrite par M. Gulinck, E. Hoge et F. Geukens (1952) dans un sondage qui avait été placé près de Bras (massif cambrien de Serpontin) dans une zone d'intense anomalie magnétique, découverte peu de temps auparavant (1951) par J. Gaibar-Puertas et E. Hoge, au cours d'un levé géomagnétique du massif.

On ne sera fixé qu'après exécution des travaux envisagés par le Service Géologique.

Voyons finalement comment la crête magnétique principale se comporte à l'ouest du décrochement, ce qui est probablement à une faille transversale.

Les isanomaes γ conservent l'allure générale N 60°-W., mais les anomalies diminuent d'est en ouest jusqu'à ne plus être mesurables à environ 1,5 km à l'est de Stavelot. L'image magnétique de cette région a été complétée par le tracé de l'isogamme 43.350 γ pour bien montrer l'évolution de la crête magnétique. Bien entendu, le tracé, au mieux, de cette isogamme a nécessité l'emploi des magnétomètres les plus sensibles, avec raccordements particulièrement nombreux des mesures courantes avec celles à des stations de base.

Le dernier maximum de « 43.400 γ et plus » s'observe sur le versant oriental de la vallée du ruisseau du Laid Trou. L'horizon des phyllades à magnétite passe là, en profondeur, à environ 800 mètres au sud du contact Revinien-Devillien qui est visible comme dit plus haut, dans la même vallée, avec toutes les apparences d'un contact normal concordant de la première formation sur la deuxième, toutes deux inclinant également au sud et de direction E.-W.

On remarquera que les isanomaes 43.380 γ et 43.360 γ sont, ici aussi, plus rapprochées l'une de l'autre au nord du maximum qu'elles ne le sont au sud, toutefois d'une manière moins nette que dans les cas signalés plus haut, par la présence d'une forte épaisseur de Revinien qui vient s'intercaler entre le magnétomètre et la formation magnétique.

En comparant un profil, dressé à partir des isanomaes disponibles, avec les courbes théoriques pour une couche magnétique enfouie, on arrive à une profondeur d'enfouissement de la tête de couche de l'ordre de 500 m et à une inclinaison au sud de l'ordre de 60°. La direction de la couche coïncide évidemment avec celle de la crête magnétique.

Situons ces données, bien entendu à l'échelle, en dessous de la coupe géologique détaillée de surface suivant le ravin du Laid Trou, qui est reproduite en figure 8 dans le mémoire de R. Anthoine. Cette coupe verticale montre que le Revinien affleure très largement, inclinant partout au sud d'environ 60°, depuis son contact avec le Devillien, jusqu'à 750 mètres

us au sud, c'est-à-dire jusque pratiquement à aplomb de la tête de l'horizon magnétique devillien, ± 500 m de profondeur et inclinant au sud de 60° .

La combinaison de tous ces éléments disponibles prouve l'impossibilité d'un emboîtement, en contact normal, du Revinien avec le Devillien.

L'interprétation la plus vraisemblable conduit à faire reposer le Revinien sur le Devillien par l'intermédiaire d'une fracture, donc en disposition similaire à celle déterminée par les levés géologiques les plus récents, dans les régions plus à l'est.

Il est particulièrement intéressant de comparer la coupe du ruisseau du Laid Trou à celle du ruisseau de Rôba, toutes deux à travers un contact Revinien-devillien.

Il y a une dizaine d'années, quand je commençai les levés, les observations étaient fort claires dans la vallée de Rôba ; les phyllades à magnétite avaient été trouvés en débris aux environs du km 6,6 de la route de Ligneuville à St-Vith ; vers le sud, près du km 7,2, on voyait affleurer le Revinien avec $d = N.-70^\circ-W.$; $i = 55^\circ-S.$

Après avoir levé, entre les ruisseaux de Rôba et de Laid Trou, le parcours du niveau à magnétite, également avec direction $N.-70^\circ-W.$ et inclinaison au sud, je fus frappé par les allures identiques du Revinien et du Devillien, près de leur contact. Les apparences conduisaient donc ici, comme dans la vallée du ruisseau du Laid Trou, à conclure à un contact normal, avec le Revinien reposant sur le Devillien, mais ceci contrairement aux tracés de R. Anthoine et de F. Geukens qui avaient conclu à un contact par faille (de charriage), par l'observation de la géométrie des formations à proximité, que seule une parfaite connaissance du terrain par ces géologues avait permis d'interpréter en ce sens.

Les choses auraient pu en rester là si, en 1969, à l'occasion de travaux de rectification de la route, son talus oriental n'avait pas été entamé, mettant à nu une coupe continue spectaculaire, entre les km 6,6 et 7,0.

La photographie de la figure 5 montre la partie septentrionale de cette coupe.

A l'extrémité droite de la photographie, donc vers le sud, on distingue le Revinien, formé surtout de schistes très foncés, avec rares intercalations de quartzite, inclinant au sud et ayant gardé approximativement son allure du km 7,2. La formation vient buter contre une fracture, inclinant de 70 à 80° vers le sud, à remplissage ferrugineux, partiellement scoriacé, ayant l'aspect d'un chapeau de fer, ce qui fait penser que cette fracture est minéralisée (*). Au nord de la fracture s'étale un fond de synclinal revinien, déjeté vers le nord, composé d'une alternance de phyllades et de quartzites, de teinte beaucoup plus claire que celle du Revinien plus au sud. Son flanc nord est coupé par une deuxième fracture (peu visible sur la photographie). Suit une zone très dérangée et broyée, appartenant encore au Revinien (visible sur la photographie par deux bandes subverticales de teinte légèrement plus foncée). On en arrive à l'extrémité septentrionale de la coupe (partie gauche de la fig. 5), où l. de Magnée, lors d'une excursion géologique

(*) S'il en est ainsi, on ne peut manquer de comparer ce fait à la minéralisation en blende et galène, qui a été signalée par J. M. Graulich, en 1967, près d'une zone de 3,65 m de puissance, avec « ... *roche glissée et broyée, localement transformée en argile* », zone située au contact du Revinien avec le Devillien, dans un sondage dans la vallée des Trois-Fontaines (Bois Mont) Grand-Halleux. Dans ce sondage, les deux formations se montrèrent, de part et d'autre du contact, comme d'allure similaire, en direction et en inclinaison.



fig. 5. — Talus oriental de la route de Ligneuville à Kaiserbaracke et St-Vith, le long du ruisseau de Rôba. (La balise routière blanche, à l'extrémité gauche de la photographie, est située au km 6,670 de la route).

avec ses étudiants, a trouvé les phyllades à magnétite du Devillien, en place mais en allure indéterminable. On sait cependant, par l'allure de la crête magnétique correspondante, que leur direction est de N.-70°-W. et qu'ils inclinent au sud.

Je crois bien qu'il y aura accord pour assigner à ce fond de synclinal le rôle d'un lambeau de poussée, délimité par fractures et en position isolée entre Revinien et Devillien. Le contact par faille de charriage ne peut donc plus faire de doute.

3. COMPARAISON DE LA CARTE DES ISOGAMMES AVEC LA CARTE AEROMAGNETIQUE DE LA BELGIQUE

La disposition générale des isogammes dans la région étudiée, telle qu'elle apparaît sur la figure 2, mérite d'être confrontée avec celle qui figure sur la carte aéromagnétique de la Belgique, à l'échelle du 1/300.000e.

Rappelons que cette carte donne les variations du champ magnétique *total* et non pas celles de sa composante verticale, comme c'est le cas pour la carte magnétique restreinte de la figure 2. Toutefois, vu la forte inclinaison (environ 66°) du vecteur champ total, celui-ci varie approximativement comme sa composante verticale. Une comparaison entre les deux images magnétiques est donc permise.

La crête magnétique principale de la figure 2 se retrouve très distinctement sur la carte aéromagnétique ; elle s'étale au S.W. et parallèlement à une bande d'intensité magnétique plus faible qui correspond, dans les grandes lignes, à l'extension du massif de Falize-Ligneuville, ce qui laisse peu d'espoir de trouver des zones d'anomalie positive en plein massif devillien.

Il y a cependant lieu d'insister sur le fait que la concordance entre les deux cartes n'existe que pour les allures « en grand » (*). On ne retrouve sur la crête positive de la carte aéromagnétique aucune des allures de détail (inflexions, plis, décrochements, digitations), qui sont visibles sur la crête de la figure 2.

Comme ce sont surtout ces allures de détail qui aident à débrouiller la tectonique, on voit bien les avantages inhérents à un levé magnétique basé sur des mesures à la surface du sol, du moins en des régions avec faible couverture non magnétique.

(*) La même constatation peut se faire, en comparant à la carte aéromagnétique les cartes magnétiques, résultant de levés à la surface du sol, qui ont été publiées sur les régions de Court-St-Etienne et de Grand-Halleux.

BIBLIOGRAPHIE

- ANCION, Ch. — 1933. Stratigraphie du Revinien dans la partie centrale du massif de Stavelot. *Ann. Soc. Géol. de Belg.*, t. 62, pp. B 332-344.
- ANTHOINE, R. — 1940. Contribution à l'étude du massif cambrien de Rocroi. *Mém. Acad. Roy. de Belg. Cl. des Sciences*, 12, fasc. 4.
- ANTHOINE, R. — 1940. La Fenêtre de Falize-Ligneuville. *Soc. Géol. de Belg.*, t. 63, pp. M 3-43.
- de MAGNEE, I. et RAYNAUD, J. — 1944. Etude magnétique et tectonique du Cambrien du Brabant à l'Est de Court-St-Etienne. *Ann. Soc. Géol. de Belg.*, t. 67, pp. M 495-546.
- DEWALQUE, G. — 1874. Sur l'allure des couches du tertiaire cambrien de l'Ardenne, et en particulier sur la disposition du massif devillien de Grand-Halleux et sur celle de l'hyalophylite de Mairu, près Deville (départ. des Ardennes). *Ann. Soc. Géol. de Belg.*, t. 1, pp. M 63-70.
- DEWALQUE, G. — 1901. Planchette No. 160 « Stavelot-Francheville » au 1/40.000e de la Carte géologique de la Belgique.
- DEWALQUE, G. — 1903. Carte géologique de la Belgique et des provinces voisines. 2e édition.
- DEWALQUE, G. — 1905. Essai de carte tectonique de la Belgique et des provinces voisines. *Ann. Soc. Géol. de Belg.*, t. 32, pp. 57, 72 - M 121-122, pl. IV.
- DUHOUX, P. — 1938. Etude géomagnétique du Massif du Hainaut. *Ann. Soc. Géol. de Belg.*, t. 42, pp. M 107-151.
- DUMONT, A.H. — 1847-1848. Mémoire sur les terrains ardennois et rhénans de l'Ardenne, du Rhin, du Brabant et du Condroz. *Mém. Acad. Roy. de Belg.*, t. XX, 1847, t. XXI, 1848.
- GAIBAR-PUERTAS, C. et HOGE, E. — 1951. Description et interprétation provisoire de quelques observations géomagnétiques et géologiques effectuées sur le massif de Serpont. *Soc. Belg. de Géol.*, t. 40, pp. 374-397.
- GEUKENS, F. — 1952. Contribution à l'étude de la partie nord-ouest du massif cambrien de Stavelot. *Mém. Inst. Géol. de l'Univ. Louvain*, t. 16, pp. 77-170.
- GEUKENS, F. — 1961. De geologische structuur rond het Eifelium-massief van Falize-Ligneuville. *Meded. Kon. VI. Akad. Wetensch., Lett. en Sch. Kunsten van België, Kl. Wetensch.*, jaarg. XXIII, nr. 3, blz. 3-16.
- GRAULICH, J.M. et KOENIGSFELD, J.L. — 1962. Etude géomagnétique de la partie méridionale du massif devillien de Grand-Halleux (massif de Stavelot). *Mém. Serv. Géol. de Belg.*, n° 3, pp. 1-72, pl. I-III.
- GRAULICH, J.M. — 1967. Deux sondages dans la vallée de Trois-Fontaines (Bois Monti) Grand-Halleux. *Serv. Géol. de Belg., Prof. Paper*, n° 6, pp. 1-12.
- GREBE, H. — 1899-1900. Mitteilungen der Mitarbeiter der Königlich geologischen Landesanstalt über Ergebnisse der Aufnahmen im Jahre 1898-1899. *Jahrb. Kön. Preuss. geol. Landes und Bergakademie (Berlin)*, Bd. XIX, ss. XCIX (1899) ; Bd. XX, ss. XLII-L (1900).
- GULINCK, M., HOGE, E. et GEUKENS, F. — 1952. Résultats préliminaires des sondages de Bras (massif de Serpont). *Soc. Belg. de Géol.*, t. 41, pp. 236-244.
- RENARD, E. — 1927. Le massif devillien de Falize-Ligneuville. *Ann. Soc. Géol. de Belg.*, t. 50, pp. B 111-116.
- SERVICE GEOLOGIQUE DE BELGIQUE. — 1964. Carte aéromagnétique de la Belgique, à l'échelle du 1/300.000e.

perspectives économiques la gazéification souterraine us haute pression

Economische vooruitzichten van de ondergrondse vergassing onder hoge druk

RESUME

Un groupe de travail a été chargé d'évaluer le prix de revient de l'énergie électrique qui pourrait être obtenue dans une centrale à cycle combiné, alimentée par du gaz pauvre produit par gazéification souterraine, suivant le procédé proposé par l'INIEX.

Le prix de revient dépend essentiellement de la profondeur et du volume de charbon gazéifié, à partir de chaque sondage. Si ce volume atteint 7000 m³, le coût de la gigacalorie extraite à 1000 m de profondeur pourrait se situer entre 180 et 250 FB, ce qui reste en deçà du prix de revient des charbons belges.

Si le volume gazéifié atteint 10 à 12.000 m³ par sondage, un prix de revient de 65 centimes par kWh pourrait pouvoir être obtenu dans une centrale de 170 MW fonctionnant 7000 h par an, sur base d'une gazéification souterraine réalisée à 1000 m de profondeur et le même résultat pourrait être acquis à 1500 m de profondeur, si le volume de charbon gazéifié atteint 18.000 m³ par sondage.

1

SAMENVATTING

Er werd een werkgroep belast met de raming van de kostprijs van de elektrische energie die zou kunnen worden verkregen in een centrale met gecombineerde kringloop, gevoed met een arm gas dat geproduceerd wordt door ondergrondse vergassing, volgens het door het NIEB voorgestelde procédé.

De kostprijs is hoofdzakelijk afhankelijk van de diepte en van het volume vergaste steenkool vanuit elke boring. Indien dit volume 7.000 m³ bereikt zou de kostprijs van de op 1.000 m diepte gewonnen gigacalorie tussen 180 en 250 BF kunnen liggen, wat ver onder de kostprijs van de Belgische steenkool valt.

Indien het vergaste volume 10 tot 12.000 m³ per boring bedraagt zou een kostprijs van 65 centiemen per kWh moeten kunnen worden verkregen in een centrale van 170 MW, welke 7.000 h per jaar werkt op basis van een ondergrondse vergassing op 1.000 m diepte, en hetzelfde resultaat zou op 1.500 m diepte kunnen worden verkregen indien het volume vergaste steenkool 16 tot 18.000 m³ per boring bereikt.

ZUSAMMENFASSUNG

Eine Arbeitsgruppe wurde damit beauftragt, die Kosten der Stromenergie zu ermitteln, die in einem Kombinationskraftwerk erzeugt werden könnten, welches mit einem durch Untertagevergasung erzeugten Schwachgas nach dem vom INIEX vorgeschlagenen Verfahren versorgt würde.

SUMMARY

A working group has been entrusted with the task of estimating the cost of electricity generated in a combined-cycle power station fired with low BTU gas obtained by underground gasification using the INIEX process.

Bei der Festlegung der Selbstkosten kommt es vor allen Dingen auf die Tiefenlage bzw. auf das vergaste Kohlevolumen bei jeder Bohrung an. Sollte dieses Volumen 7.000 Kubikmeter betragen, so könnte der Selbstkostenpreis der bei 1.000 M Tiefe gewonnenen Gigakalorie zwischen 180 und 250 BF schwanken, und dies liegt weit unter dem Selbstkostenniveau der belgischen Kohlen.

Stellt sich das vergaste Volumen auf 10.000 bis 12.000 Kubikmeter pro Bohrung, so sollte ein Selbstkostenpreis von 65 Centimen pro kWh Stunde in einem Kraftwerk von 170 MW erzielt werden können, welches 7.000 Stunden jährlich in Betrieb ist, und zwar auf der Grundlage einer Untertagevergasung bei 1.000 M Tiefe, und dasselbe Ergebnis könnte bei 1.500 M Tiefe erzielt werden, sollte das Volumen der vergasten Kohle 16.000 bis 18.000 Kubikmeter pro Bohrung betragen.

The cost depends essentially on the depth at which the coal is situated, and on the quantity gasified from each borehole. If this volume is in excess of 7000 cu.m., the cost per gigacalorie extracted at 1000 metres depth could be between 180 and 250 BF which is very much lower than the cost of Belgian coals.

If the volume gasified is as much as 10 000 to 12 000 cu.m. per borehole, it should be possible to achieve a cost of 65 centimes per kWh in a 170 MW power station operating for 7000 hrs/year, on the basis of underground gasification at 1000 metres depth; the same result could be expected for coal at 1500 m depth, if the gasified volume from each borehole is 16 000 to 18 000 cu.m.

AVANT-PROPOS

Dans son rapport au Ministre, la Commission Technique « Gazéification souterraine sous haute pression », créée en date du 11 septembre 1974, à l'initiative de M. E. Knoops, Secrétaire d'Etat adjoint au Ministre des Affaires Economiques, a préconisé la réalisation de plusieurs études préliminaires et notamment d'une étude visant à vérifier la possibilité économique d'une valorisation, à l'échelle industrielle, de l'énergie extraite par le procédé de gazéification souterraine à haute pression, en vue de la production d'électricité.

La réalisation de cette étude a été confiée à un groupe de travail qui s'est réuni au siège social de « Laborelec » à Rhode-St-Genèse les 7 et 30 avril 1975, ainsi que les 20 janvier, 25 février, 23 mars et 25 juin 1976.

A ce groupe de travail, présidé par M. P. Ledent, Directeur de l'INIEC, ont participé :

Pour la Commission Technique « Gazéification souterraine » :

MM. J. Baudry (Charbonnages d'Hensies-Pommerœul)*
J. Brych (Faculté Polytechnique de Mons)
G. Darmont (Laborelec)
J. Fafchamps (Université de Liège)
P. Outer (CERW)

* Décédé le 20 juin 1975.

VOORWOORD

De Technische Commissie « Ondergrondse vergassing onder hoge druk », opgericht op 11 september 1974 op initiatief van de Heer E. Knoops, Staatssecretaris toegevoegd aan de Minister van Economische Zaken, heeft in haar verslag aan de Minister de uitvoering voorgestaan van meerdere voorafgaande studies, en onder meer de studie welke de economische mogelijkheid beoogt na te gaan van een valorisatie op industriële schaal van de door het ondergronds vergassingsproces onder hoge druk gewonnen energie, met het oog op de produktie van elektriciteit.

De uitvoering van deze studie werd toevertrouwd aan een werkgroep die vergaderde op de maatschappelijke zetel van « Laborelec » te Sint-Genesius-Rode, op 7 en 30 april 1975, evenals op 20 januari, 25 februari, 23 maart en 25 juni 1976.

Aan deze werkgroep, voorgezeten door de Heer P. Ledent, Directeur van het NIEB, namen deel :

Voor de Technische Commissie « Ondergrondse vergassing » :

De HH. J. Baudry (Charbonnages d'Hensies-Pommerœul)*
J. Brych (Faculté Polytechnique de Mons)
G. Darmont (Laborelec)
J. Fafchamps (Université de Liège)
P. Outer (CERW)

* Overleden op 20 juni 1975.

J. Patigny (Université Catholique de Louvain)
J. Ribesse (Distrigaz)
R. Stinglhamber (CRIF)

J. Patigny (Université Catholique de Louvain)
J. Ribesse (Distrigaz)
R. Stinglhamber (CRIF)

titre de consultants :

M. P. De Boeck (Traction et Electricité)
R. de Viron (Linalux)
Ch. Heine (Electrobel)

Als raadgevers :

De HH. P. De Boeck (Traction et Electricité)
R. de Viron (Linalux)
Ch. Heine (Electrobel)

titre d'observateurs :

M. R. Breton (Charbonnages de France)
J. Decherf (Charbonnages de France)
P. Dumoutet (Cerchar)
R. Monteyne (Secrétariat d'Etat Adjoint au
Ministère des Affaires Economiques)
D. Seelemann (Cerchar)

Als waarnemers :

De HH. R. Breton (Charbonnages de France)
J. Decherf (Charbonnages de France)
P. Dumoutet (Cerchar)
R. Monteyne (Staatssecretariaat toegevoegd aan het Ministerie van Economische Zaken)
D. Seelemann (Cerchar)

pour l'INIEX :

M. P. Browaey
V. Chandelle

Voor het NIEB :

De HH. P. Browaey
V. Chandelle

Les membres du groupe de travail sont conscients du caractère provisoire de ce travail basé sur un certain nombre d'hypothèses et de données numériques dont la valeur devra être réexaminée au fur et à mesure de la progression des études expérimentales.

Ils croient également nécessaire d'attirer l'attention du lecteur sur le fait que toute l'étude a été axée sur la valorisation du gaz par production d'électricité. Dans cette optique, il leur a paru commode d'inclure le coût global des compresseurs d'air et des installations d'épuration des gaz dans l'investissement consenti pour la réalisation de la centrale électrique, qui a été évalué par comparaison avec les valeurs admises pour une centrale à cycle combiné du genre de la centrale STEAG à Lünen dans laquelle le charbon trait est préalablement gazéifié dans des gazogènes haute pression.

Dans la même optique, l'énergie consommée pour assurer la circulation de l'air et du gaz dans le gazogène souterrain a été imputée comme consommation propre de la centrale, son rendement global étant de fait ramené à 36 %.

Ce mode de calcul n'affecte pas le résultat final de l'étude lorsqu'on l'exprime sous la forme du prix de revient du kWh, mais il entraîne une sous-estimation du prix de la « gigacalorie extraite », qui ne constitue qu'un élément de calcul transitoire dont se trouvent exclus le coût de l'énergie consommée pour assurer la circulation de l'air dans le gazogène souterrain et le coût de l'épuration du gaz préalable à son utilisation.

De leden van de werkgroep zijn zich bewust van het tijdelijke karakter van dit werk dat steunt op een zeker aantal hypothesen en cijfergegevens waarvan de waarde opnieuw zal moeten worden onderzocht naarmate de proefnemingsstudies vorderen.

Zij achten het tevens nodig de aandacht van de lezer te vestigen op het feit dat de ganse studie gericht was op de gasvalorisatie door produktie van elektriciteit. Uit dit oogpunt bleek het hen geschikt de globale kostprijs van de luchtcompressoren en de gaszuiveringsinstallaties op te nemen in de verleende investering voor de totstandbrenging van de elektrische centrale, welke geraamd werd bij vergelijking met de toegestane waarden voor een centrale met gecombineerde kringloop in de aard van de STEAG-centrale te Lünen waarin de gewonnen steenkool vooraf vergast wordt in hogedrukgasgenerators.

Uit hetzelfde oogpunt werd de verbruikte energie voor de lucht- en gascirculatie in de ondergrondse gasgenerator opgenomen als eigen verbruik van de centrale, waardoor het globale rendement bijgevolg op 36 % werd teruggebracht.

Deze rekenwijze heeft geen invloed op het eindresultaat van de studie wanneer het uitgedrukt wordt in de vorm van de kostprijs van het kWh, maar het brengt een onderschatting teweeg van de prijs van de « gewonnen gigacalorie », die slechts een overgangsberekeningselement is waarin de prijs aan verbruikte energie voor de luchtcirculatie in de ondergrondse gasgenerator en de prijs voor de gaszuivering vóór het gebruik ervan, niet ingerekend zijn.

Le présent document constitue le rapport final des travaux du groupe de travail.

Il est divisé en six chapitres :

1. Rappel des principales caractéristiques du procédé de gazéification souterraine proposé par l'INIEX
2. Hypothèses admises comme bases de calcul
3. Programme d'exploitation
4. Coût de l'énergie thermique
5. Prix de revient du kWh
6. Conclusions.

1. RAPPEL DES PRINCIPALES CARACTERISTIQUES DU PROCEDE DE GAZEIFICATION SOUTERRAINE PROPOSE PAR L'INIEX

Le procédé de gazéification souterraine, proposé par l'INIEX, est un procédé d'exploitation des gisements de houille situés à moyenne ou à grande profondeur, utilisant la filtration d'un courant gazeux entre des sondages réalisés à partir de la surface.

Il constitue une adaptation de la méthode qui s'est développée pour l'exploitation des gisements peu profonds en U.R.S.S. (exploitations d'Angren et de Youzno-Abinskaya) et aux U.S.A. (Hanna). Son originalité découle d'un certain nombre de caractéristiques que l'on peut résumer comme suit :

1. Développement de l'exploitation dans des zones vierges, à plus de 700 m de profondeur, afin que l'étanchéité du gazogène souterrain puisse être assurée et maintenue, grâce au comportement plastique des schistes houillers.
2. Réalisation de la gazéification par injection d'air, ou d'un mélange d'air et de vapeur, sous haute pression, les pressions maximales restant en deçà de la pression hydrostatique qui règne dans les terrains sus-jacents.
3. Réalisation simultanée d'une production continue de gaz et d'une fluctuation cyclique de la pression, dans le gazogène souterrain, cette variation de pression étant obtenue par variation du débit et de la pression de l'agent gazéifiant injecté.
4. Protection des sondages d'évacuation du gaz de gazéification par des dispositifs de refroidissement à circulation d'eau, les échanges thermiques étant réalisés au travers d'une paroi métallique, afin de produire de la vapeur d'eau à une pression et à une température convenant pour l'alimentation d'une turbine ou pour sa réinjection dans le gazogène souterrain.

Dit document vormt het eindverslag van de werkzaamheden van de werkgroep.

Het is onderverdeeld in 6 hoofdstukken :

1. Herhaling van de voornaamste kenmerken van het door het NIEB voorgestelde ondergronds vergassingsproces
2. Als rekenbasis aangenomen hypothesen
3. Ontginningsprogramma
4. Kostprijs van de thermische energie
5. Kostprijs van het kWh
6. Conclusies

1. HERHALING VAN DE VOORNAAMSTE KENMERKEN VAN HET DOOR HET NIEB VOORGESTELDE ONDERGRONDS VERGASSINGSPROCEDE

Het door het NIEB voorgestelde ondergronds vergassingsproces is een ontginningsproces voor steenkoolafzettingen op middelmatige of grote diepte, dat gebruik maakt van de filtratie van een gasstroom tussen de vanaf de bovengrond tot stand gebrachte boringen.

Het is een aanpassing van de methode die zich voor de ontginning van ondiepe afzettingen ontwikkelde in de U.S.S.R. (ontginningen van Angren en Youzno-Abinskaya) en in de U.S.A. (Hanna). Het originele karakter ervan vloeit voort uit een zeker aantal kenmerken die als volgt kunnen worden samengevat :

1. Ontwikkeling van de ontginning in onontgonnen zones op meer dan 700 m diepte, opdat de ondergrondse gasgenerator dicht kan zijn en zo worden gehouden dank zij het plastisch gedrag van de kolenhoudende leisteen.
2. Totstandbrenging van de vergassing door injectie van lucht of een mengsel van lucht en stoom onder hoge druk, waarbij de maximale drukkingen onder de hydrostatische druk blijven die in de bovenliggende gesteenten heerst.
3. Gelijktijdige uitvoering van een bestendige gasproductie en een cyclische drukschommeling in de ondergrondse gasgenerator, waarbij deze drukverandering verkregen wordt door verandering van het debiet en de druk van het geïnjecteerde vergassingsmiddel.
4. Beveiliging van de afvoerboringen voor het vergassingsgas door koelers met watercirculatie, waarbij de thermische uitwisseling gebeurt doorheen een metalen wand, om waterdamp te produceren bij een druk en een temperatuur die gepast zijn voor de voeding van een turbine of voor de nieuwe injectie ervan in de ondergrondse gasgenerator.

Réalisation simultanée de la gazéification des couches profondes et du captage du grisou qui se dégage dans la partie supérieure du gisement, par suite de la détente et de la fissuration des terrains, consécutives à la gazéification des couches profondes.

Association du gazogène souterrain avec une centrale électrique à cycle combiné : turbine à gaz + turbine à vapeur, qui utilise tout à la fois le gaz pauvre de gazéification souterraine, le gaz riche de captage (grisou) et la vapeur produite dans les circuits de refroidissement des sondages.

Synchronisation du cycle de fonctionnement du gazogène souterrain avec les fluctuations journalières de demande de courant dans le réseau électrique de distribution, de telle façon que l'énergie accumulée par la compression des gaz dans les cavités souterraines, durant les périodes de faible demande, puisse être restituée, sous forme d'énergie électrique, durant les périodes de pointe.

Ces différentes caractéristiques sont illustrées à la figure 1 qui schématise une coupe dans le gisement passant par deux sondages d'exploitation.

L'air sous pression, insufflé par le premier sondage, passe à travers la couche en cours d'exploitation. Il est repris à l'état de gaz pauvre par le sondage de captage du gaz, équipé d'un dispositif de refroidissement à recirculation d'eau.

La gazéification de la couche en cours d'exploitation entraîne une détente progressive du massif sus-jacent. Cette détente permet le dégagement du grisou contenu dans les veines et dans les veinettes surmontant la couche exploitée, et ce grisou est collecté par un troisième sondage foré jusqu'à la partie supérieure du gisement.

Le gazogène souterrain est associé à une centrale à cycle combiné : gaz + vapeur, qui utilise tout à la fois :

- le gaz pauvre, préalablement épuré, qui est brûlé sous pression dans une chambre de combustion alimentant la turbine à gaz ;
- le gaz riche qui est stocké ou injecté dans la chambre de combustion, pour alimenter une flamme pilote ou un brûleur de soutien destiné à pallier les variations du pouvoir calorifique du gaz pauvre ;
- la vapeur d'eau produite par le dispositif de refroidissement des sondages à gaz, qui contribue à l'alimentation de la turbine à vapeur.

Le compresseur à air, qui alimente le gazogène souterrain, est actionné par moteur électrique. Son débit nominal est sensiblement supérieur au débit requis pour assurer la production du gaz pauvre. Ses périodes de fonctionnement sont synchronisées avec

5. Gelijktijdige verwezenlijking van de vergassing van de diepe lagen en van de afzuiging van mijn-gas dat vrijkomt in het hogere afzettingsgedeelte, naar aanleiding van de ontspanning en de splijting van de gesteenten volgend op de vergassing van de diepe lagen.
6. Koppeling van de ondergrondse gasgenerator aan een elektrische centrale met gecombineerde kringloop : gasturbine + stoomturbine, welke tegelijkertijd het arm gas van de ondergrondse vergassing aanwendt, het rijk gas van de afzuiging (mijn-gas) en de in de koelwegen van de boringen geproduceerde stoom.
7. Synchronisatie van de werkingskringloop van de ondergrondse gasgenerator met de dagschommelingen van de stroomvraag in het elektrisch bedeelnet zodat de tijdens de perioden van lage vraag opgestapelde energie door de samendrukking van de gassen in de ondergrondse holten, in de vorm van elektrische energie kan worden vrijgemaakt tijdens de piekperiodes.

Deze verschillende kenmerken zijn geïllustreerd op figuur 1 die schematisch een doorsnede voorstelt in een afzetting door twee ontginningsboringen.

De door de eerste boring ingeblazen lucht onder druk filtreert doorheen de in ontginning zijnde laag. Ze wordt opgevangen als arm gas door de gasafzuigboring welke voorzien is van een koeler met watercirculatie.

De vergassing van de in ontginning zijnde laag veroorzaakt een geleidelijke ontspanning van het bovenliggende gesteente. Deze ontspanning maakt het mogelijk het mijn-gas vrij te maken dat in de lagen en de riffels boven de ontgonnen laag opgesloten zit. Dit mijn-gas wordt verzameld door een derde boring die tot aan het bovenste afzettingsgedeelte geboord is.

De ondergrondse gasgenerator is verbonden met een centrale met gecombineerde cyclus : gas + stoom, welke tegelijkertijd gebruik maakt van :

- het vooraf gezuiverde arm gas dat onder druk verbrand is in een verbrandingskamer welke de gasturbine voedt;
- het rijk gas dat opgeslagen of geïnjecteerd is in de verbrandingskamer om een proefvlam of een hulpbrander te voeden welke bestemd is om de veranderingen in de stookwaarde van het arm gas te beletten;
- de door de koeler van de gasboringen geproduceerde stoom welke bijdraagt tot de voeding van de stoomturbine.

De luchtcompressor welke de ondergrondse gasgenerator voedt is aangedreven door een elektrische motor. Het nominaal debiet ervan ligt gevoelig lager dan het debiet dat vereist is voor de produktie van arm gas. De werkingsperiodes zijn gesynchroniseerd

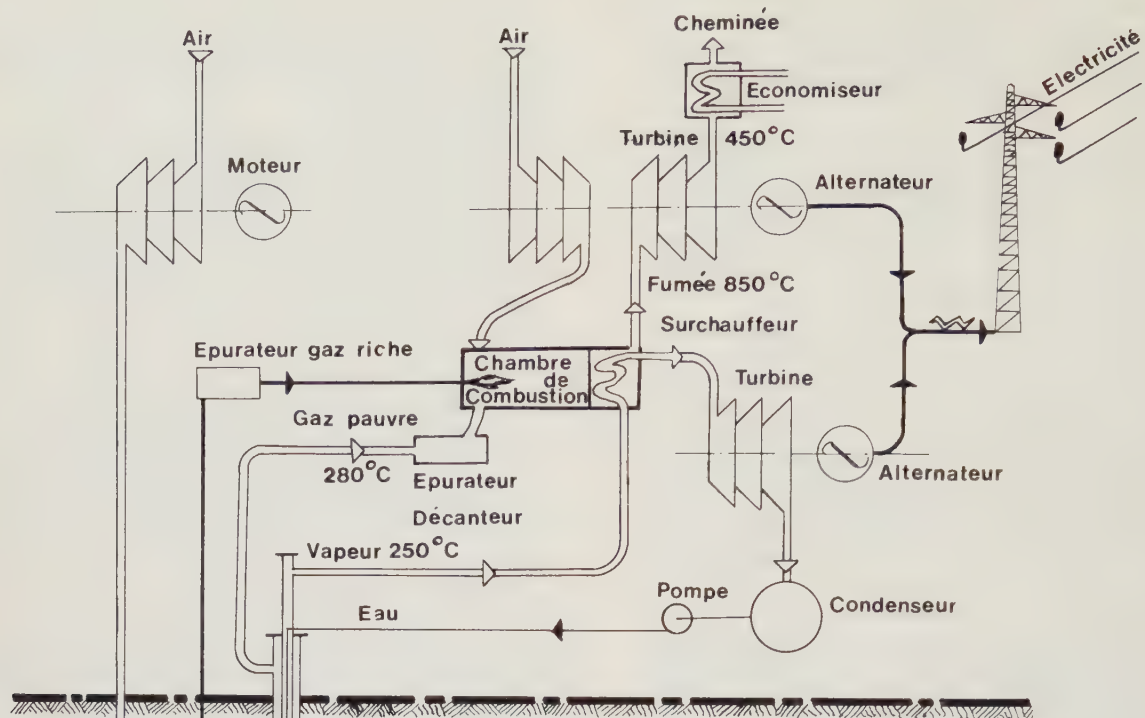


Fig. 1. — Schéma du procédé de gazéification sous haute pression (projet INIEB)
 Schema van het vergassingsprocédé onder hoge druk (NIEB-project)

Air — Lucht	Epurateur — Zuiveringstoestel
Cheminée — Schoorsteen	Gaz riche — Rijk gas
Economiseur — Economiser	Chambre de combustion — Verbrandingskamer
Moteur — Motor	Gaz pauvre — Arm gas
Turbine — Turbine	Décanteur — Decanteertoestel
Alternateur — Alternator	Vapeur 250°C — Damp 250°C
Electricité — Elektriciteit	Eau — Water
Fumée 850°C — Rook 850°C	Pompe — Pomp
Surchauffeur — Oververhitter	Condenseur — Condensor

Gazéification souterraine

des périodes de faible demande de courant et elles entraînent une montée progressive de la pression dans le gazogène souterrain.

Durant les heures de pointe de consommation d'électricité, l'électrocompresseur est arrêté et la production du gaz est réalisée par décompression progressive du gazogène, toute l'énergie électrique produite restant disponible pour l'alimentation du réseau.

2. HYPOTHESES DE TRAVAIL

2.1. Cadre de l'étude

L'étude est limitée à la valorisation des produits de la gazéification proprement dite et ne tient pas compte de l'incidence économique du captage du méthane, considéré comme activité distincte.

2.2. Caractéristiques du gaz de gazéification

Le pouvoir calorifique du gaz peut varier en fonction de l'indice de matières volatiles des couches exploitées et des conditions d'exploitation ; cette variation n'ayant qu'une faible influence sur le prix de revient du kWh, on a admis, en première approximation, que le gaz qui parvient à la centrale a un P.C.I. constant de 800 kcal/Nm^3 et une température de 30°C .

Au besoin, ce P.C.I. minimum sera maintenu en faisant appel à un combustible d'appoint.

2.3. Coefficient d'utilisation du gisement

Les données obtenues à Angren (U.R.S.S.) sur la base d'une exploitation de gazéification souterraine de lignite à une profondeur de l'ordre de 150 et 300 m, conduisent à la répartition suivante de l'énergie potentielle du gisement :

- Chaleur potentielle du gaz produit	45 %
- Pertes de gaz	10 à 15 %
- Chaleur sensible du gaz	5 %
- Pertes de chaleur (roches et vaporisation)	15 à 20 %
- Imbrûlés	20 %

met de périodes van lage vraag en zij veroorzaken een geleidelijke druktoename in de ondergrondse gas-generator.

Tijdens de piekuren in het elektriciteitsverbruik wordt de elektrocompressor stilgelegd en de gasproductie gebeurt door geleidelijke drukvermindering van de gasgenerator waarbij alle geproduceerde elektrische energie beschikbaar blijft voor de voeding van het net.

2. WERKHYPOTHESE

2.1. Studiekader

De studie is beperkt tot de valorisatie van de producten van de eigenlijke vergassing en houdt geen rekening met de economische weerslag van de mijn-gasafzuiging welke beschouwd wordt als een onderscheiden bedrijvigheid.

2.2. Kenmerken van het vergassingsgas

De stookwaarde van het gas kan veranderen volgens de index aan vluchtige bestanddelen van de ontgonnen afzettingen en volgens de ontginningssomstandigheden; daar deze verandering slechts weinig invloed uitoefent op de kostprijs van het kWh werd bij ruwe schatting aangenomen dat het gas dat de centrale bereikt een constante onderste stookwaarde heeft van 800 kcal/Nm^3 en een temperatuur van 180°C .

Indien nodig zal deze minimale onderste stookwaarde gehandhaafd worden door een beroep te doen op een aanvullingsbrandstof.

2.3. Benuttingscoëfficiënt van de afzetting

De in Agren (U.S.S.R.) verkregen gegevens op grond van een ontginning van ondergrondse vergassing van bruinkool op een diepte van zowat 150 en 300 m, leiden tot de volgende indeling van de potentiële energie van de afzetting :

— Potentiële warmte van het geproduceerde gas :	45 %
— Gasverliezen :	10 tot 15 %
— Gevoelige warmte van het gas :	5 %
— Warmteverliezen (gesteenten en verdamping) :	15 tot 20 %
— Onverbrande steenkool :	20 %

Les études thermodynamiques montrent que l'utilisation de hautes pressions de gazéification a pour effet d'augmenter la chaleur sensible du gaz produit et de réduire la perte de chaleur à travers les roches.

En tenant compte de ce facteur, de l'étanchéité des terrains à grande profondeur (suppression des pertes de gaz) et d'une certaine augmentation du pourcentage d'imbrûlés comme suite aux difficultés de contrôle de la gazéification à grande profondeur, les valeurs finalement admises comme bases de calcul sont détaillées au tableau I.

2.4. Refroidissement des sondages à gaz

Sur la base des études développées au Département de Thermodynamique de l'Université Catholique de Louvain (Professeur J. Patigny), il a été admis que le dispositif de refroidissement des sondages à gaz aurait la forme d'un doigt réfrigérant, constitué par deux tubes concentriques disposés comme indiqué à la figure 2.

Le tube intérieur d'un pouce de diamètre, qui sert à l'adduction de l'eau, est entouré d'une gaine isolante d'une épaisseur de 10 à 15 mm. L'eau et la vapeur produite remontent dans l'espace annulaire compris entre cette gaine et le tube-enveloppe, d'un diamètre extérieur de 140 mm.

2.5. Caractéristiques des sondages de gazéification

Le diamètre des sondages à gaz a été choisi de telle façon que le dispositif de refroidissement n'occupe pas plus de 50 % de la section droite, ceci conduit à un diamètre intérieur plus grand ou égal à $\sqrt{2} \times 140$ mm. En pratique, on a retenu un tubage normalisé de 8 5/8" (219,2 mm), avec une épaisseur de paroi de 10,2 mm, ce qui conduit à un diamètre intérieur de 198,8 mm.

L'exploitation par gazéification souterraine implique la réalisation d'un grand nombre de sondages répartis sur toute la surface à exploiter. L'expérience acquise en U.R.S.S. montre cependant qu'il n'est pas nécessaire que tous les sondages soient utilisés pour le captage du gaz.

Dans le cas d'une exploitation à grande profondeur, la spécialisation de la fonction des sondages entraîne une économie importante, les sondages utilisés uniquement pour l'injection de l'air pouvant être foncés à plus faible section.

De thermodynamische studies tonen aan dat de toepassing van hoge vergassingsdrukken de gevoelige warmte van het geproduceerde gas verhoogt en het warmteverlies doorheen de gesteenten beperkt.

Rekening houdend met deze factor, met de dichtheid van de gesteenten op grote diepte (aanschaffing van de gasverliezen) en met een zekere toename van het percentage onverbrande steenkool naar aanleiding van de beheersingsmoeilijkheden van de vergassing op grote diepte, zijn de uiteindelijk als rekenbases aangenomen waarden in detail opgenomen in tabel I.

2.4. Koeling van de gasboringen

Op grond van de in het Departement Thermodynamica van de Katholieke Universiteit van Leuven (Prof. J. Patigny) ontwikkelde studies werd aangenomen dat de koeler voor de gasboringen de vorm zou hebben van een koelvinger bestaande uit twee concentrische buizen welke opgesteld zijn zoals aangegeven op figuur 2.

De binnenste buis met een diameter van een duim welke dient voor de watertoevoer, is omringd met een 10 tot 15 mm dikke isolerende huls. Het water en de geproduceerde stoom stijgen in de ringvormige ruimte tussen deze huls en de omhulselbuis welke een buitendiameter van 140 mm heeft.

2.5. Kenmerken van de vergassingsboringen

De diameter van de gasboringen werd zo gekozen dat de koeler niet meer dan 50 % van de rechte doorsnede inneemt. Dit leidt tot een binnendiameter groter of gelijk aan $\sqrt{2} \times 140$ mm. In de praktijk werd een genormaliseerde verbuizing van 8 5/8" (219,2 mm), met een wanddikte van 10,2 mm in aanmerking genomen, wat leidt tot een binnendiameter van 198,8 mm.

De ontginning door ondergrondse vergassing impliceert de totstandbrenging van een groot aantal boringen verdeeld over de ganse te ontginnen oppervlakte. De in de U.S.S.R. verworven ervaring toont evenwel aan dat niet alle boringen noodzakelijk werwijs moeten worden gebruikt voor de gasafzuiging.

In het geval van een ontginning op grote diepte veroorzaakt de specialisatie van de boringenfunctie een belangrijke besparing, aangezien de uitsluitend voor de luchtinjectie gebruikte boringen een kleinere sectie mogen hebben.

Tableau I. — Répartition de l'énergie potentielle du gisement
Tabel I. — Indeling van de potentiële energie van de afzetting

Répartition de l'énergie sous ses différentes formes	en % du potentiel du gisement <i>in % van het afzettings-potentieel</i>	en kcal par Nm ³ de gaz <i>in kcal per Nm³ gas</i>	1. <i>Indeling van de energie in haar verschillende vormen</i>
— Chaleur potentielle du gaz produit	50	800	— <i>Potentiële warmte van het geproduceerde gas</i>
— Chaleur sensible du gaz au fond du sondage (700° C)	15	240	— <i>Gevoelige warmte van het gas onderaan in de boring (700°C)</i>
— Chaleur accumulée dans les roches	10	160	— <i>Opgestapelde warmte in de gesteenten</i>
— Imbrûlés « in situ »	25	400	— <i>Onverbrande steenkool « in situ »</i>
Totaal	100	1.600	<i>Totaal</i>

Répartition de la chaleur sensible du gaz	en % du potentiel du gisement <i>in % van het afzettings-potentieel</i>	en kcal par Nm ³ de gaz <i>in kcal per Nm³ gas</i>	2. <i>Indeling van de gevoelige warmte van het gas</i>
— Production de vapeur dans le dispositif de refroidissement du sondage	9	144	— <i>Stoomproductie in de boringkoeler</i>
— Chaleur sensible du gaz épuré (180°C)	4	64	— <i>Gevoelige warmte van het gezuiverde gas (180°C)</i>
— Pertes de chaleur ($\Delta t = 100^\circ\text{C}$) (transport et épuration)	2	32	— <i>Warmteverliezen ($\Delta t = 100^\circ\text{C}$) (vervoer en zuivering)</i>
Totaal	15	240	<i>Totaal</i>

Energie disponible à l'entrée de la centrale	en % du potentiel du gisement <i>in % van het afzettings-potentieel</i>	en kcal par Nm ³ de gaz <i>in kcal per Nm³ gas</i>	3. <i>Beschikbare energie bij de ingang van de centrale</i>
— Chaleur potentielle du gaz	50	800	— <i>Potentiële warmte van het gas</i>
— Chaleur sensible du gaz (180°C)	4	64	— <i>Gevoelige warmte van het gas (180°C)</i>
— Vapeur du dispositif de refroidissement	9	144	— <i>Stoom van de koeler</i>
Totaal	63	1.008	<i>Totaal</i>

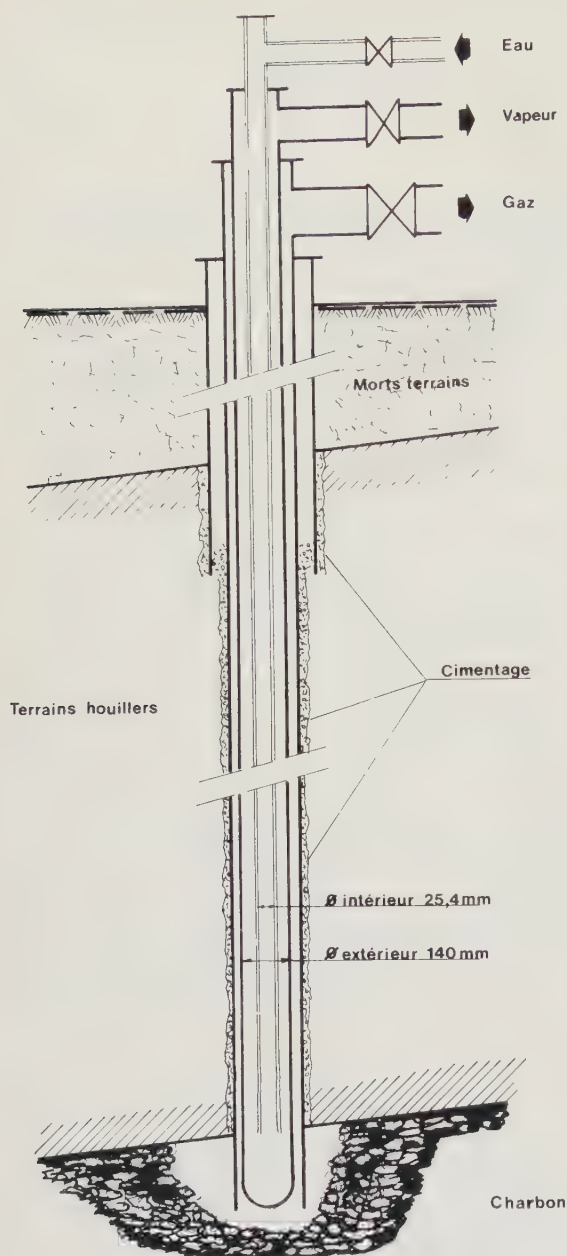


Fig. 2. — Dispositif de refroidissement des sondages
Boringenkoeler.

Eau — Water

Vapeur — Damp

Gaz — Gas

Morts terrains — Deklagen

Terrains houillers — Steenkoolgeberg

Cimentage — Cementering

Intérieur — Binnen

Extérieur — Buiten

Charbon — Steenkool

Deux variantes sont étudiées dans la suite du rapport :

Variante 1 : La moitié des trous sont forés au diamètre 8 5/8" pour permettre de capter le gaz produit. Les autres sondages utilisés uniquement pour l'injection de l'air sont foncés au diamètre de 5 1/2".

Variante 2 : Le tiers des trous sont forés au diamètre 8 5/8" pour permettre de capter le gaz produit. Les autres sondages utilisés uniquement pour l'injection de l'air sont foncés au diamètre 4 1/2".

In het rapport worden vervolgens twee varianten bestudeerd :

Variante 1 : De helft van de gaten zijn geboord met 8 5/8" diameter om het geproduceerde gas te kunnen afzuigen. De andere, uitsluitend voor de luchtinjectie gebruikte boringen zijn gedolven met 5 1/2" als diameter.

Variante 2 : Het derde van de gaten zijn geboord met 8 5/8" diameter om het geproduceerde gas te kunnen afzuigen. De andere, uitsluitend voor de luchtinjectie gebruikte boringen zijn gedolven met 4 1/2" diameter.

2.6. Débits et pressions de fonctionnement

Les calculs sont basés sur un débit moyen de 2.000 Nm³/h par sondage à gaz, ce débit étant obtenu par injection d'un débit d'air de l'ordre de 1.000 Nm³/h.

Fonctionnement en régime permanent

Avec les diamètres de sondage définis ci-dessus et compte tenu d'une température moyenne de l'ordre de 50°C dans les sondages à air et de 300°C dans les sondages à gaz, les pressions normales de fonctionnement peuvent être estimées comme indiqué au tableau II.

2.6. Werkingsdebieten en -drukken

De berekeningen zijn gebaseerd op een gemiddeld debiet van 12.000 Nm³/h per gasboring verkregen door injectie van een luchtdebiet van zowat 9.000 Nm³/h.

Werking in bestendig bedrijf

Met de hierboven bepaalde boringdiameters en rekening houdend met een gemiddelde temperatuur van zowat 50°C in de luchtboringen en 300°C in de gasboringen, kunnen de normale werkingsdrukken zo worden geraamd als aangegeven in tabel II.

Tableau II. — Répartition des pressions en régime d'écoulement permanent
Tabel II. — Indeling van de drukken in bestendig stroombedrijf

Profondeur des sondages	1.000 m	1.500 m	Diepte van de boringen
	<i>bars</i>	<i>bars</i>	
Sortie du compresseur	36,0	40,0	<i>Bij het verlaten van de compressor</i>
Arrivée au fond	32,5	36,5	<i>Bij aankomst in de ondergrond</i>
Sortie du gazogène souterrain	29,0	33,5	<i>Bij het verlaten van de ondergrondse gasgenerator</i>
Arrivée à la centrale	18,0	20,0	<i>Bij aankomst in de centrale</i>

Fonctionnement en régime variable

Si l'on fait varier de 20 bars la pression de l'air à la sortie du compresseur, tout en maintenant constant le débit de gaz prélevé sur le gazogène souterrain, on peut évoluer vers un régime cyclique de compression et de décompression dans les limites indiquées au tableau III.

Werking in variabel bedrijf

Indien men de luchtdruk met 20 bar verandert bij het verlaten van de compressor, terwijl het debiet van het in de ondergrondse gasgenerator opgevangen gas constant wordt gehouden, kan men evolueren naar een cyclisch samendrukkings- en drukverminderingsbedrijf binnen de grenzen aangegeven in tabel III.

Tableau III. — Répartition des pressions en régime variable
Tabel III. — Indeling van de drukken in variabel bedrijf

Profondeur des sondages	1.000 m	1.500 m	Diepte van de boringen
	<i>bars</i>	<i>bars</i>	
Sortie du compresseur	36,0—56,0	40,0—60,0	<i>Bij het verlaten van de compressor</i>
Arrivée au fond	32,5—52,5	36,5—56,5	<i>Bij aankomst in de ondergrond</i>
Sortie du gazogène souterrain	29,0—50,0	33,5—54,5	<i>Bij het verlaten van de ondergrondse gasgenerator</i>
Arrivée à la centrale	18,0—41,0	20,0—43,0	<i>Bij aankomst in de centrale</i>

Energie extraite

Compte tenu des hypothèses qui précèdent, le régime de 12.000 Nm³ de gaz par heure et par sondage correspond à une énergie extraite de :

$$12.000 \times 800 = 9.600.000 \text{ kcal/h de chaleur de combustion}$$
$$+ 12.000 \times 240 = 2.880.000 \text{ kcal/h de chaleur sensible,}$$

soit, au total : 12,48 Gcal/h par sondage de captage du gaz.

Gewonnen energie

Rekening houdend met de voorgaande hypothesen stemt het bedrijf van 12.000 Nm³ gas per uur en per boring overeen met een gewonnen energie van :

$$12.000 \times 800 = 9.600.000 \text{ kcal/h verbruikswarmte}$$
$$+ 12.000 \times 240 = 2.880.000 \text{ kcal/h gevoeligwarmte,}$$

of in totaal : 12,48 Gcal/h per gasafzuigboring.

2.7. Coût des sondages

Le coût des sondages a été estimé sur la base d’une étude réalisée par M. J. Brych, Chargé de Cours associé à la Faculté Polytechnique de Mons.

Pour des sondages avec tubage simple, les valeurs admises sont les suivantes (tableau IV).

2.7. Kostprijs van de boringen

De kostprijs van de boringen werd geraamd op grond van een door de Heer J. Brych, Lector aan de Faculté Polytechnique de Mons, uitgevoerde studie.

Voor de boringen met enkele verbuizing werden de volgende waarden aangenomen.

Tableau IV. — Coût des sondages avec tubage simple
Kostprijs van de boringen met enkele verbuizing

	Bassin Sud - Zuiderbekken			Campine - Kempen		
Diamètre Diameter	8 5/8"	5 1/2"	4 1/2"	8 5/8"	5 1/2"	4 1/2"
	(10 ⁶ FB)	(10 ⁶ FB)	(10 ⁶ FB)	(10 ⁶ FB)	(10 ⁶ FB)	(10 ⁶ FB)
Profondeur Diepte						
1.000 m	7,9	5,2	4,7	9,8	5,8	5,1
1.500 m	12,8	8,5	7,7	14,9	8,8	7,8

L’écart de coût entre la Campine et le Bassin Sud résulte de la différence d’épaisseur des morts-terrains qui exigent un forage initial à plus grand diamètre et un tubage supplémentaire pour isoler le gisement des nappes aquifères superficielles.

Het kostprijsverschil tussen de Kempen en het Zuiderbekken is het gevolg van het dikteverschil in de deklagen waarvoor een eerste boring met grotere diameter vereist is en een bijkomende verbuizing om de afzetting te isoleren van de oppervlakkige waterlagen.

2.8. Evaluation de l’énergie consommée pour assurer la circulation de l’air et du gaz dans le parcours souterrain

Cette évaluation doit tenir compte de deux données :

1. Le volume normal d’air utilisé pour la gazéification ne représente que 75 % du volume de gaz produit.

2.8. Raming van de verbruikte energie voor de lucht- en gascirculatie in de ondergrondse omloop

Deze raming moet rekening houden met twee gegevens :

1. Het normaal luchtvolume dat aangewend wordt voor de vergassing vormt slechts 75 % van het volume geproduceerd gas.

La pression à la sortie du compresseur d'air doit atteindre des valeurs 2 à 3 fois plus élevées que celles qui seraient nécessaires en l'absence de toutes pertes de charge dans le parcours souterrain.

Rapportée à 1 Nm³ de gaz de gazéification, l'équivalent calorifique de l'énergie consommée pour vaincre les pertes de charge dans le parcours souterrain peut s'exprimer par la relation :

$$E_n = 0,75 \cdot \frac{P_o V_o}{427} \cdot \frac{T_{AD}}{T_o} \cdot \frac{1}{\rho_{iso}} \cdot I_n \cdot \frac{P_2}{P_1} \quad (\text{kcal / Nm}^3 \text{ de gaz})$$

Pour un taux de compression $P_2/P_1 = 2,5$, une température d'admission de 20°C et un rendement thermique du compresseur de 85 %, il vient :

$$E_n = 0,75 \cdot \frac{10.332}{427} \cdot \frac{293}{273} \cdot \frac{1}{0,85} I_n \cdot 2,5 = 21 \text{ kcal / Nm}^3 \text{ de gaz,}$$

qui représente environ 2 % de l'énergie thermique disponible à l'entrée de la centrale.

2. De druk bij het verlaten van de luchtcompressor moet 2 tot 3 maal hogere waarden bereiken dan die welke nodig zouden zijn indien zich geen ladingsverliezen voordoen in de ondergrondse omloop.

Het warmte-equivalent van de verbruikte energie per Nm³ vergassingsgas om de ladingsverliezen in de ondergrondse omloop te overwinnen kan worden uitgedrukt door de verhouding :

Bij een samendrukkingsgraad $P_2/P_1 = 2,5$, een inlaattemperatuur van 20°C en een isothermisch rendement van de compressor van 85 % verkrijgt men :

wat ongeveer 2 % is van de thermische energie die aan de inlaat van de centrale beschikbaar is.

2.9. Caractéristiques de la centrale

La production d'électricité est supposée réalisée dans une centrale de 170 MW de puissance utile (183 MW de puissance installée).

Les calculs ont été menés pour deux taux d'utilisation :

- le taux de 7.000 h par an, qui est celui d'une centrale de base ;
- le taux de 4.500 h par an, qui est celui d'une centrale de moyenne utilisation.

Différentes raisons militent en faveur de la limitation de la puissance installée :

- Limitation du gisement à exploiter.
- Limitation de la surface occupée et de la longueur des conduites de transport d'eau, de gaz et de vapeur.
- Limitation des débits d'eau de refroidissement, ce qui permet une plus grande liberté dans le choix du site.
- Possibilité d'obtenir un rendement élevé à partir d'un cycle mixte : turbine à gaz + turbine à vapeur fonctionnant à ce niveau de puissance.
- Existence de turbines à gaz de construction standard dans la gamme de 80 MW.

Au stade actuel des études, le choix du cycle combiné paraît nécessaire pour obtenir un rendement satisfaisant malgré la perte thermodynamique qu'impli-

2.9. Kenmerken van de centrale

De elektriciteit wordt verondersteld te worden geproduceerd in een centrale met 170 MW nuttig vermogen (183 MW geïnstalleerd vermogen).

Er werden berekeningen gemaakt voor twee benuttingsgraden :

- de graad van 7.000 h per jaar voor een basiscentrale;
- de graad van 4.500 h per jaar voor een centrale met middelmatige benutting.

Verschillende redenen pleiten in het voordeel van de beperking van het geïnstalleerde vermogen :

- a) Beperking van de te ontginnen afzetting.
- b) Beperking van de ingenomen oppervlakte en van de lengte van de leidingen voor het vervoer van water, gas en stoom.
- c) Beperking van de koelwaterdebieten waardoor men vrijer is bij het kiezen van de winningsplaats.
- d) Mogelijkheid om een hoger rendement te verkrijgen uitgaande van een gemengde kringloop : gasturbine + stoomturbine die bij dit vermogen werkt.
- e) Bestaan van gasturbines van standaardformaat in het gamma van 80 MW.

In het huidige stadium van de studies blijkt het nodig te kiezen voor de gecombineerde kringloop om een voldoende rendement te verkrijgen on-

que l'utilisation d'une pression variable ; d'autre part, ce choix permet de valoriser aisément les calories récupérées sous forme de vapeur saturée dans le système de réfrigération des sondages.

Sans vouloir préjuger du schéma définitif de la centrale, il a paru nécessaire de baser l'étude économique sur un projet concret, représenté à la figure 3.

Ce schéma est similaire à celui de la centrale STEAG de Lünen ; sa caractéristique essentielle est la combinaison de la chambre de combustion de la turbine à gaz et de la chaudière à vapeur en une seule unité fonctionnant sous une pression d'air de l'ordre de 15 bars. L'épuration du gaz de gazéification pourrait également être réalisée par les méthodes de lavage utilisées à Lünen pour le traitement des gaz de gazogène. La vapeur collectée à la tête des sondages serait mélangée à celle sortant du vaporisateur, tandis qu'un économiseur-récupérateur, alimenté par l'échappement de la turbine à gaz, serait implanté à proximité de la chaudière.

Conformément aux installations à vapeur classiques, on a prévu des pompes d'extraction et d'alimentation, ainsi qu'un nombre limité de soutirages (dont un réchauffe, par mélange, l'eau de la bache alimentaire). Une pompe séparée est destinée à alimenter le circuit de réfrigération des sondages.

danks het thermodynamisch verlies te wijten aan het gebruik van een variabele druk; anderzijds maakt deze keuze het mogelijk de opgevangen calorische energie gemakkelijk te valoriseren in de vorm van verzadigde stoom in het koelsysteem voor de boringen.

Om het definitieve schema van de centrale niet voorbarig te willen beoordelen bleek het nodig de economische studie te baseren op een concreet project dat voorgesteld is op figuur 3.

Dit schema is hetzelfde als dat van de Steag-centrale in Lünen; het voornaamste kenmerk is de combinatie van de verbrandingskamer van de gasturbine met de stoomketel in één enkele eenheid die onder een luchtdruk van zowat 15 bar werkt. Het vergassingsgas kan eveneens worden gezuiverd door de in Lünen gebruikte wasmethoden voor de behandeling van de generatorgassen. De bovenaan in de boringen opgevangen stoom zal worden vermengd met die welke uit de verdamper komt, terwijl er in de nabijheid van de ketel een economiser-recuperator gevoed door de uitlaat van de gasturbine, zal worden opgesteld.

Conform de klassieke stoominstallaties werd voorzien in extractie- en voedingspompen, alsook in een beperkt aantal aftappingsen (waarvan een het water van de voedingstank verwarmt door menging). Een afzonderlijke pomp is bestemd om de koelomloop voor de boringen te voeden.

Fig. 3. — Schéma de centrale à cycle combiné TG-TV

Schema van centrale met gecombineerde kringlopen TG-TV (Gasturbine-Stoomturbine)

BED	Bâche eau déminéralisée
PA	Pompe alimentaire
BA	Bâche alimentaire
D	Inst. de déminéralisation
ME	Moteur électrique
GE	Générateur électrique
Cp	Compresseur
CC	Chambre de combustion
Sp	Surpresseur
Sa	Sondages alimentation air
Sg	Sondages extraction gaz
Ep	Epureur
TD	Turbine détente
TG	Turbine à gaz
RE	Récupérateur Economiseur
S	Surchauffeur
Ch	Chaudière
V	Vaporisateur
TV	Turbine à vapeur
R	Réchauffeur basse pression
C	Condenseur
PC	Pompe de circulation
PE	Pompe extraction
PS	Pompe sondages

Air — Lucht

Gaz — Gas

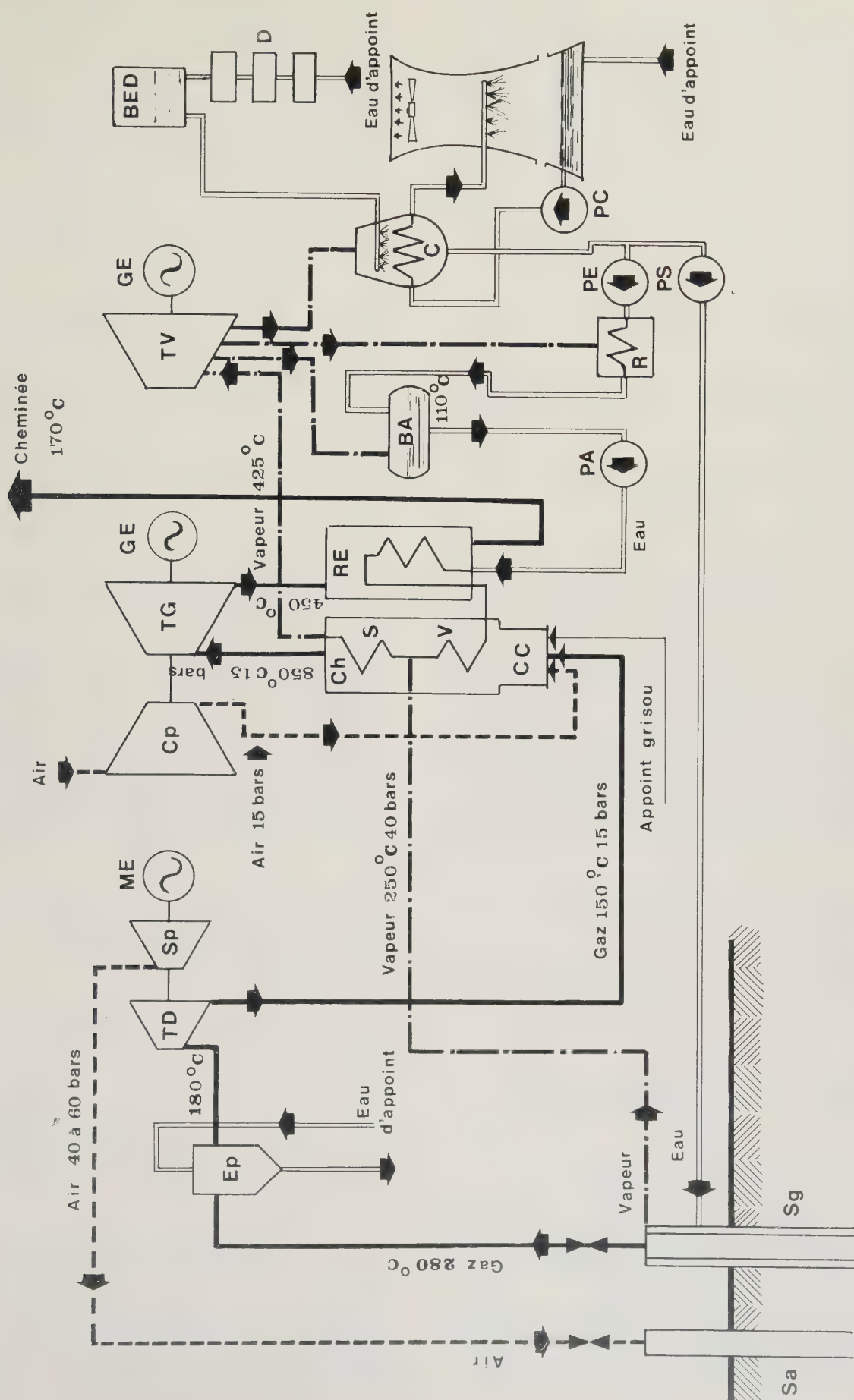
Eau d'appoint — Aanvullingswater

BED	Reservoir onthard water
PA	Voedingspomp
BA	Voedingsreservoir
D	Onthardingsinstallatie
ME	Elektrische motor
GE	Elektrische generator
Cp	Compressor
CC	Verbrandingskamer
Sp	Overdrukpomp
Sa	Luchtvoedingsboringen
Sg	Gasextractieboringen
Ep	Zuiveringstoestel
TD	Ontspanningsturbine
TG	Gasturbine
RE	Recuperator Economiser
S	Oververhitter
Ch	Ketel
V	Verdamper
TV	Stoomturbine
R	Lagedrukopwarmer
C	Condensor
PC	Circulatiepomp
PE	Extractiepomp
PS	Boringenpomp

Vapeur — Damp

Appoint grisou — Aanvulling mijngas

Cheminée — Schouw



Des calculs d'avant-projet indiquent comme ordre de grandeur, pour une puissance totale brute de 183 MW : 80 MW à la turbine à gaz, 103 MW à la turbine à vapeur et 160 Gcal/h au condenseur. Deux cellules aéroréfrigérantes à tirage forcé suffiraient à évacuer ces calories ; l'appoint d'eau rendrait nécessaire la proximité d'un canal ou d'un ruisseau à débit suffisant.

2.10. Prix, intérêts et amortissements

Tous les prix unitaires mentionnés dans l'étude ont été rapportés aux indices de prix du mois d'août 1975.

Sur cette base, la valeur des investissements de la centrale a été estimée à 11.000 FB par kW installé, y compris les frais indirects.

Les calculs d'amortissement ont été basés sur un taux d'intérêt de 9 % l'an et sur une durée d'utilisation de 20 ans, pour la centrale.

2.11. Rendement de conversion de la chaleur en électricité

Le rendement brut de la centrale à cycle combiné gaz-vapeur, a été estimé à 38 %.

Compte tenu de l'énergie consommée pour assurer la circulation de l'air et du gaz dans le parcours souterrain, le rendement net en électricité, fournie au réseau de distribution, est ramené à 36 % de la quantité d'énergie thermique disponible à l'entrée de la centrale.

En se basant sur les coefficients d'utilisation et de pertes admis au § 3, la quantité d'électricité livrée au réseau correspond à :

$$36 \times \frac{63}{65} = 34,9 \% \text{ de l'énergie extraite}$$

ou encore :

$$36 \times \frac{63}{100} = 22,7 \% \text{ du potentiel du gisement.}$$

2.12. Paramètres variables

Trois facteurs exercent une influence prépondérante sur le prix de revient du gaz produit. On a admis que ces facteurs étaient susceptibles de varier dans les limites suivantes :

Voorontwerpberekeningen geven voor een totaal brutovermogen van 183 MW als grootte-orde aan 80 MW in de gasturbine, 103 MW in de stoomturbine en 160 Gcal/h in de condensor. Twee lucht koelcellen met kunstmatige trek zouden volstaan om deze calorieën te verwijderen; voor de wateraanvulling zou de nabijheid van een kanaal of van een stroom met voldoende debiet vereist zijn.

2.10 Prijzen, interesten en afschrijvingen

Alle in de studie vermelde eenheidsprijzen werden uitgedrukt op basis van de prijsindex van de maand augustus 1975.

Op grond daarvan werd de waarde van de investeringen voor de centrale geraamd op 11.000 BF per geïnstalleerd kW, met inbegrip van de indirecte kosten.

De afschrijvingsberekeningen waren gebaseerd op een interestvoet van 9 % per jaar en op een benuttingduur van 20 jaar, voor de centrale.

2.11. Omzettingsrendement van warmte in elektriciteit

Het brutorendement van de centrale met gecombineerde gas-stoom cyclus werd op 38 % geraamd.

Rekening houdend met de verbruikte energie voor de lucht- en gascirculatie in de ondergrondse omloop is het netto-rendement aan elektriciteit, geleverd aan het bedelingsnet, teruggebracht op 36 % van de hoeveelheid thermische energie die beschikbaar is aan de ingang van de centrale.

Zich steunend op de in § 3 aangenomen benuttings- en verliescoëfficiënten stemt de hoeveelheid aan het net geleverde energie overeen met :

$$36 \times \frac{63}{65} = 34,9 \% \text{ van de gewonnen energie}$$

of nog :

$$36 \times \frac{63}{100} = 22,7 \% \text{ van het afzettingspotentieel}$$

2.12. Veranderlijke parameters

Drie factoren hebben doorslaggevende invloed op de kostprijs van het geproduceerde gas. Er werd aangenomen dat deze factoren konden veranderen binnen de volgende grenzen :

Profondeur des sondages de gazéification :
de 1.000 à 1.500 m
Surface de la zone gazéifiée par sondage :
de 1.000 à 10.000 m²
Puissance cumulée des couches exploitées à partir
des mêmes sondages :
de 2 à 8 m.

En ce qui concerne le volume de charbon gazéifié
par sondage, l'étude se limite à une gamme comprise
entre 5.000 et 30.000 m³.

- a) Diepte van de vergassingsboringen :
van 1.000 tot 1.500 m
- b) Oppervlakte van de per boring vergaste zone :
van 1.000 tot 10.000 m²
- c) Gecumuleerd vermogen van de lagen ontgonnen
vanaf dezelfde boringen :
van 2 tot 8 m.

Wat het volume vergaste steenkool per boring
betreft, is de studie begrensd tot een gamma tussen
5.000 en 30.000 m³.

3. PROGRAMME D'EXPLOITATION

3.1. Consommation annuelle
de la centrale

Pour l'évaluation du volume de houille à exploiter
pour la gazéification souterraine pour l'alimentation de la
centrale, on a admis que les laies de charbon qui
composent le gisement ont un poids spécifique
moyen de 1.400 kg par m³ et qu'elles sont consti-
tuées de 80 % de charbon pur d'un P.C.S. de 8.800
kcal/kg et de 20 % de matières minérales inertes, ce
qui conduit à un pouvoir calorifique supérieur moyen
de 7.040 kcal/kg.

Compte tenu de ces valeurs et des rendements
donnés au chapitre 2, l'énergie thermique et le vo-
lume de gisement consommés annuellement par la
centrale peuvent être évalués comme indiqué au ta-
bleau V.

3. ONTGINNINGSPROGRAMMA

3.1. Jaarlijks verbruik van de centrale

Voor de raming van het volume door ondergrondse
vergassing te ontginnen steenkool voor de voeding
van de centrale, werd aangenomen dat de steen-
koolbeddingen, welke de afzetting vormen, een ge-
middeld soortelijk gewicht van 1.400 kg per m³ heb-
ben en dat zij bestaan uit 80 % zuivere steenkool met
een bovenste stookwaarde van 8.800 kcal/kg en 20
% inerte minerale stoffen, wat leidt tot een gemid-
delde bovenste stookwaarde van 7.040 kcal/kg.

Rekening houdend met deze waarden en met de in
hoofdstuk 2 bepaalde rendementen, kunnen de jaar-
lijks door de centrale verbruikte thermische energie
en het afzettingsvolume worden geraamd zoals aan-
gegeven in tabel V.

Tableau V. — Production et consommation annuelle de la centrale
Tabel V. — Jaarlijkse produktie en verbruik van de centrale

Données d'utilisation de la centrale	7.000 h	4.500 h	Benuttingsgraad van de centrale
Energie électrique distribuée (10 ⁶ kWh)	1.190	765	Bedeelde elektrische energie (10 ⁶ kWh)
Equivalent calorifique (Gcal)	1.023.400	657.900	Warmte-equivalent (Gcal)
Energie à extraire du gisement sur base d'un rendement de 34,9 % (Gcal)	2.932.400	1.885.100	In de afzetting te winnen energie op basis van een rendement van 34,9 % (Gcal)
Potentiel du gisement à exploiter sur base d'un rendement global de 22,7 % (Gcal)	4.508.400	2.898.200	Te ontginnen afzettingspotentieel op basis van een globaal rendement van 22,7 % (Gcal)
Poids du charbon correspondant (t)	640.400	411.680	Gewicht v/d overeenstemmende steenkool (t)
Volume de houille à exploiter (m ³)	457.400	294.100	Te ontginnen steenkoolvolume (m ³)

3.2. Superficie du site à prévoir
pour l'alimentation de la centrale

La surface de gisement nécessaire pour assurer l'alimentation de la centrale pendant une durée de 20 ans est précisée au tableau VI.

3.2. Te bepalen
winningsplaatsoppervlakte
voor de voeding van de centrale

De tijdens 20 jaar, voor de voeding van de centrale benodigde afzettingsoppervlakte is aangegeven in tabel VI.

Tableau VI. — Superficie du gisement à exploiter
Tabel VI. — Oppervlakte van de te ontginnen afzetting

Taux d'utilisation de la centrale	7.000 h	4.500 h	Benuttingsgraad van de centrale
	(10 ⁶ m ³)	(10 ⁶ m ³)	
Volume de charbon à exploiter	9,15	5,88	Te ontginnen steenkoolvolume
Surface du gisement à exploiter	(km ²)	(km ²)	Te ontginnen afzettingsoppervlakte
— pour une puissance globale de 2 m	4,58	2,94	— voor een globale dikte van 2 m
— pour une puissance globale de 4 m	2,29	1,47	— voor een globale dikte van 4 m
— pour une puissance globale de 6 m	1,53	0,98	— voor een globale dikte van 6 m
— pour une puissance globale de 8 m	1,14	0,74	— voor een globale dikte van 8 m

3.3. Valeur limite
des affaissements de terrains
résultant de l'exploitation

La figure 4 donne une évaluation de l'affaissement maximum résultant de l'exploitation d'une couche d'un mètre de puissance, suivant que l'exploitation est réalisée par gazéification souterraine ou par exploitation classique sans remblayage.

A partir de ces données, la valeur limite des affaissements de terrain à prévoir peut être précisée comme indiqué au tableau VII.

3.3. Grenswaarde
van de gesteenteverzakkingen
ten gevolge van de ontginning

Figuur 4 geeft een raming van de maximum verzakking ten gevolge van de ontginning van een één meter dikke laag, naargelang de ontginning gebeurde door ondergrondse vergassing of door klassieke ontginning zonder opvulling.

Uitgaande van deze gegevens kan de grenswaarde van de te verwachten gesteenteverzakkingen worden bepaald zoals aangegeven in tabel VII.

Tableau VII. — Valeur limite
des affaissements de terrains

Puissance cumulée des couches	Affaissement maximum		
	Gazéification souterraine	Exploitation classique	
		Couches homogènes	Couches hétérogènes
(m)	(m)	(m)	(m)
2	1,33	2	2,67
4	2,67	4	5,33
6	4,00	6	8,00
8	5,33	8	10,67

Tabel VII. — Grenswaarde
van de gesteenteverzakkingen

Gecumuleerde dikte van de lagen	Maximale verzakking		
	Ondergrondse vergassing	Klassieke ontginningslagen	
		Homogene lagen	Heterogene lagen
(m)	(m)	(m)	(m)
2	1,33	2	2,67
4	2,67	4	5,33
6	4,00	6	8,00
8	5,33	8	10,67

Ces chiffres montrent avec évidence que les affaissements prévisibles à la suite d'une exploitation par gazéification souterraine sont d'un ordre de grandeur 30 à 50 % plus faible que ceux que l'on peut attendre d'une exploitation classique avec effondrement du toit, et qu'ils ne devraient pas être très différents des valeurs observées dans les exploitations classiques dans lesquelles on effectue un remblayage de qualité courante.

Deze cijfers tonen duidelijk aan dat de te verwachten verzakkingen naar aanleiding van een ontginning door ondergrondse vergassing 30 tot 50 % kleiner zijn dan die welke te verwachten zijn bij een klassieke ontginning met dakbreukbouw, en dat ze niet zouden verschillen van de waargenomen waarden in de klassieke ontginningen waar een vulling van gewone kwaliteit wordt aangebracht.

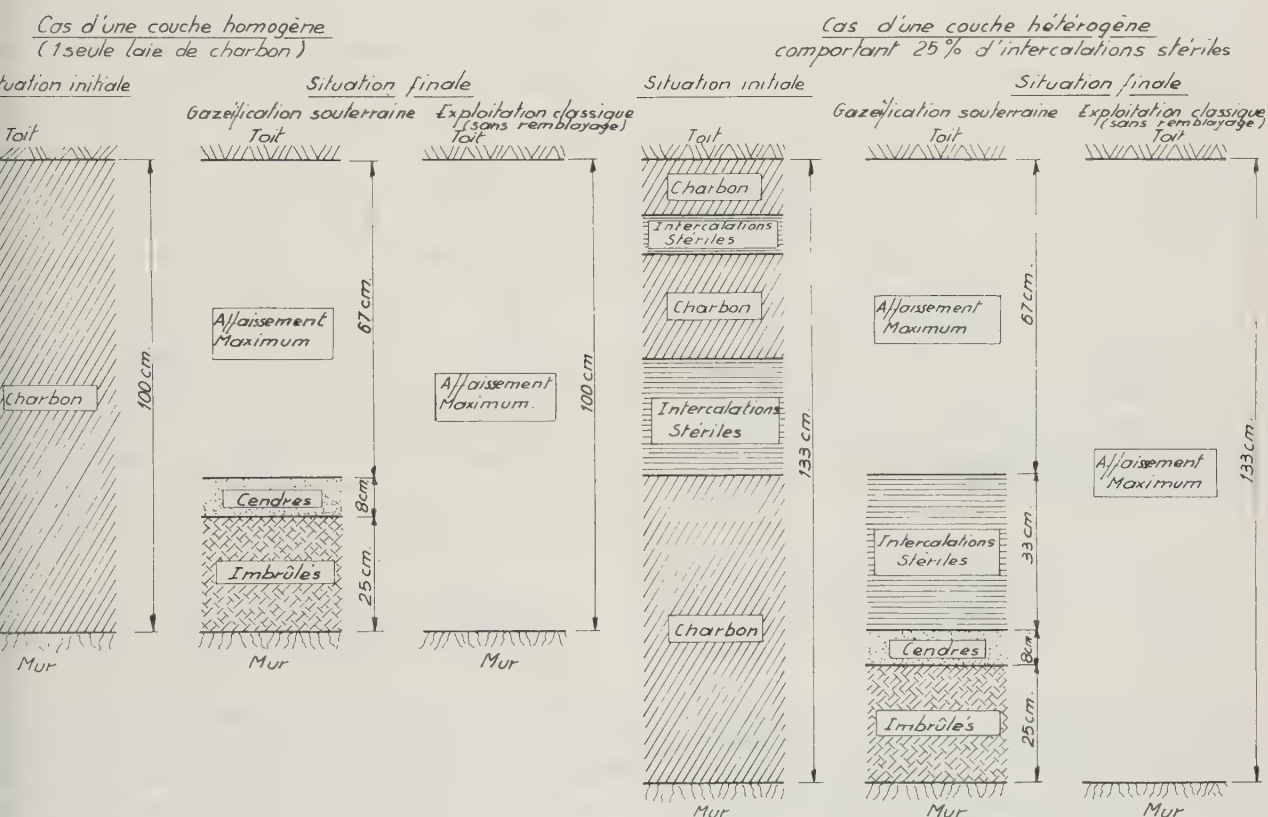


Fig. 4. — Evaluation de l'affaissement maximum, résultant de l'exploitation d'une couche de 1 m de puissance.

Raming van de maximumverzakking ten gevolge van de ontginning van een 1 m dikke laag.

s d'une couche homogène (1 seule laie de charbon) — Geval van een homogene laag (1 enkele steenkoolbedding)

s d'une couche hétérogène comportant 25 % d'intercalations stériles — Geval van een heterogene laag met 25 % steenmiddelen

uation initiale — Oorspronkelijke toestand

uation finale — Eindtoestand

zéification souterraine — Ondergrondse vergassing

exploitation classique (sans remblayage) — Klassieke ontginning (zonder opvulling)

it — Dak

arbon — Steenkool

ur — Vloer

aissement maximum — Maximumverzakking

ndres — As

brûlés — Onverbrande steenkool

3.4. Evaluation du nombre de sondages

3.4.1. Nombre de sondages en exploitation

Compte tenu des rendements définis au chapitre 2.10, la quantité d'énergie à extraire pour assurer la production de 1 kWh, a pour valeur :

$$860 \times \frac{1}{0,349} = 2.465 \text{ kcal.}$$

Le débit calorifique maximum d'un sondage à gaz étant de 12,48 Gcal/h (réf. chap. 2.6.), le nombre minimum de sondages à gaz nécessaires pour assurer l'alimentation de la centrale lorsqu'elle fonctionne à son régime nominal de 170 MW peut se déduire de l'équation :

Energie extraite pour une heure de fonctionnement =
 $N_o \times 12.480.000 \text{ kcal} = 170.000 \times 2.465 \text{ kcal}$
ce qui conduit à une valeur minimum :

$N_o = 34 \text{ sondages.}$

L'exploitation par gazéification souterraine impliquant la réalisation d'un circuit comportant une entrée d'air et une sortie de gaz, N_o représente également le nombre minimum de sondages d'entrée d'air à réaliser comme travail préparatoire avant toute mise en exploitation du gisement.

3.4.2. Nombre de sondages à foncer annuellement pour assurer le développement de l'exploitation

Lorsque l'exploitation se développe à son régime normal, le volume de charbon, qui peut être gazéifié à partir du fonçage de chaque nouveau sondage, est le produit de la puissance cumulée des couches par la surface moyenne gazéifiée à partir d'un sondage (tableau VIII).

3.4. Raming van het aantal boringen

3.4.1. Aantal in ontginning zijnde boringen

Rekening houdend met de in hoofdstuk 2.10 bepaalde rendementen heeft de hoeveelheid te winnen energie voor de produktie van 1 kWh als waarde :

$$860 \times \frac{1}{0,349} = 2.465 \text{ kcal.}$$

Daar het maximaal warmtedebiet van een gasboring 12,48 Gcal/h bedraagt (ref. hoofdstuk 2.6), kan het minimumaantal gasboringen dat nodig is voor de voeding van de centrale, wanneer deze bij een nominaal bedrijf van 170 MW werkt, worden afgeleid uit de vergelijking :

Gewonnen energie na een uur werking =
 $N_o \times 12.480.000 \text{ kcal} = 170.000 \times 2.465 \text{ kcal}$
wat leidt tot een minimumwaarde :

$N_o = 34 \text{ boringen}$

Aangezien de ontginning door ondergrondse vergassing de uitvoering impliceert van een omloop met een lucht- en een gasuitlaat, geeft N_o eveneens het minimumaantal intrekkende boringen aan die vóór elke ontginning van de afzetting als voorbereidend werk moeten worden tot stand gebracht.

3.4.2. Aantal jaarlijks te delven boringen voor de ontwikkeling van de ontginning

Wanneer de ontginning in normaal bedrijf verloopt, is het steenkoolvolume dat na het delven van elke nieuwe boring kan worden vergast het produkt van de gecumuleerde dikte van de lagen met de gemiddelde, vanaf een boring vergaste oppervlakte (tableau VIII).

Tableau VIII. — Volume gazéifié par sondage
Tabel VIII. — Vergast volume per boring

Puissance cumulée des couches (m)	Volume gazéifié par sondage (m³) Vergast volume per boring (m³)					Gecumuleerde dikte van de lagen (m)
2		6.000	10.000	14.000	20.000	2
4		12.000	20.000	28.000		4
6	6.000	18.000	30.000			6
8	8.000	24.000				8
Surface de la zone gazéifiée par sondage (m²)	1.000	3.000	5.000	7.000	10.000	Oppervlakte van de vergaste zone per boring (m²)

Compte tenu de ces valeurs et du volume de houille à exploiter pour assurer l'alimentation de la centrale, le nombre minimum de sondages à foncer annuellement s'établit comme indiqué au tableau IX.

Rekening houdend met deze waarden en met het te ontginnen steenkoolvolume voor de voeding van de centrale, neemt het jaarlijks te delven minimumaantal boringen de volgende waarden aan (tabel IX).

Tableau IX. — Nombre de sondages à foncer annuellement

Tabel IX. — Aantal jaarlijkse te delven boringen

1. Pour un taux d'utilisation de la centrale de 7.000 h par an

(Vol. à exploiter : 457.400 m³)

1. Voor een benuttingsgraad van de centrale van 7.000 h per jaar

(Te ontginnen vol. : 457.400 m³)

Puissance cumulée des couches (m)	Nombre de sondages à foncer chaque année (N ₁) Aantal jaarlijks te delven boringen (N ₁)					Gecumuleerde dikte van de lagen (m)
2		76,2	45,7	32,7	22,9	2
4		38,1	22,9	16,3		4
6	76,2	25,4	15,2			6
8	57,2	19,1				8
Surface de la zone ga- zéifiée par sondage (m ²)	1.000	3.000	5.000	7.000	10.000	Oppervlakte van de ver- gaste zone per boring (m ²)

2. Pour un taux d'utilisation de la centrale de 4.500 h par an

(Vol. à exploiter : 294.100 m³)

2. Voor een benuttingsgraad van de centrale van 4.500 h per jaar

(Te ontginnen vol. : 294.100 m³)

Puissance cumulée des couches (m)	Nombre de sondages à foncer chaque année (N ₁) Aantal jaarlijks te delven boringen (N ₁)					Gecumuleerde dikte van de lagen (m)
2		49,0	29,4	21,0	14,7	2
4		24,5	14,7	10,5		4
6	49,0	16,3	9,8			6
8	36,8	12,2				8
Surface de la zone ga- zéifiée par sondage (m ²)	1.000	3.000	5.000	7.000	10.000	Oppervlakte van de ver- gaste zone per boring (m ²)

3.4.3. *Nombre minimum de sondages à foncer pour assurer l'alimentation de la centrale pendant ses 20 années d'existence*

Ce nombre minimum a pour expression :

$$N = N_0 + 20 N_1$$

en désignant par N_0 le nombre de sondages à réaliser comme travail préparatoire avant la mise en exploitation du gisement et par N_1 le nombre de sondages à foncer annuellement pour assurer le développement de l'exploitation.

Les valeurs numériques de N sont indiquées au tableau X.

3.4.3. *Minimumaantal te delven boringen voor voeding van de centrale tijdens de 20 jaren van haar bestaan*

Dit minimumaantal wordt uitgedrukt door :

$$N = N_0 + 20 N_1$$

waarbij N_0 het aantal boringen aangeeft dat als voorbereidend werk, vóór de ontginning van de afzetting moet worden uitgevoerd en N_1 het aantal jaarlijks te delven boringen voor de ontwikkeling van de ontginning.

De numerieke waarden van N zijn aangegeven in tabel X.

Tableau X. — Nombre de sondages à foncer en 20 ans
Tabel X. — Aantal in 20 jaar te delven boringen

- 1. Pour un taux d'utilisation de la centrale de 7.000 h par an
- 1. Voor een benuttingsgraad van de centrale van 7.000 h per jaar

Puissance cumulée des couches (m)	Nombre de sondages à foncer en 20 ans (N) Aantal in 20 jaar te delven boringen (N)					Gecumuleerde dikte van de lagen (m)
2		1.558	948	688	492	2
4		796	492	360		4
6	1.558	542	338			6
8	1.178	416				8
Surface de la zone gazéifiée par sondage (m ²)	1.000	3.000	5.000	7.000	10.000	Oppervlakte van de vergaste zone per boring (m ²)

- 2. Pour un taux d'utilisation de la centrale de 4.500 h par an
- 2. Voor een benuttingsgraad van de centrale van 4.500 h per jaar

Puissance cumulée des couches (m)	Nombre de sondages à foncer en 20 ans (N) Aantal in 20 jaar te delven boringen (N)					Gecumuleerde dikte van de lagen (m)
2		1.014	622	454	328	2
4		524	328	244		4
6	1.014	360	230			6
8	770	278				8
Surface de la zone gazéifiée par sondage (m ²)	1.000	3.000	5.000	7.000	10.000	Oppervlakte van de vergaste zone per boring (m ²)

4.4. Volume moyen gazéifié par sondage

Si l'on tient compte du nombre total de sondages à creuser pour assurer l'exploitation du gisement pendant les 20 années d'existence de la centrale, le volume moyen de gisement gazéifié par chaque sondage s'établit aux valeurs données au tableau XI. Ce sont ces dernières valeurs qu'il convient d'utiliser pour l'interprétation des prix de revient dont il sera question aux chapitres 4 et 5.

3.4.4. Gemiddeld vergast volume per boring

Indien rekening wordt gehouden met het totaal aantal te delven boringen voor de ontginning van de afzetting tijdens de 20 jaren van het centralebestaan, stemt het gemiddeld vergast volume voor elke boring overeen met de volgende waarden (tabel XI). Deze waarden moeten worden gebruikt voor de interpretatie van de kostprijzen waarvan sprake zal zijn in de hoofdstukken 4 en 5.

Tableau XI. — Volume moyen gazéifié par sondage (compte tenu de la première ligne de 34 sondages)

Tabel XI. — Gemiddeld vergast volume per boring (rekening houdend met de eerste lijn van 34 boringen)

Pour un taux d'utilisation de 7.000 h par an
Voor een benuttingsgraad van 7.000 h per jaar

Puissance cumulée des couches (m)	Volume moyen gazéifié par sondage (m ³) Gemiddeld vergast volume per boring (m ³)					Gecumuleerde dikte van de lagen (m)
2		5.868	9.642	13.295	18.618	2
4		11.479	18.618	25.304		4
6	5.868	16.869	26.941			6
8	7.769	22.019				8
Surface de la zone gazéifiée par sondage (m ²)	1.000	3.000	5.000	7.000	10.000	Oppervlakte van de vergaste zone per boring (m ²)

Pour un taux d'utilisation de 4.500 h par an
Voor een benuttingsgraad van 4.500 h per jaar

Puissance cumulée des couches (m)	Volume moyen gazéifié par sondage (m ³) Gemiddeld vergast volume per boring (m ³)					Gecumuleerde dikte van de lagen (m)
2		5.796	9.455	12.939	17.933	2
4		11.217	17.933	24.082		4
6	5.796	16.298	25.541			6
8	7.642	21.071				8
Surface de la zone gazéifiée par sondage (m ²)	1.000	3.000	5.000	7.000	10.000	Oppervlakte van de vergaste zone per boring (m ²)

3.5. Plan d'exploitation

Les plans d'exploitation peuvent varier en fonction des circonstances locales de disposition du gisement et d'occupation de la surface.

La figure 5 donne, à titre d'exemple, les dispositions qui pourraient être adoptées pour l'exploitation d'un gisement homogène d'assez grand développement.

Dans le cas de la *variante 1* (alternance d'un sondage à gaz et d'un sondage à air), on a admis que les sondages étaient répartis aux sommets d'un réseau à mailles carrées de 75 m de côté et que la gazéification progressait suivant quatre fronts de 600 m de longueur, déterminés par quatre alignements de 9 sondages.

Dans le cas de la *variante 2* (alternance d'un sondage à gaz et de deux sondages à air), on a admis que les sondages étaient répartis aux sommets d'un réseau à mailles triangulaires de 80 m de côté et que la gazéification progressait suivant quatre fronts de 1.040 m de longueur, déterminés par quatre alignements de 13 sondages.

Dans les deux cas, un stot de protection de 1.000 m a été réservé autour de la centrale.

4. COUT DE L'ENERGIE THERMIQUE

4.1. Expression générale du coût de l'énergie thermique « extraite »

L'analyse des facteurs qui influencent le coût de l'énergie thermique conduit à regrouper les éléments du prix de revient en une somme de 3 termes :

$$P = (S + R) + (T) + (C + MO)$$

avec les notations :

- P : coût de l'énergie extraite (FB/Gcal)
- S + R : intervention du coût des sondages et de leurs dispositifs de refroidissement
- T : intervention de l'intérêt du capital immobilisé pour l'acquisition du terrain
- C + MO : intervention du coût des canalisations reliant la centrale aux sondages et du coût de la main-d'œuvre nécessaire pour le déplacement et l'entretien des installations de chantiers.

3.5. Exploitatieplan

De exploitatieplannen kunnen variëren naar ge- van de plaatselijke omstandigheden van de a- tingsgesteldheid en de oppervlaktebezetting.

Figuur 5 geeft bij wijze van voorbeeld de schil- gen aan die zouden kunnen worden aangenoc- voor de exploitatie van een homogene afzetting- vrijwel grote ontwikkeling.

In het geval van *variante 1* (afwisseling van- gasboring en een luchtboring) werd aangenome- de boringen verdeeld waren over de toppen van- net met vierkante mazen van 75 m zijde, en da- vergassing vorderde volgens vier fronten van 60- lengte, bepaald door vier lijnen van 9 boringen.

In het geval van *variante 2* (afwisseling van- gasboring en twee luchtboringen) werd aangenoc- dat de boringen verdeeld waren over de toppen- een net met driehoekige mazen van 80 m zijde en- de vergassing vorderde volgens vier fronten- 1.040 m lengte bepaald door vier lijnen van 13- ringen.

In beide gevallen werd een beveiligingsmassief- 1.000 m rond de centrale vrijgehouden.

4. KOSTPRIJS VAN DE THERMISCHE ENERGIE

4.1. Algemene uitdrukking van de kostp- van de « gewonnen » thermische energ

De analyse van de factoren welke de kostprijs- de thermische energie beïnvloeden leidt tot de- groepering van de kostprijs-elementen in een som- 3 termen :

$$P = (S + R) + (T) + (C + MO)$$

met de aanduidingen :

- P : kostprijs van de gewonnen ene- (BF/Gcal)
- S + R : kostprijs van de boringen en van koelers
- T : interest van het vast kapitaal voor aankoop van het terrein
- C + MO : kostprijs van de leidingen welke- centrale verbinden met de boringen- van de kostprijs van de benodig- arbeidskrachten voor de verplaatsing- het onderhoud van de werkinstallatie

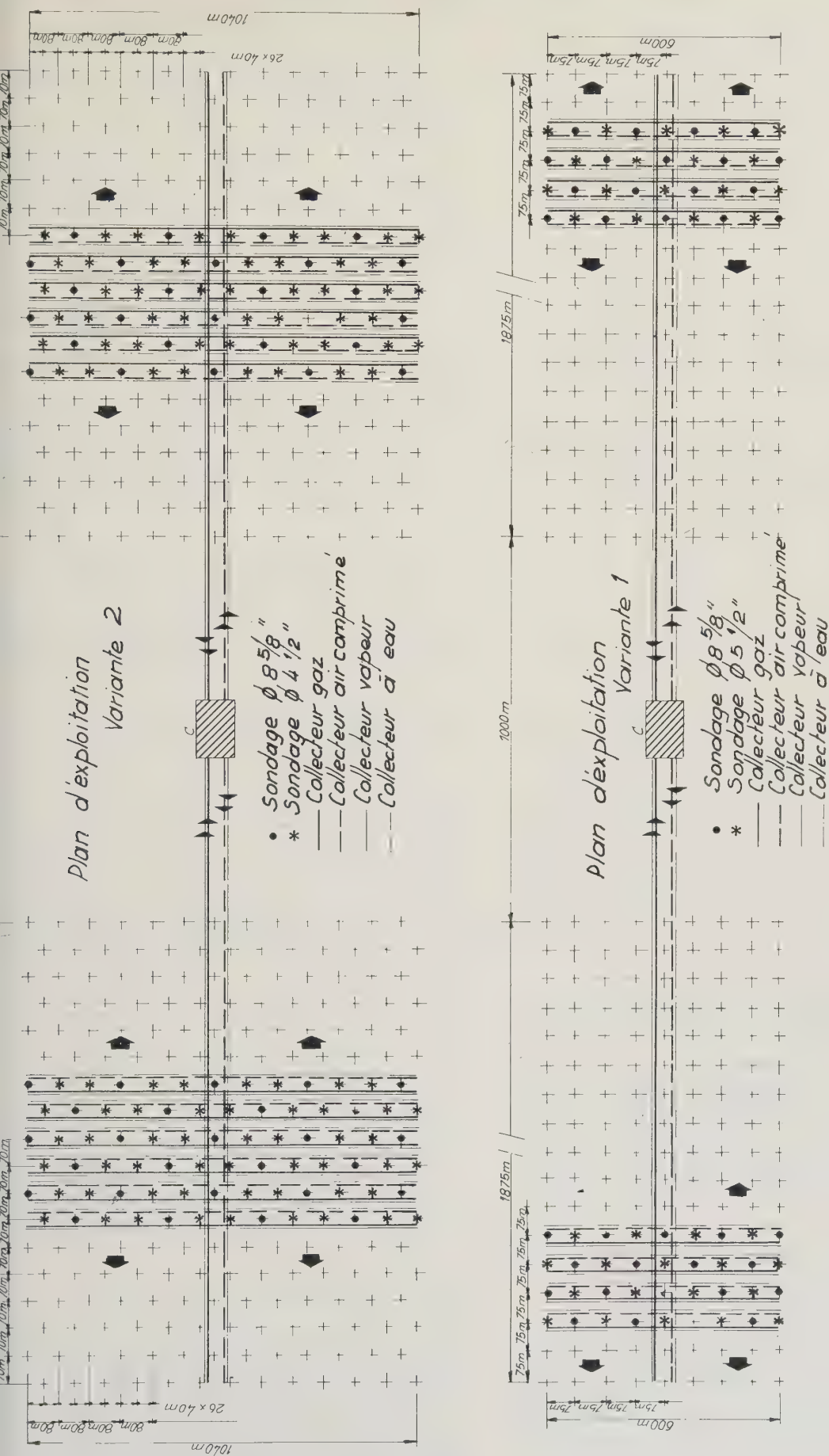


Fig. 5. — Plans d'exploitations — Winningsplannen

Sondage — Boring

Collecteur gaz — Gasleiding

Collecteur air comprimé — Persluchtleiding

Collecteur vapeur — Stoomleiding

Collecteur à eau — Waterleiding

4.2. Sondages et dispositifs de refroidissement

Le premier terme du prix de revient peut s'exprimer par le rapport :

$$(S + R) = \frac{\text{Prix moyen d'un sondage}^*}{\text{Energie thermique extraite par sondage}}$$

* y compris intervention du dispositif de refroidissement.

La valeur du numérateur dépend du gisement (Campine ou Bassin Sud), de la profondeur, du diamètre et de la répartition des sondages (variantes 1 et 2).

La valeur du dénominateur dépend du volume moyen de charbon gazéifié à partir de chaque sondage, paramètre variable, dont la valeur réelle ne pourra être déterminée que par l'expérience.

4.2.1. Coût moyen d'un sondage

Le coût d'un sondage à tubage simple, déduit de l'étude du Professeur Brych, est donné au chapitre 2.7.

Pour l'étude de la *variante 1*, on a adopté comme coût moyen la moyenne des prix obtenus pour les forages à 8 5/8'' et à 5 1/2''.

Pour la *variante 2*, on a adopté la moyenne du prix d'un forage à 8 5/8'' et de deux forages à 4 1/2''.

Dans les deux cas, les valeurs obtenues ont été majorées de 15 % pour tenir compte des aléas d'ordres technique et/ou géologique qui peuvent entraîner l'abandon d'un sondage ou réduire sa productivité.

Si un même sondage est utilisé pour l'exploitation successive de plusieurs couches, une majoration des dépenses devrait être prévue pour tenir compte des adaptations nécessaires (obstruction du fond du sondage et perforation du tubage à hauteur des couches à exploiter). A défaut d'éléments d'appréciation suffisants, ces majorations de dépenses n'ont pas été reprises dans les calculs et il y a lieu d'en tenir compte dans l'interprétation des résultats.

4.2.2. Coût du dispositif de refroidissement

Le coût de l'équipement destiné au refroidissement des sondages et à la récupération de la chaleur sensible des gaz a été estimé à 1.700 francs par mètre courant, et on a admis que le prix de cet équipement amovible pouvait être amorti sur deux périodes d'utilisation.

4.2. Boringen en koelers

De eerste term van de kostprijs kan worden uitgedrukt door de verhouding :

$$(S + R) = \frac{\text{Gemiddelde prijs van een boring}^*}{\text{Gewonnen thermische energie per boring}}$$

* met inbegrip van de koelbijdrage.

De waarde van de teller is afhankelijk van de afzetting (Kempen of Zuiderbekken), de diepte, de diameter en de verdeling van de boringen (varianten 1 en 2).

De waarde van de noemer is afhankelijk van het volume van gas gewonnen uit een boring, gemiddeld volume vergaard uit steenkool. Dit is een variabele parameter waarvan de werkelijke waarde slechts bij proefneming kan worden vastgesteld.

4.2.1. Gemiddelde kostprijs van een boring

De kostprijs van een boring met enkele verbuizingen is afgeleid uit de studie van Professor Brych, wordt in hoofdstuk 2.7. gegeven.

Voor de studie van *variante 1* werd het gemiddelde van de prijzen voor de boringen met 8 5/8'' en 5 1/2'' als gemiddelde genomen voor de kostprijs.

Voor *variante 2* nam men het gemiddelde van de prijs van een boring met 8 5/8'' en van twee boringen met 4 1/2''.

In beide gevallen werden de verkregen waarden verhoogd met 15 % om rekening te houden met de technische en/of geologische risico's waardoor een boring moet worden prijsgegeven of de productiviteit ervan beperkt.

Indien eenzelfde boring aangewend wordt voor opeenvolgende exploitatie van meerdere lagen, zullen de uitgaven moeten worden verhoogd om rekening te houden met de nodige aanpassingen (verbuizing van de boringbodem en doorboring van verbuizing ter hoogte van de te ontginnen lagen). Het gebrek aan voldoende beoordelingselementen waardoor deze uitgaveverhogingen niet opgenomen in de berekeningen en er moet dus rekening mee worden gehouden bij de interpretatie van de resultaten.

4.2.2. Koelerkostprijs

De kostprijs van de uitrusting bestemd voor de koeling van de boringen en de recuperatie van de gevoelige warmte van de gassen werd geraamd op 1.700 frank per strekkende meter, en men nam aan dat de prijs van deze verplaatsbare uitrusting over twee benuttingsperiodes kan worden afgeschreven.

Si l'on observe qu'un sondage sur deux est équipé d'un dispositif de refroidissement dans le cas de la variante 1, et un sondage sur trois dans le cas de la variante 2, l'incidence du coût des dispositifs de refroidissement conduit à majorer le coût moyen des sondages de :

425 francs par mètre dans le cas de la variante 1 de

283 francs par mètre dans le cas de la variante 2.

2.3. Energie thermique extraite

Pour l'évaluation de l'énergie thermique extraite par sondage, le potentiel thermique d'un mètre cube de charbon à 20 % de stériles, gazéifié « in situ » a été calculé comme suit :

$8.800 \text{ kcal/kg} \times 0,80 \times 1.400 \text{ kg/m}^3 = 8.800.000 \text{ kcal/m}^3$ soit, en chiffres ronds : $9.000.000 \text{ kcal/m}^3$ ou 9 Gcal/m^3 .

A partir de ce chiffre et des valeurs de rendement indiquées au chapitre 2.3., l'énergie thermique extraite par m^3 de charbon gazéifié « in situ » (chaleur potentielle et chaleur sensible du gaz) peut être estimée à $6,5 \text{ Gcal/m}^3$.

2.4. Evaluation du terme proportionnel au coût des sondages

Sur la base de ces données, le prix moyen d'un sondage, majoré de l'intervention du dispositif de refroidissement, s'établit aux valeurs données au tableau XII.

On en déduit, pour valeur du premier terme du prix revient de la gigacalorie extraite, les valeurs déduites au tableau XIII.

4.3. Intérêts pour occupation du terrain

L'achat du terrain représente une immobilisation de 300.000 francs par hectare, dont il faut payer l'intérêt pendant 20 ans.

L'intervention de cette dépense dans le coût de l'énergie extraite peut s'exprimer par la relation :

$$= \frac{\text{Prix du terrain} \times \text{taux d'amortissement}}{\text{Energie thermique extraite annuellement}}$$

La valeur du numérateur dépend de la surface immobilisée qui est elle-même proportionnelle au taux d'utilisation de la centrale et fonction de la puissance cumulée des couches.

La valeur du dénominateur est directement proportionnelle au taux d'utilisation de la centrale.

Wanneer één boring op twee voorzien is van een koeler in het geval van variante 1, en één boring op drie in het geval van variante 2, leidt de weerslag van de koelerskosten tot de verhoging van de gemiddelde boringkosten met :

425 frank per meter in het geval van variante 1

en met

283 frank per meter in het geval van variante 2.

4.2.3. Gewonnen thermische energie

Voor de raming van de gewonnen thermische energie per boring werd het thermisch potentieel van een kubieke meter steenkool met 20 % afvalstenen, vergast « in situ », als volgt berekend :

$8.800 \text{ kcal/kg} \times 0,80 \times 1.400 \text{ kg/m}^3 = 8.800.000 \text{ kcal/m}^3$ of afgerond : 10 Gcal/m^3 .

Uitgaande van dit cijfer en van de in hoofdstuk 2.3. aangegeven rendementswaarden, kan de gewonnen thermische energie per m^3 « in situ » vergaste steenkool (potentiële warmte en gevoelige warmte van het gas) op $6,5 \text{ Gcal/m}^3$ worden geraamd.

4.2.4. Raming van de term evenredig met de boringkosten

Op grond van deze gegevens stemt de gemiddelde prijs van een boring, verhoogd met de bijdrage van de koeler, overeen met de volgende waarden (tabel XII).

Hieruit leidt men als eerste term van de kosten van de gewonnen gigacalorie de waarden af voorkomende in tabel XIII.

4.3. Interests voor de inbeslagneming van het terrein

De aankoop van de grond betekent een immobilisatie van 300.000 frank per hectare, waarvoor tijdens 20 jaar interest moet worden betaald.

De deelname van deze uitgave in de gewonnen-energiekosten kan worden uitgedrukt door de verhouding :

$$(T) = \frac{\text{Grondprijs} \times \text{afschrijvingspercentage}}{\text{Jaarlijks gewonnen thermische energie}}$$

De waarde van de teller is afhankelijk van de geïmmobiliseerde oppervlakte die op haar beurt evenredig is met de benuttingsgraad van de centrale en afhankelijk van de gecumuleerde laagdikte.

De waarde van de noemer is rechtstreeks evenredig met de benuttingsgraad van de centrale.

Tableau XII. — Coût moyen d'un sondage majoré de l'intervention
du dispositif de refroidissement
*Tabel XII. — Gemiddelde boringkostprijs verhoogd
met de bijdrage van de koeler*

Profondeur et conditions de gisement	Prix moyen d'un sondage (10 ⁶ FB) <i>Gem. prijs van een boring (10⁶ BF)</i>		<i>Afzettingsdiepte en -omstandigheden</i>
	Variante 1	Variante 2	
1.000 m (Bassin Sud)	7,958	6,915	1.000 m (Zuiderbekken)
1.000 m (Campine)	9,395	7,950	1.000 m (Kempen)
1.500 m (Bassin Sud)	12,885	11,235	1.500 m (Zuiderbekken)
1.500 m (Campine)	14,265	12,117	1.500 m (Kempen)

Tableau XIII. — Incidence du prix des sondages sur le prix de la gigacalorie
Tabel XIII. — Weerslag van de boringprijs op de prijs van de gigacalorie
Pour la variante 1 — Voor variante 1

Profondeur et conditions de gisement	(S + R) = Incidence du coût des sondages et des dispositifs de refroidissement (FB / Gcal) <i>(S + R) = Weerslag van de boring- en koelerskosten (BF / Gcal)</i>				<i>Afzettingsdiepte en -omstandigheden</i>
1.000 m (Bassin Sud)	244,8	122,4	61,2	40,8	1.000 m (Zuiderbekken)
1.000 m (Campine)	289,1	144,5	72,3	48,2	1.000 m (Kempen)
1.500 m (Bassin Sud)	396,5	198,2	99,1	66,1	1.500 m (Zuiderbekken)
1.500 m (Campine)	438,9	219,5	109,7	73,2	1.500 m (Kempen)
Volume de charbon gazéifié par sondage (m ³)	5.000	10.000	20.000	30.000	<i>Volume vergaste steenkool per boring (m³)</i>

Pour la variante 2 — Voor variante 2

Profondeur et conditions de gisement	(S + R) = Incidence du coût des sondages et des dispositifs de refroidissement (FB / Gcal) <i>(S + R) = Weerslag van de boring- en koelerskosten (BF / Gcal)</i>				<i>Afzettingsdiepte en -omstandigheden</i>
1.000 m (Bassin Sud)	212,8	106,4	53,2	35,5	1.000 m (Zuiderbekken)
1.000 m (Campine)	244,6	122,3	61,2	40,8	1.000 m (Kempen)
1.500 m (Bassin Sud)	345,7	172,8	86,4	57,6	1.500 m (Zuiderbekken)
1.500 m (Campine)	372,8	186,4	93,2	62,1	1.500 m (Kempen)
Volume de charbon gazéifié par sondage (m ³)	5.000	10.000	20.000	30.000	<i>Volume vergaste steenkool per boring (m³)</i>

Le calcul conduit aux valeurs numériques suivantes :

Intérêt annuel par km² de surface :

$$= 30.000.000 \times 0,09 = 2.700.000 \text{ FB.}$$

Energie thermique extraite annuellement (réf. chap. 3.1.) :

$$\text{— au taux d'utilisation de 7.000 h/an : } 2.932.400 \text{ Gcal ;}$$

$$\text{— au taux d'utilisation de 4.500 h/an : } 1.885.100 \text{ Gcal.}$$

On en déduit pour l'intervention du prix du terrain des valeurs reprises au tableau XIV.

De berekening leidt tot de volgende numerieke waarden :

Jaarlijkse interest per km² oppervlakte :

$$\text{— } 30.000.000 \times 0,09 = 2.700.000 \text{ BF.}$$

Jaarlijks gewonnen thermische energie (ref. hoofdstuk 3.1.) :

$$\text{— bij een benuttingsgraad van 7.000 h/jaar : } 2.932.400 \text{ Gcal;}$$

$$\text{— bij een benuttingsgraad van 4.500 h/jaar : } 1.885.100 \text{ Gcal}$$

Voor de bijdrage van de grondprijs leidt men dus de waarden af voorkomende in tabel XIV.

Tableau XIV. — Incidence du prix du terrain sur le prix de la gigacalorie

Tabel XIV. — Weerslag van de grondprijs op de prijs van de gigacalorie

Puissance cumulée des couches <i>Gecumuleerde laagdikte</i>	Taux d'utilisation de 7.000 h/an <i>Benuttingsgraad van 7.000 h/jaar</i>		Taux d'utilisation de 4.500 h/an <i>Benuttingsgraad van 4.500h/jaar</i>	
	Intérêts annuels <i>Jaarlijkse interesten</i>	Incidence par gigacalorie extraite <i>Weerslag per gewonnen gigacalorie</i>	Intérêts annuels <i>Jaarlijkse interesten</i>	Incidence par gigacalorie extraite <i>Weerslag per gewonnen gigacalorie</i>
(m)	(10 ⁶ FB)	(FB/Gcal)	(10 ⁶ FB)	(FB/Gcal)
2	12,366	4,16	7,965	4,16
4	6,183	2,08	3,982	2,08
6	4,123	1,39	2,655	1,39
8	3,092	1,04	1,991	1,04

Comme on le voit, l'incidence des intérêts payés pour l'occupation du terrain ne constitue qu'un faible poste du prix de revient, qui dépend uniquement de la puissance cumulée des couches.

Dans la suite des calculs, on n'a pas estimé devoir tenir compte de cette variation et l'incidence du prix du terrain a été portée en compte pour une valeur uniforme de 2,08 FB/Gcal qui correspond à une puissance exploitée de 4 m.

Zoals kan worden vastgesteld, vormt de weerslag van de betaalde interesten voor de inbeslagneming van het terrein slechts een kleine post van de kostprijs, die enkel afhankelijk is van de gecumuleerde laagdikte.

In de verdere berekeningen werd het niet nodig geacht rekening te moeten houden met deze schommeling, en de weerslag van de grondprijs werd in rekening gebracht voor een uniforme waarde van 2,08 BF/Gcal welke overeenstemt met een ontgonnen dikte van 4 m.

4.4. Canalisations et main-d'œuvre

Le coût des canalisations d'eau, d'air comprimé, de gaz et de vapeur reliant la centrale au sondage a été évalué à partir d'une étude réalisée par Distrigaz, sur la base des plans d'exploitation détaillés à la figure 5.

4.4. Leidingen en arbeidskrachten

De kostprijs van de leidingen voor water, perslucht, gas en stoom, welke de centrale verbinden met de boring werden geraamd uitgaande van een door Distrigaz verrichte studie, op grond van de op figuur 5 in detail voorkomende exploitatieplannen.

L'investissement à réaliser, comprenant la fourniture et le montage des canalisations, les vannes et flexibles, le calorifugeage et l'instrumentation, a été estimé à 860 millions de francs.

Pour le calcul du prix de revient, on a admis que ce montant serait engagé en quatre tranches de 215 millions amortissables chacune en 5 ans.

La dépense salariale à prévoir pour le déplacement et l'entretien des installations de chantiers a été estimée à :

35 millions de francs pour un taux d'utilisation de la centrale de 7.000 h/an
et à

28 millions de francs pour un taux d'utilisation de la centrale de 4.500 h/an.

Compte tenu de ces données, l'intervention du coût des canalisations et de la main-d'œuvre de chantier dans le prix de l'énergie thermique extraite s'établit comme indiqué au tableau XV.

De uit te voeren investering, bestaande in de levering en de montage van de leidingen, de afsluiters, slangen, de warmte-isolatie en de instrumentatie werd op 860 miljoen frank geraamd.

Voor de berekening van de kostprijs werd aangenomen dat dit bedrag zou worden besteed in vier schijven van 215 miljoen, elk afschrijfbaar over vijf jaar.

De te verwachten loonuitgaven voor de verplaatsing en het onderhoud van de werkinstallaties werden geraamd op :

35 miljoen frank voor een benuttingsgraad van 7.000 h/jaar voor de centrale
en op

28 miljoen frank voor een benuttingsgraad van 4.500 h/jaar voor de centrale.

Rekening houdend met deze gegevens is de bijdrage van de kostprijs voor de leidingen en de arbeidskrachten op het werk in de prijs van de gewonnen thermische energie als volgt vastgesteld (tabel XV).

Tableau XV. — Incidence du coût des canalisations et de la main-d'œuvre de chantiers sur le prix de la gigacalorie
Tabel XV. — Weerslag van de kostprijs voor de leidingen en de arbeidskrachten op het werk op de prijs van de gigacalorie

Eléments de Prix de revient	Taux d'utilisation de 7.000 h/an <i>Benuttingsgraad van 7.000 h/jaar</i>		Taux d'utilisation de 4.500 h/an <i>Benuttingsgraad van 4.500 h/jaar</i>		<i>Kostprijs- elementen</i>
	Valeurs annuelles <i>Jaarlijkse waarden</i>	Incidence par Gcalorie extraite <i>Weerslag per ge- wonnen Gcalorie</i>	Valeurs annuelles <i>Jaarlijkse waarden</i>	Incidence par Gcalorie extraite <i>Weerslag per ge- wonnen Gcalorie</i>	
Intérêts et Amortissements	(10 ⁶ FB)	(FB/Gcal)	(10 ⁶ FB)	(FB/Gcal)	<i>Interesten en Afschrijvingen</i>
Canalisations	55,275	18,57	55,275	28,87	<i>Leidingen</i>
Main-d'œuvre	35,000	11,76	28,000	14,63	<i>Arbeidskrachten</i>
Total	90,275	30,33	83,275	43,50	<i>Totaal</i>

4.5. Coût de la gigacalorie extraite

En additionnant les valeurs partielles obtenues aux trois paragraphes précédents et en adoptant pour l'incidence du prix du terrain une valeur constante de 2,08 F/Gcal, on parvient finalement aux tableaux ci-après qui définissent la variation du coût de la gigacalorie en fonction des différents paramètres :

4.5. Kostprijs van de gewonnen gigacalorie

Door opstelling van de gedeeltelijke waarden uit de vorige drie paragrafen en door aanneming van een constante waarde van 2,08 F/Gcal voor de weerslag van de grondprijs, bereikt men uiteindelijk de volgende tabellen die de schommeling van de kostprijs van de gigacalorie bepalen volgens de verschillende parameters :

Taux d'utilisation de la centrale.
Variante adoptée pour la disposition des sondages.
Profondeur.
Conditions de gisement.
Volume moyen de charbon gazéifié par sondage.

L'ensemble de ces valeurs sont reportées en graphiques aux figures 6, 7, 8 et 9.

— Benuttingsgraad van de centrale.
— Aangenomen variante voor de schikking van de boringen.
— Diepte.
— Afzettingsomstandigheden.
— Gemiddeld volume vergaste steenkool per boring.

Al deze waarden zijn voorgesteld in diagrammen op de figuren 6, 7, 8 en 9.

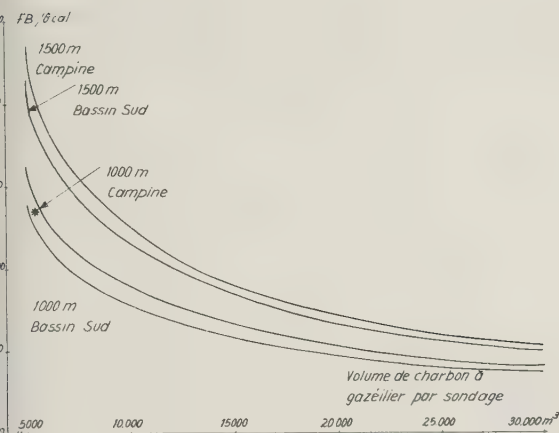


Fig. 6. — Prix de revient de la gigacalorie — 7.000 h/an. Variante 1

Valeur tirée de l'analyse du N.C.B. pour :
1.000 m de profondeur
maille du réseau de sondage 30 m x 30 m
puissance exploitée : 6 mètres

Kostprijs van de gigacalorie — 7.000 h/jaar. Variante 1
Lit de analyse van de N.C.B. getrokken waarde voor :
1.000 m diepte
maas van het boringnet 30 m x 30 m
ontgonnen dikte : 6 m

Campine — Kempen
Bassin Sud — Zuiderbeken

Volume de charbon à gazéifier par sondage
boring te vergassen steenkoolvolume

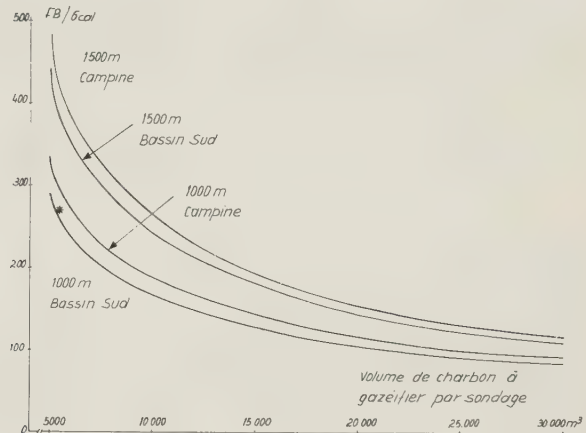
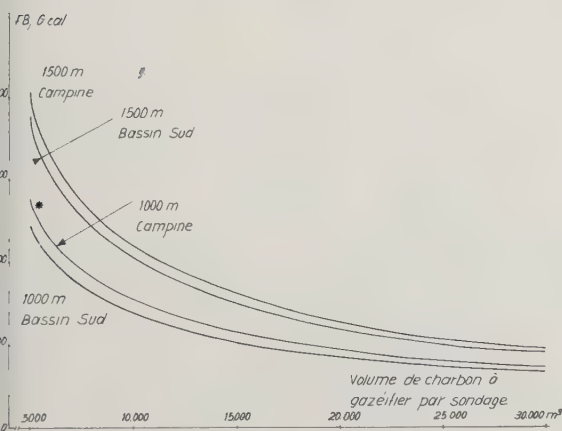


Fig. 8. — Prix de revient de la gigacalorie — 4.500 h/an. Variante 1

Kostprijs van de gigacalorie — 4.500 h/jaar. Variante 1

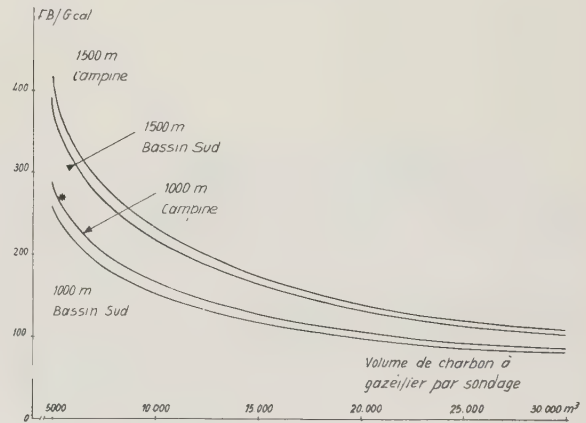


Fig. 9. — Prix de revient de la gigacalorie — 4.500 h/an. Variante 2

Kostprijs van de gigacalorie — 4.500 h/jaar. Variante 2

Fig. 7. — Prix de revient de la gigacalorie — 7.000 h/an. Variante 2

Kostprijs van de gigacalorie — 7.000 h/jaar. Variante 2

5. PRIX DE REVIENT DU kWh

5.1. Expression du prix de revient du kWh

Le prix de revient du kWh est lié au coût de la gigacalorie extraite (P) par une relation linéaire de la forme :

$$\text{Prix du kWh} = A + BP \quad (1)$$

Compte tenu du rendement de 34,9 % défini au chapitre 2.11., la livraison d'un kWh exige l'extraction de 2.465 kcal, ce qui donne au coefficient B une valeur numérique de $2.465 \cdot 10^{-6}$.

5.2. Frais fixes

Intérêts et amortissements

L'investissement « centrale » a été estimé à 11.000 FB par kW installé, frais indirects compris. Pour une puissance installée de 183.000 kW, ceci donne :

$$183.000 \times 11.000 = 2.013.000.000 \text{ FB}$$

Compte tenu d'un taux d'intérêt de 9 % et d'une période d'amortissement de 20 ans, la charge annuelle s'établit à 10,955 % du coût initial, soit :

$$220.525.000 \text{ FB/an.}$$

Autres frais fixes

L'ensemble des autres frais fixes : main-d'œuvre, conduite, grosses réparations, assurances et frais généraux, a été évalué, par comparaison avec une centrale thermique à charbon pulvérisé, à 150.000.000 FB/an.

Sur ces bases, l'incidence des frais fixes sur le coût du kWh distribué s'établit aux valeurs ci-après :

Pour un taux d'utilisation de 7.000 h par an :

$$A = \frac{370.525.000}{7.000 \times 170.000} = 0,311 \text{ FB/kWh}$$

Pour un taux d'utilisation de 4.500 h par an :

$$A = \frac{370.525.000}{4.500 \times 170.000} = 0,484 \text{ FB/kWh}$$

5. KOSTPRIJS VAN HET kWh

5.1. Uitdrukking van de kostprijs van het kWh

De kostprijs van het kWh is gebonden aan de kostprijs van de gewonnen gigacalorie (P) door een lineaire betrekking van de vorm :

$$\text{Prijs van het kWh} = A + BP$$

Rekening houdend met het in hoofdstuk 2-11 bepaalde rendement van 34,9 %, vergt de levering van een kWh de winning van 2.465 kcal, waardoor de coëfficiënt B een numerieke waarde van $2.465 \cdot 10^{-6}$ krijgt.

5.2. Vaste kosten

Interesten en afschrijvingen

De investering « centrale » werd op 11.000 geraamd per geïnstalleerd kW, indirecte kosten begrepen. Voor een geïnstalleerd vermogen van 183.000 kW geeft dit :

$$183.000 \times 11.000 = 2.013.000.000 \text{ BF}$$

Rekening houdend met een interestvoet van 9,55 % en met een afschrijvingsperiode van 20 jaar bedraagt de jaarlijkse last, tegen 10,955 % van de aanvankelijke kostprijs :

$$220.525.000 \text{ BF/jaar}$$

Andere vaste kosten

Het geheel van de andere vaste kosten : arbeidskrachten, leiding, grote herstellingen, verzekeringen en algemene kosten, werd 150.000.000 BF/jaar geraamd bij vergelijking met een thermische centrale met poederkolen.

Op basis hiervan stemt de weerslag van de vaste kosten op de kostprijs van het bedeelde kWh overeen met de volgende waarden :

Voor een benuttingsgraad van 7.000 h per jaar :

$$A = \frac{370.525.000}{7.000 \times 170.000} = 0,311 \text{ BF/kWh}$$

Voor een benuttingsgraad van 4.500 h per jaar :

$$A = \frac{370.525.000}{4.500 \times 170.000} = 0,484 \text{ BF/kWh}$$

n reportant ces valeurs dans la formule (1), on ent pour prix du kWh les valeurs portées en grammes à la figure 10.

5.3. Variation du prix du kWh en fonction des différents paramètres d'exploitation

our exprimer le prix de revient du kWh, en fonc- des différents paramètres qui influent sur le prix a gigacalorie extraite, les valeurs numériques qui rent au tableau XVI seront transformées en prix kWh en appliquant la formule (1).

es résultats de cette transposition sont détaillés au eau XVII et reportés en diagrammes aux figures 12, 13 et 14.

Door deze waarden over te brengen in de formule (1), verkrijgt men voor de prijs van het kWh de waarden die op figuur 10 in diagram werden gebracht.

5.3. Verandering van de prijs van het kWh naar gelang van de verschillende exploitatieparameters

Om de kostprijs van het kWh uit te drukken naar gelang van de verschillende parameters die de prijs van de gewonnen gigacalorie beïnvloeden, zullen de numerieke waarden voorkomende in tabel XVI worden omgezet in de prijs van het kWh door toepassing van de formule (1).

De resultaten van deze omzetting komen in detail voor in tabel XVII en zijn in diagram gebracht op de figuren 11, 12, 13 en 14.

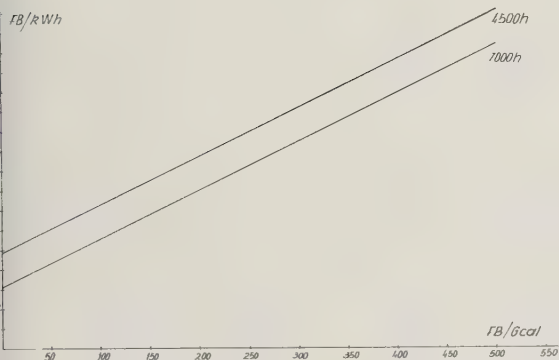


Fig. 10. — Prix du kWh en fonction de la Gcal extraite
Prijs van het kWh naar gelang van de gewonnen Gcal

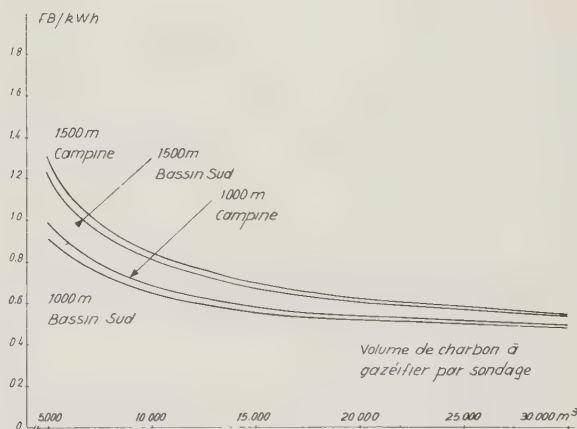
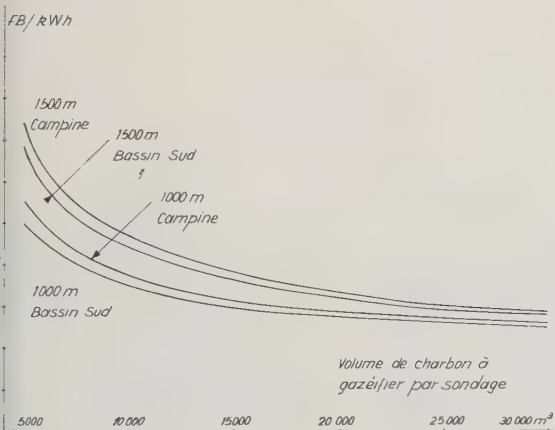


Fig. 12. — Prix de revient du kWh — 7.000 h/an. Variante 2
Kostprijs van het kWh — 7.000 h/jaar. Variante 2



11. — Prix de revient du kWh — 7.000 h/an. Variante 1.
Kostprijs van het kWh — 7.000 h/jaar. Variante 1

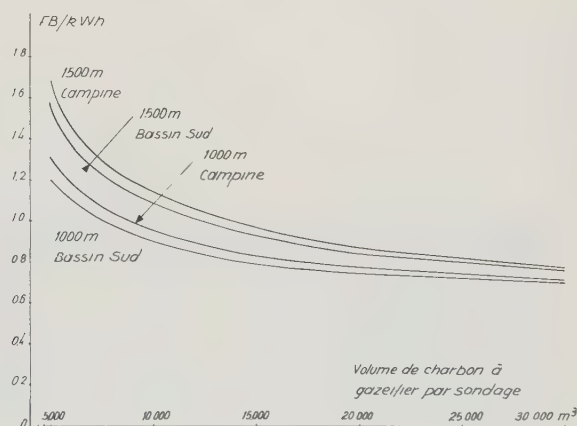


Fig. 13. — Prix de revient du kWh — 4.500 h/an. Variante 1
Kostprijs van het kWh — 4.500 h/jaar. Variante 1

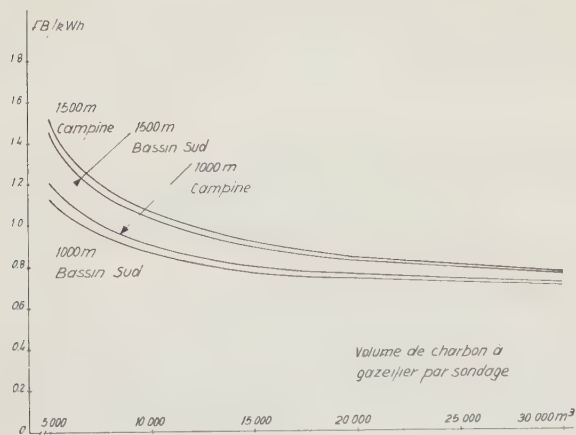


Fig. 14. — Prix de revient du kWh — 4.500 h/an. Variante 1
Kostprijs van het kWh — 4.500 h/jaar. Variante 2

Tableau XVI. — Coût de la gigacalorie extraite
Tabel XVI. — Kostprijs van de gewonnen gigacalorie

1. Taux d'utilisation de 7.000 h/an — Variante 1
1. Benuttingsgraad van 7.000 h/jaar — Variante 1

Profondeur et conditions de gisement	Coût de la gigacalorie extraite (FB / Gcal) Kostprijs van de gewonnen gigacalorie (BF / Gcal)				Diepte- en afzettingssomstandigheden
1.000 m (Bassin Sud)	277,2	154,8	93,6	73,2	1.000 m (Zuiderbekken)
1.000 m (Campine)	321,5	176,9	104,7	80,6	1.000 m (Kempen)
1.500 m (Bassin Sud)	428,9	230,6	131,5	98,5	1.500 m (Zuiderbekken)
1.500 m (Campine)	471,3	251,9	142,1	105,6	1.500 m (Kempen)
Volume de charbon gazéifié par sondage (m³)	5.000	10.000	20.000	30.000	Volume vergaste steenkool per boring (m³)

2. Taux d'utilisation de 7.000 h/an — Variante 2
2. Benuttingsgraad van 7.000 h/jaar — Variante 2

Profondeur et conditions de gisement	Coût de la gigacalorie extraite (FB / Gcal) Kostprijs van de gewonnen gigacalorie (BF / Gcal)				Diepte- en afzettingssomstandigheden
1.000 m (Bassin Sud)	245,2	138,8	85,6	67,9	1.000 m (Zuiderbekken)
1.000 m (Campine)	277,0	154,7	93,6	73,2	1.000 m (Kempen)
1.500 m (Bassin Sud)	378,1	205,2	118,8	90,0	1.500 m (Zuiderbekken)
1.500 m (Campine)	405,2	218,8	125,6	94,5	1.500 m (Kempen)
Volume de charbon gazéifié par sondage (m³)	5.000	10.000	20.000	30.000	Volume vergaste steenkool per boring (m³)

3. Taux d'utilisation de 4.500 h/an — Variante 1
 3. Benuttingsgraad van 4.500 h/jaar — Variante 1

Profondeur et conditions de gisement	Coût de la gigacalorie extraite (FB / Gcal) <i>Kostprijs van de gewonnen gigacalorie (BF / Gcal)</i>				<i>Diepte- en afzettingsomstandigheden</i>
1.000 m (Bassin Sud)	290,4	168,0	106,8	86,4	1.000 m (Zuiderbekken)
1.000 m (Campine)	334,7	190,1	117,9	93,8	1.000 m (Kempen)
1.500 m (Bassin Sud)	442,1	243,8	144,7	111,7	1.500 m (Zuiderbekken)
1.500 m (Campine)	484,5	265,1	155,3	118,8	1.500 m (Kempen)
Volume de charbon gazéifié par sondage (m ³)	5.000	10.000	20.000	30.000	<i>Volume vergaste steenkool per boring (m³)</i>

4. Taux d'utilisation de 4.500 h/an — Variante 2
 4. Benuttingsgraad van 4.500 h/jaar — Variante 2

Profondeur et conditions de gisement	Coût de la gigacalorie extraite (FB / Gcal) <i>Kostprijs van de gewonnen gigacalorie (BF / Gcal)</i>				<i>Diepte- en afzettingsomstandigheden</i>
1.000 m (Bassin Sud)	258,4	152,0	98,8	81,1	1.000 m (Zuiderbekken)
1.000 m (Campine)	290,2	167,9	106,8	86,4	1.000 m (Kempen)
1.500 m (Bassin Sud)	391,3	218,4	132,0	103,2	1.500 m (Zuiderbekken)
1.500 m (Campine)	418,4	232,0	138,8	107,7	1.500 m (Kempen)
Volume de charbon gazéifié par sondage (m ³)	5.000	10.000	20.000	30.000	<i>Volume vergaste steenkool per boring (m³)</i>

Tableau XVII. — Prix de revient du kWh
Tabel XVII. — Kostprijs van het kWh

1. Taux d'utilisation de 7.000 h/an — Variante 1
 1. Benuttingsgraad van 7.000 h/jaar — Variante 1

Profondeur et conditions de gisement	Prix de revient du kWh (FB / kWh) <i>Kostprijs van het kWh (BF / kWh)</i>				<i>Diepte- en afzettingsomstandigheden</i>
1.000 m (Bassin Sud)	0,994	0,693	0,542	0,491	1.000 m (Zuiderbekken)
1.000 m (Campine)	1,103	0,747	0,569	0,510	1.000 m (Kempen)
1.500 m (Bassin Sud)	1,368	0,879	0,635	0,554	1.500 m (Zuiderbekken)
1.500 m (Campine)	1,473	0,932	0,661	0,571	1.500 m (Kempen)
Volume de charbon gazéifié par sondage (m ³)	5.000	10.000	20.000	30.000	<i>Volume vergaste steenkool per boring (m³)</i>

2. Taux d'utilisation de 7.000 h/an — Variante 2
 2. Benuttingsgraad van 7.000 h/jaar — Variante 2

Profondeur et conditions de gisement	Prix de revient du kWh (FB/kWh) Kostprijs van het kWh (BF/kWh)				Diepte- en afzettingsomstandigheden
1.000 m (Bassin Sud)	0,915	0,653	0,522	0,478	1.000 m (Zuiderbekken)
1.000 m (Campine)	0,994	0,692	0,542	0,491	1.000 m (Kempen)
1.500 m (Bassin Sud)	1,243	0,817	0,604	0,533	1.500 m (Zuiderbekken)
1.500 m (Campine)	1,310	0,850	0,621	0,544	1.500 m (Kempen)
Volume de charbon gazéifié par sondage (m ³)	5.000	10.000	20.000	30.000	Volume vergaste steenkool per boring (m ³)

3. Taux d'utilisation de 4.500 h/an — Variante 1
 3. Benuttingsgraad van 4.500 h/jaar — Variante 1

Profondeur et conditions de gisement	Prix de revient du kWh (FB/kWh) Kostprijs van het kWh (BF/kWh)				Diepte- en afzettingsomstandigheden
1.000 m (Bassin Sud)	1,200	0,898	0,747	0,697	1.000 m (Zuiderbekken)
1.000 m (Campine)	1,309	0,953	0,775	0,715	1.000 m (Kempen)
1.500 m (Bassin Sud)	1,574	1,085	0,841	0,759	1.500 m (Zuiderbekken)
1.500 m (Campine)	1,678	1,137	0,867	0,777	1.500 m (Kempen)
Volume de charbon gazéifié par sondage (m ³)	5.000	10.000	20.000	30.000	Volume vergaste steenkool per boring (m ³)

4. Taux d'utilisation de 4.500 h/an — Variante 2
 4. Benuttingsgraad van 4.500 h/jaar — Variante 2

Profondeur et conditions de gisement	Prix de revient du kWh (FB/kWh) Kostprijs van het kWh (BF/kWh)				Diepte- en afzettingsomstandigheden
1.000 m (Bassin Sud)	1,121	0,859	0,727	0,684	1.000 m (Zuiderbekken)
1.000 m (Campine)	1,199	0,898	0,747	0,697	1.000 m (Kempen)
1.500 m (Bassin Sud)	1,449	1,022	0,809	0,738	1.500 m (Zuiderbekken)
1.500 m (Campine)	1,515	1,056	0,826	0,749	1.500 m (Kempen)
Volume de charbon gazéifié par sondage (m ³)	5.000	10.000	20.000	30.000	Volume vergaste steenkool per boring (m ³)

6. CONCLUSIONS

1. L'étude économique basée sur les prix d'août 1975 est effectuée dans l'hypothèse d'une réussite technique des expériences à entreprendre « in situ ».

Ces expériences doivent confirmer :

- la possibilité de réaliser un gazogène souterrain fonctionnant sous haute pression ;
- la possibilité de réaliser des linkings entre sondages profonds distants de 70 à 80 m ;
- la possibilité d'atteindre un rendement de gazéification et d'utilisation du gisement suffisamment élevé à partir de sondages assez largement espacés, grâce aux effets favorables de la variation de pression et des hautes pressions de gazéification.

2. L'étude confirme que le coût des sondages constitue l'élément prépondérant du prix de revient de la gazéification souterraine à grande profondeur. Le coût dépend de la profondeur du gisement, de l'épaisseur des morts-terrains (Campine et Bassin du Nord) et du diamètre de forage.

Compte tenu de l'encombrement des dispositifs de refroidissement prévus à l'intérieur des sondages de récupération du gaz, le diamètre extérieur de ces sondages a été fixé à 8 5/8" (219 mm), ce qui permet d'assurer une production d'énergie électrique de 5 MW par sondage, pour une pression d'injection d'air n'excédant pas 40 bars.

En s'inspirant des techniques pratiquées en U.S.S.R., une spécialisation des sondages a été envisagée, le nombre de sondages utilisés pour la récupération des gaz étant limité à 1 sur 2 (variante 1) ou à 1 sur 3 (variante 2). Cette spécialisation des sondages conduit à une importante économie de forage, les sondages d'injection d'air pouvant être réalisés à plus grand diamètre.

Au surplus, l'incidence du coût des sondages sur le prix de la gigacalorie extraite est inversement proportionnelle au volume de charbon gazéifié.

Si le volume de charbon gazéifié par sondage atteint 7.000 m³, le coût de la gigacalorie extraite à 1000 m de profondeur pourrait se situer dans une gamme comprise entre 180 et 250 FB. Ces valeurs se comparent favorablement aux prix actuels des charbons importés et restent très en deçà du prix de revient des charbons belges.

3. Le rendement et le coût de la conversion de la chaleur en électricité ont été évalués dans le cas d'une installation de gazéification souterraine intégrée à une centrale à cycles combinés gaz-vapeur, d'une puissance utile de 170 MW.

6. CONCLUSIES

1. De economische studie gebaseerd op de prijzen van augustus 1975 is uitgevoerd in de hypothese dat de « in situ » te ondernemen proefnemingen technisch slagen.

Deze proefnemingen moeten een bevestiging geven van :

- de mogelijkheid om een ondergrondse gas-generator tot stand te brengen die onder hoge druk werkt;
- de mogelijkheid om linkings uit te voeren tussen diepe boringen op 70 tot 80 m afstand van mekaar;
- de mogelijkheid om een voldoende hoog vergassings- en benuttingsrendement van de afzetting te bereiken vanuit de op nogal brede afstand van mekaar verwijderde boringen, dank zij de gunstige invloeden van de drukverandering en van de hoge vergassingsdrukken.

2. De studie bevestigt dat de kostprijs van de boringen het doorslaggevende element vormt van de kostprijs van de ondergrondse vergassing op grote diepte. Deze prijs is afhankelijk van de diepte van de afzetting, van de dikte van de deklagen (Kempens en Zuiderbekken) en van de boringdiameter.

Rekening houdend met de omvang van de koelers binnen de gasopvangboringen, werd de buitendiameter van deze boringen vastgesteld op 8 5/8" (219 mm), waardoor per boring elektrische energie van 5 MW kan worden geproduceerd voor een luchtinjectiedruk kleiner dan 40 bar.

In navolging van de in de U.S.S.R. toegepaste technieken werd een specialisatie van de boringen gepland, daar het aantal boringen voor de gasopvang beperkt is tot 1 op 2 (variante 1) of tot 1 op 3 (variante 2). Deze specialisatie van de boringen leidt tot een belangrijke boorsparing aangezien de luchtinjectieboringen een kleinere diameter mogen hebben.

Bovendien is de weerslag van de boringenprijs op de prijs van de gewonnen gigacalorie omgekeerd evenredig met het volume vergaste steenkool.

Indien het volume vergaste steenkool 7.000 m³ bereikt per boring, kan de prijs van de op 1.000 m diepte gewonnen gigacalorie liggen in een gamma begrepen tussen 180 en 250 BF. Deze waarden staan in gunstige vergelijking met de huidige prijzen van de ingevoerde steenkolen en blijven onder de kostprijs van de Belgische steenkolen.

3. Het rendement en de omzettingprijs voor de warmte in elektriciteit werden geraamd in het geval van een ondergrondse vergassingsinstallatie gekoppeld aan een centrale met gecombineerde gas/stoomkringlopen met een nuttig vermogen van 170 MW.

Le prix de revient du kWh fourni au réseau est essentiellement fonction de deux paramètres : le taux d'utilisation de la centrale et le prix de la gigacalorie extraite.

Si le prix de la gigacalorie peut être maintenu suffisamment bas, il est permis d'envisager d'utiliser la centrale de gazéification comme centrale de base, avec un taux d'utilisation de l'ordre de 7.000 h/an.

Dans les conditions les plus favorables (variante 2), le volume moyen de charbon à exploiter, dans le Bassin Sud, pour réaliser un prix de revient de 65 centimes/kWh devrait atteindre :

- 10.000 m³ par sondage pour une profondeur de 1.000 m, et
- 16.000 m³ par sondage pour une profondeur de 1.500 m.

En Campine, le même résultat pourrait être obtenu avec des volumes de :

- 12.000 m³ par sondage pour une profondeur de 1.000 m, et
- 18.000 m³ par sondage pour une profondeur de 1.500 m.

Dans les mêmes conditions de volume de charbon gazéifié et avec un taux d'utilisation de 4.500 h/an, le prix de revient du kWh passerait de 65 à 82 centimes et se situerait encore dans la zone de prix de revient des centrales thermiques classiques.

4. Sur la base des essais de « linking » actuellement en cours en Campine, il semble que l'on puisse envisager de disposer les sondages suivant un réseau carré de 70 à 80 m de côté, ce qui implique la réalisation de 2 sondages par hectare.

Dans ces conditions, des prix de revient de l'ordre de 65 à 70 centimes/kWh devraient être accessibles dans tous les gisements belges, par l'exploitation d'une seule couche de 2 m d'épaisseur à 1.000 m de profondeur.

Cependant, compte tenu de l'épaisseur limitée des couches de nos gisements, il est important de se fixer pour objectif d'exploiter successivement plusieurs couches par un même réseau de sondages.

5. Pour son utilisation dans une centrale à cycles combinés, le gaz doit être épuré à un très haut degré. De ce fait, les effluents rejetés à l'atmosphère sont pratiquement exempts de poussières et de composés sulfurés.

Les problèmes du lavage des gaz et de l'évacuation des eaux usées n'ont pas été examinés de façon détaillée, mais il est permis de penser qu'ils pourront être résolus par les techniques en voie de développement dans les centrales qui procèdent à la gazéification du charbon extrait, dans des gazogènes à haute pression.

De kostprijs van het aan het net geleverde kWh hoofdzakelijk afhankelijk van twee parameters : benuttingsgraad van de centrale en de prijs van gewonnen gigacalorie.

Indien de prijs van de gigacalorie laag genoeg kan worden gehouden, mag het gebruik worden overwogen van een vergassingscentrale als basiscentrale met een benuttingsgraad van zowat 7.000 h/jaar.

In de gunstigste omstandigheden (variante 2) moet in het Zuiderbekken, om een kostprijs van 65 centiemen/kWh te bereiken, het volume te ontginnen steenkool gemiddeld bedragen :

- 10.000 m³ per boring voor een diepte van 1.000 m, en
- 16.000 m³ per boring voor een diepte van 1.500 m.

In de Kempen zou hetzelfde resultaat kunnen worden verkregen met volumes van :

- 12.000 m³ per boring voor een diepte van 1.000 m, en
- 18.000 m³ per boring voor een diepte van 1.500 m.

In dezelfde omstandigheden voor het volume gewonnen steenkool en met een benuttingsgraad van 4.500 h/jaar, zou de kostprijs van het kWh van 65 tot 82 centiemen stijgen en zou nog binnen de kostprijszone vallen van de klassieke thermische centrales.

4. Op grond van de thans in de Kempen aan gang zijnde « linking »-proeven blijkt dat de schakeling van de boringen mag worden gepland volgens een vierkant net van 70 tot 80 meter zijde, waardoor er per hectare 2 boringen worden gemaakt.

In deze omstandigheden zouden kostprijzen van zowat 65 tot 70 centiemen/kWh in alle Belgische afzettingen bereikbaar moeten zijn door ontginnings van een enkele 2 m dikke laag op 1.000 m diepte.

Rekening houdend met de beperkte laagdikte van onze afzettingen is het belangrijk zich de opeenvolgende ontginning ten doel te stellen van verschillende lagen door éénzelfde boringennet.

5. Voor het gebruik van het gas in een centrale met gecombineerde kringlopen moet het in hoogmate worden gezuiverd. Bijgevolg zijn de in de atmosfeer vrijgegeven effluënten nagenoeg vrij van stof en zwavelhoudende verbindingen.

De problemen inzake de gaswassing en de verduistering van het afvalwater werden niet in detail bestudeerd, maar er mag worden aangenomen dat deze kunnen worden opgelost door de in ontwikkeling zijnde technieken in de centrales die gewonnen steenkool vergassen in hogedrukgasgenerators.

6. Les problèmes d'approvisionnement en eau, s d'une exploitation à grande échelle, devront être aminés cas par cas. La perte en eau par évapora- n et par consommation de vapeur dans le proces- s de gazéification souterraine peut être évaluée à 05 m³/s par tranche de 100 MW, soit environ 5 % des besoins d'une centrale thermique classique uipée de réfrigérants atmosphériques produisant la ème puissance. Un prélèvement sensiblement plus portant est nécessaire pour assurer la décon- tration du circuit des réfrigérants, ce débit étant stitué à l'aval de l'installation.

7. L'ensemble de cette étude permet d'envisager ossibilité d'utiliser économiquement l'énergie ex- ite par gazéification souterraine sous pression, en e de la production d'électricité, à condition que le lume de charbon gazéifié par sondage puisse at- ndre les niveaux définis au point 3. La gazéification uterraine offrirait l'avantage de s'adapter à des ré- mes variables de production d'électricité.

8. Sur la base d'un programme expérimental ogressif, on pourrait envisager de mettre en ex- pitation, d'ici 15 ans, deux ou trois sites cor- spondant chacun à une puissance de 170 à 300 W. A ce stade, il ne semble pas se poser de problè- s d'immobilisations de terrains. Un développe- ent plus important, justifié par le souci de réduire la pendance énergétique du pays, impliquerait l'im- mobilisation temporaire d'environ 10 km² de sol pour aque tranche de 1.000 MW. La mise à disposition e ces terrains soulèverait un problème qui devrait re discuté, tant avec les autorités publiques qu'avec s milieux agricoles.

6. De watervoorzieningsproblemen in een ontgin- ning op grote schaal moeten geval per geval worden onderzocht. Het waterverlies door verdamping en stoomverbruik in het ondergronds vergassingspro- cédé kan op 0,05 m³/s worden geraamd per schijf van 100 MW, of ongeveer 75 % van de behoeften van een klassieke thermische centrale voorzien van luchtkoelers met hetzelfde vermogen.

Er moet voor een veel groter debiet worden ge- zorgd om de deconcentratie van de koelersomloop te bewerkstellingen maar dit debiet wordt stroomafwaarts ten opzichte van de installatie her- steld.

7. Door deze ganse studie kan de mogelijkheid worden gepland om de door ondergrondse vergas- sing onder druk gewonnen energie economisch te gebruiken met het oog op de produktie van elektrici- teit, op voorwaarde dat het volume vergaste steen- kool per boring de in punt 3 bepaalde niveaus kan bereiken. De ondergrondse vergassing biedt het voordeel om zich te kunnen aanpassen aan de varia- bele regimes in de produktie van elektriciteit.

8. Op grond van een progressief proefne- mingsprogramma zou binnen 15 jaar de ontginning kunnen worden gepland van twee of drie win- ningsplaatsen die elk een vermogen van 170 tot 300 MW hebben. In dit stadium blijken zich geen proble- men inzake grondimmobilisatie voor te doen. Een ruimere ontwikkeling, verantwoord door het streven naar de beperking van de energie-afhankelijkheid van ons land, zou de tijdelijke immobilisatie impliceren van ongeveer 10 km² grond voor elke schijf van 1.000 MW. De terbeschikkingstelling van deze gronden zal een probleem doen oprijzen dat zowel met de openbare overheden als met de landbouwmi- lieus moet worden besproken.

SOCIÉTÉ DE L'INDUSTRIE MINÉRALE

CONGRÈS ANNUEL 1977 — BIARRITZ, 10-14 MAI

PROGRAMME PROVISOIRE

JOURNÉES TECHNIQUES

SECTION MINE
Président : F. Pot

Mardi 10 mai
(après-midi)
section
Minéralurgie seule

Mercredi 11 mai
et
Jeudi 12 mai
(matinée)
(pour les 2 sections)

Evolution et limites de la mécanisation dans les chantiers du fond et du jour

- *M. Roussel (Compagnie générale des Matières nucléaires)* : Aspects de la mécanisation dans les exploitations souterraines de Cogema. Mécanisation du creusement des galeries. Mécanisation des chantiers.
- *Imétal + B.R.G.M.* : La mécanisation et ses conséquences. Cas particulier d'une mine de Bolivie.
- *J. Choisel (Samifer)* : Abattage à l'explosif et abattage mécanique dans les mines de fer de Lorraine.
- *P. Sinou et J.F. Raffoux (Mines de fer et Charbonnages de France)* : Récents progrès du boulonnage.
- *M. Bodu (Mines de Potasse d'Alsace)* : Evolution de la mécanisation dans les chantiers d'abattage aux M.D.P.A. Examen d'un cas particulier.
- *R. Schweitzer (Charbonnages de France)* : Revue de l'évolution du matériel de mine de construction française.
- *M. Jacometti (Minatome)* : L'outil informatique dans l'établissement d'avant-projets de mines d'uranium. Examen d'un cas concret.
- *Charbonnages de France* : Exposé sur la mécanisation des longues tailles. Exemples des Houillères du Bassin de Lorraine et des Houillères de Provence.
- *R. Cordel (Electricité de France)* : Chantiers de creusement traditionnels et chantiers avec tunneliers dans la galerie sous Belledonne (Isère).
- *G. de la Rupelle (Ciments Lafarge France)* : Choix des engins mobiles de chargement et de transport en carrières de cimenterie.
- *P. Laneyrie (Comilog)* : Monographie d'une exploitation de manganèse en Afrique.
- *Unicem* : Monographie d'une carrière moderne.

Présence de stands d'exposition (constructeurs et bureaux d'ingénierie)

Déjeuner officiel

ASSEMBLÉE GÉNÉRALE

Président : R. Cheradame

Jeudi 12 mai
(après-midi)

Assemblée générale de la Société.
Conférences sur l'aménagement de la Côte d'Aquitaine.

soirée

Nuit basque à l'hostellerie du château de Brindos.

Vendredi
13 mai

Visites techniques et touristiques : installations minières en France et en Espagne, gisements d'hydrocarbures, métallurgie, mécanique, thermalisme, le Pays Basque, le littoral.

Samedi 14 mai

Journée de détente, à la découverte du parc naturel régional des Landes de Gascogne (écomusée de Marquèze)

Pour les personnes associées : programme spécial de visites les 11 et 12 mai : Pays Basque, ville de Bayonne

Le programme définitif et les formules d'inscription seront envoyés aux membres de notre société dans la deuxième quinzaine de mai

Corrélation entre la fragmentation électronique et la décomposition thermique du toluène et de quelques phénols

BRAEKMAN-DANHEUX* et NGUYEN CU QUYEN**

RESUME

Afin de déterminer si la nature des principaux fragments obtenus en spectrométrie de masse permettrait prévoir les produits primaires de pyrolyse thermique de certains composés, on a comparé, pour le toluène et quelques phénols, la fragmentation électronique et la décomposition thermique. On a pu montrer que, pour les phénols étudiés, les deux processus conduisent à des composés identiques; par contre, pour le toluène, la corrélation n'est pas directe et il faut faire appel à des intermédiaires dont la structure n'apparaît qu'à toujours à première vue dans les produits de pyrolyse.

SAMENVATTING

Om te bepalen of uit de aard van de voornaamste door massaspectrometrie verkregen fragmenten de primaire produkten van de thermische pyrolyse van sommige verbindingen konden worden opgemaakt, werd voor toluen en enkele fenolen de elektronische fragmentatie en de thermische ontleding vergeleken. Er kon worden aangetoond dat voor de bestudeerde fenolen de twee processen leiden tot identieke verbindingen; voor toluen daarentegen bestaat er geen rechtstreekse correlatie en moet er een beroep worden gedaan op hulpmiddelen waarvan de structuur niet altijd op het eerste gezicht tot uiting komt in de pyrolyseprodukten.

ZUSAMMENFASSUNG

Die elektronische Fragmentation sowie die thermische Zersetzung wurden beim Toluol bzw. bei einigen Phenolverbindungen verglichen, um zu ermitteln, ob die Beschaffenheit der durch Massenspektrometrie erhaltenen Hauptfragmente Rückschlüsse auf die Primärerzeugnisse der Pyrolyse dieser Verbindungen zulassen würde. Was nun die untersuchten Phenolverbindungen anbelangt, so konnte der Beweis dafür erbracht werden, daß beide Prozesse zu gleichen Verbindungen führen. Im Falle des Toluols hingegen gibt es keine unmittelbare Wechselbeziehung, und dabei ist man auf Vermittlungsprodukte angewiesen, deren Struktur nicht immer in den Produkten der Pyrolyse einwandfrei zum Vorschein kommt.

SUMMARY

In order to establish whether the nature of the principal fragments obtained by mass spectrometry allows of forecasting the primary products of thermal pyrolysis of some compounds, electronic fragmentation and thermal decomposition were carried out, for toluene and some phenols. It was demonstrated that the two processes yield identical compounds for the studied phenols. On the other hand, for toluene there is no direct correlation; it is therefore necessary to resort to intermediate substances whose structure is not always immediately evident in the pyrolysis products.

* Docteur en Sciences Chimiques - Chef de Travaux ass. à l'Université Libre de Bruxelles, L.B.

** Licencié en Sciences Chimiques.

Université Libre de Bruxelles, Faculté des Sciences Appliquées, Avenue F.D. Roosevelt 50, B-1050 Bruxelles.

1. INTRODUCTION

Le craquage thermique à pression atmosphérique, sous haute pression ou en pyrolyse instantanée, des phénols et des hydrocarbures aromatiques, a été largement étudié dans le cadre des recherches que nous effectuons sur la valorisation des goudrons provenant de la cokéfaction du charbon.

Un travail important sur la pyrolyse à pression atmosphérique des phénols marqués en position spécifique au carbone 14 et au tritium a permis de clarifier les mécanismes principaux de dégradation thermique de ces produits (1).

La littérature renseigne différentes tentatives, notamment celles de Lossing et coll. (2) et De Jongh (3), de comparaison entre les dégradations thermiques et la fragmentation en spectrométrie de masse. Les résultats de ces études, assez divergents, nous ont conduits à étudier si, pour les produits dont nous connaissons bien le craquage thermique, il y avait possibilité de comparer les deux modes de fragmentation. Notre propos n'est pas ici d'étudier les fondements théoriques de ces deux types de fragmentation mais de voir si, pour le type de composés étudiés, la nature des principaux fragments obtenus en spectrométrie de masse permettrait de prédire la nature des principaux produits obtenus en pyrolyse.

2. RESULTATS ET DISCUSSIONS

2.1. Toluène

Les produits principaux de la pyrolyse du toluène à pression atmosphérique (4, 5) sont le benzène, l'hydrogène et le méthane. Comme produits mineurs on trouve du cyclopentadiène, du méthycyclopentadiène, du dibenzyle, du diphenyle et du naphthalène.

Le spectre de masse du toluène et la structure probable des principaux ions fragments sont schématisés à la figure 1.

Si nous comparons les principaux ions fragments du spectre de masse aux produits de craquage du toluène, il n'y a pas à première vue d'analogie directe. En effet, à cause de la formation de l'ion tropyllium, il n'y a pas perte d'ion méthyle en spectrométrie de masse alors que les produits principaux de craquage thermique sont le benzène et le méthane. Cependant, des travaux (6) sur la pyrolyse du toluène marqué au ^{14}C sur le groupement méthyle ont montré qu'il y avait, dans certaines conditions, équivalence de tous les atomes de carbone. Les auteurs proposent un radical cyclique en C_7 intermédiaire. Par contre, la pyrolyse du toluène en présence de vapeurs de mercure (7, 8) fournit du dibenzylmercure apportant ainsi la preuve de l'existence du radical benzyle. On peut

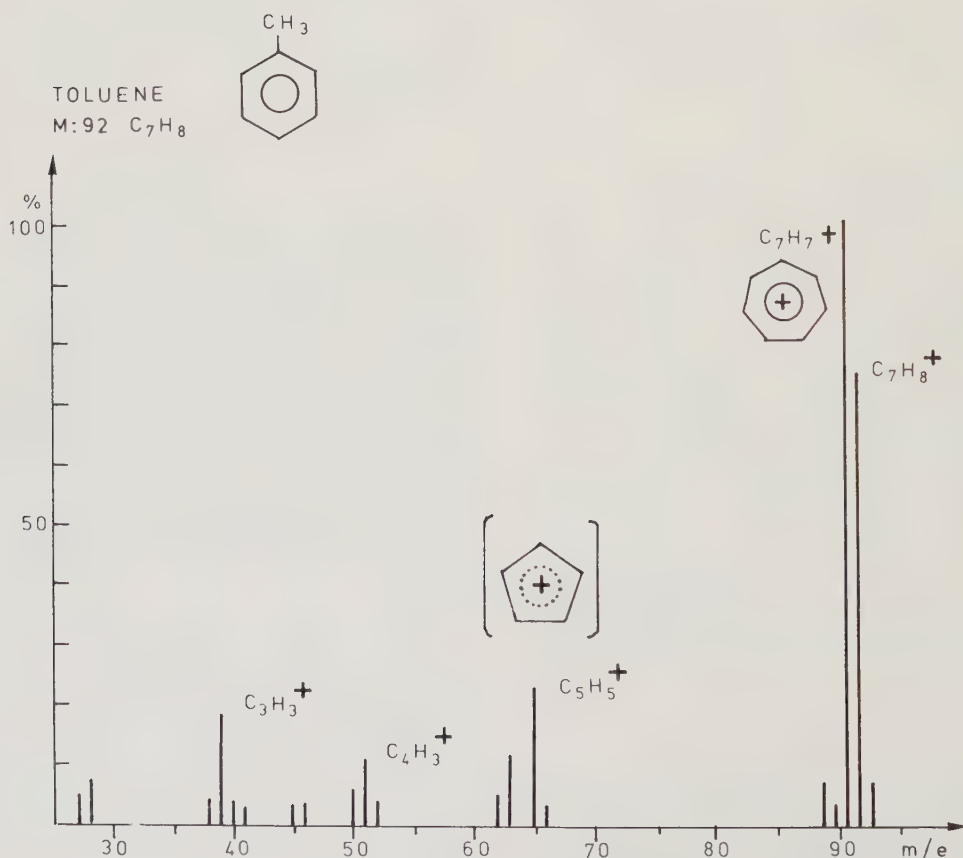


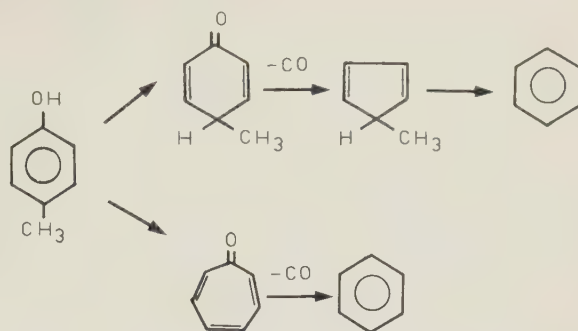
Fig. 1. — Spectre de masse du toluène.

On peut dire que, dans ce cas, tant en spectrométrie de masse qu'en pyrolyse, on forme un fragment en C_7H_7 dont la structure cyclique a été prouvée en spectroscopie de masse, mais dont la nature dépend des conditions expérimentales dans le cas de la pyrolyse.

2.2. Phénols

Les principaux produits primaires de la pyrolyse du phénol (1, 4) sont le benzène, le cyclopentadiène et le monoxyde de carbone. Le craquage du phénol marqué au ^{14}C (1) en différentes positions a montré que le monoxyde de carbone provient du carbone porteur de la fonction hydroxyle. Le benzène provient en partie de la déshydroxylation directe du phénol avec élimination d'eau et en partie du craquage ultérieur du cyclopentadiène (9).

Pour les crésols on a montré (1) que le phénol formé provient de la déméthylation directe et le toluène d'une déshydroxylation. La formation du benzène est liée principalement à l'élimination du monoxyde de carbone qui s'effectue, soit par passage en une structure cyclique en C_7 , soit par l'intermédiaire du méthylcyclopentadiène.



Il est difficile de trancher en faveur de l'un ou l'autre de ces mécanismes qui semblent simultanés.

Les produits de craquage des xylénols sont essentiellement les crésols, le phénol, le toluène, les xylènes et le benzène. Spielmann (9) a montré que les composés aromatiques non phénoliques proviennent en partie des dérivés cyclopentadiéniques.

On peut donc schématiser globalement le processus de craquage à pression atmosphérique des crésols et des xylénols par deux types de transformation de la molécule de départ :

a) perte de substituants (déshydroxylation, déméthylation);

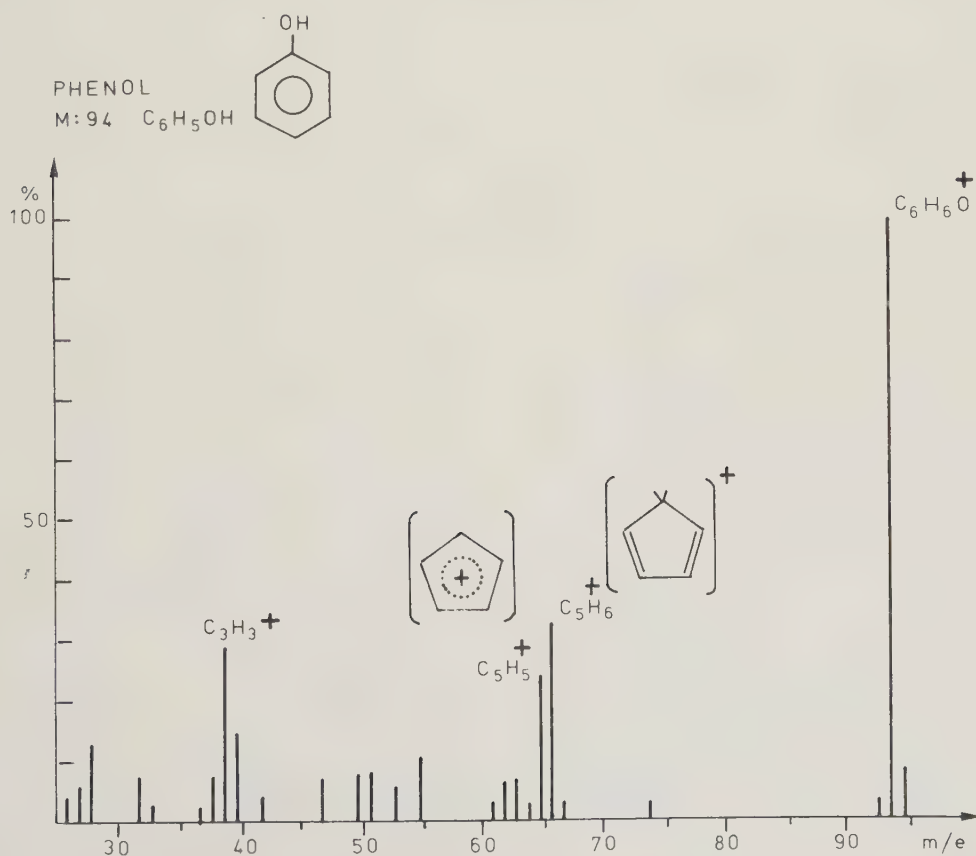


Fig. 2. — Spectre de masse du phénol.

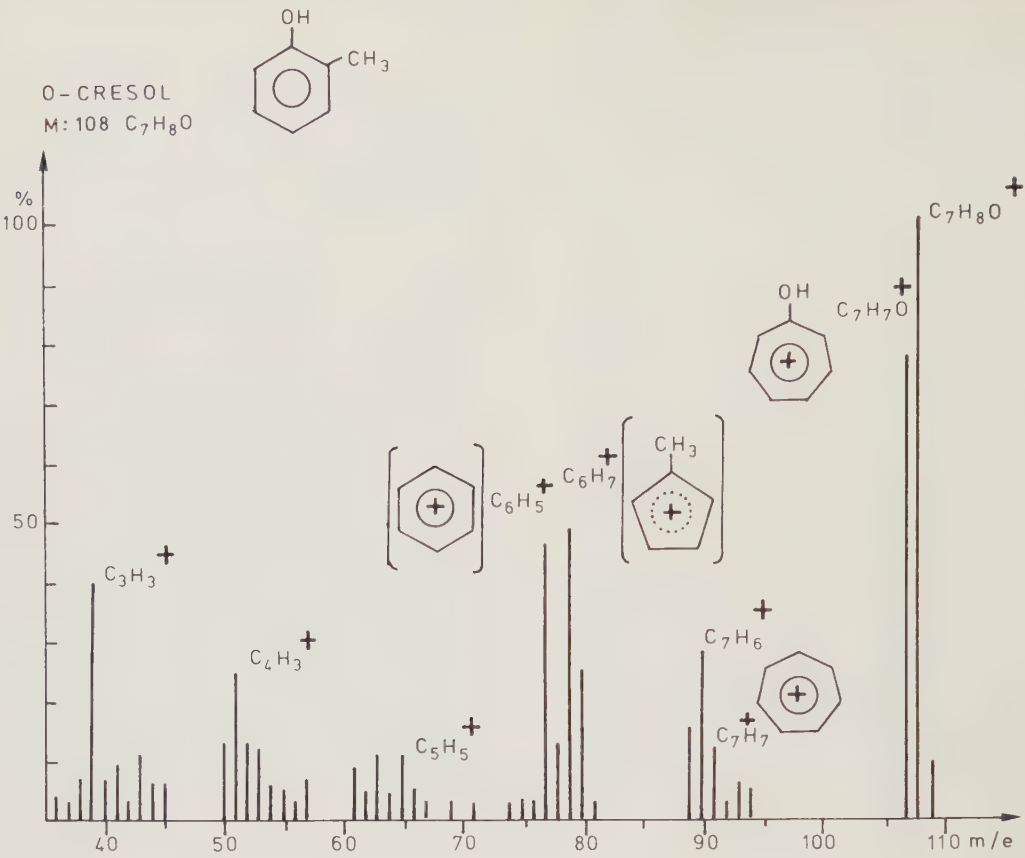


Fig. 3. — Spectre de masse de l'O. Crésol.

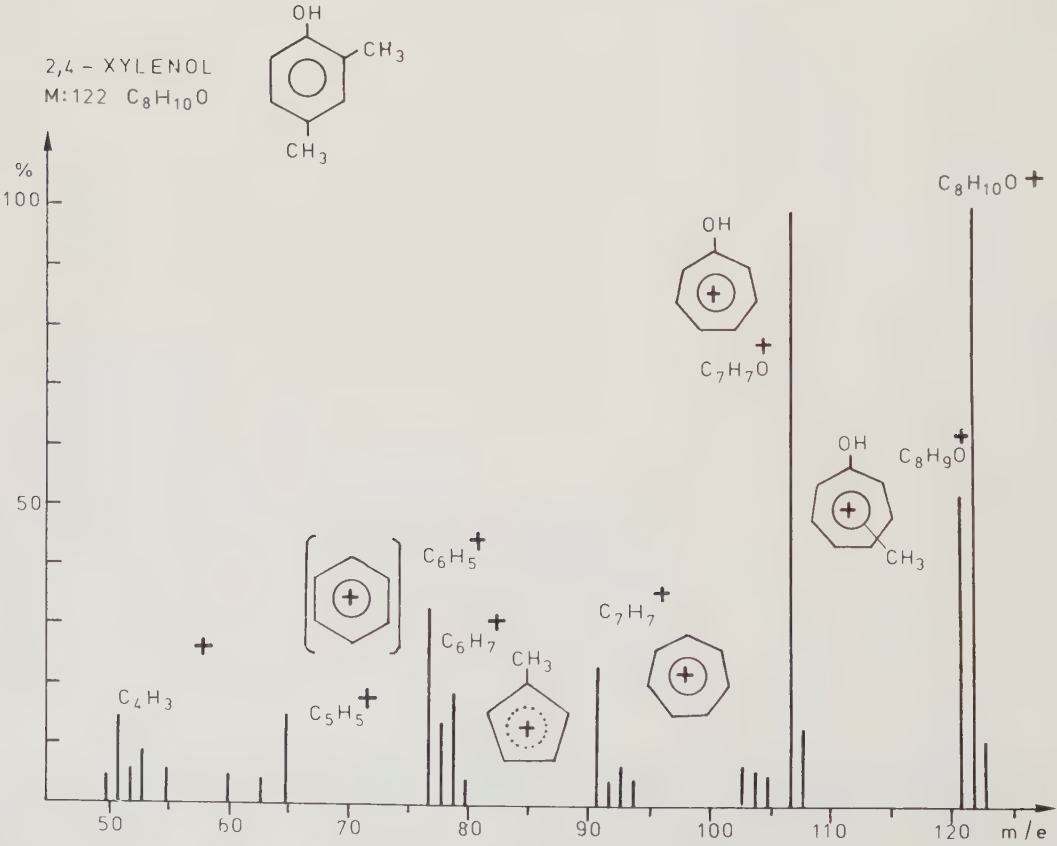


Fig. 4. — Spectre de masse du 2,4-Xylénol.

b) expulsion de monoxyde de carbone et formation des hydrocarbures aromatiques par l'intermédiaire d'un cycle en C_5 ou en C_7 suivant les schémas écrits ci-dessus.

Les spectres de masse du phénol, de l'o-crésol et du 2,4-xylénol ainsi que la structure probable des principaux ions fragments sont représentés aux figures 2, 3 et 4.

Les ions importants à signaler sont :

1°) M-1 (H), quasi inexistant dans le spectre du phénol, important pour les phénols supérieurs.

2°) M-15 (CH_3), absent dans le spectre du phénol, très faible dans le cas des crésols, mais notable dans ceux des xylénols. Le peu d'importance de ce pic dans le cas des crésols s'explique par la formation d'un cycle en C_7 .

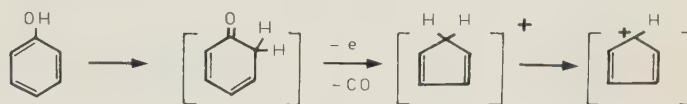
3°) M-18 (H_2O), négligeable pour le phénol, mais assez important pour les crésols.

4°) M-29 (COH) est moins important que M-28 (CO) dans le cas du phénol, mais c'est le contraire dans le cas des crésols et des xylénols.

Il semble donc que, dans le cas des phénols, il existe une certaine analogie entre les produits de pyrolyse et les principaux ions fragments en spectrométrie de masse.

Le tableau I montre la correspondance que l'on peut établir entre ces deux modes de craquage.

En spectrométrie de masse, l'étape importante est la perte respectivement de CO et COH pour le phénol et les crésols conduisant à une structure « cyclopentadiénique » (11).



Pour les xylénols, cette étape est précédée d'une déméthylation conduisant au spectre des crésols.

De même, le craquage thermique a permis de montrer que la structure cyclopentadiénique était importante et responsable de la formation des composés non phénoliques.

Dans ce cas, le mécanisme mis en évidence par la spectrométrie de masse est le même que celui du craquage thermique, la perte de monoxyde de carbone conduisant au composé cyclique en C_5 . Cependant, dans le cas du craquage thermique, des réactions parallèles ont également beaucoup d'importance, par exemple, le phénol est un des composés les plus importants formés par craquage thermique des crésols et des xylénols, alors que l'ion qui y correspond en spectrométrie de masse est peu intense.

TABLEAU I

	<i>Ions fragments</i>	<i>Produits de pyrolyse</i>
<i>Phénol</i>	65,66 —	Cyclopentadiène Benzène
<i>O-Crésol</i>	91,92 77,78 79 65 94 (peu intense)	Toluène Benzène Méthylcyclopentadiène Cyclopentadiène Phénol
<i>2, 4-xylénol</i>	107 91,92 77,78 79 93 65 94 (peu intense) 105 (peu intense)	Crésol Toluène Benzène Méthylcyclopentadiène Diméthylcyclopentadiène Cyclopentadiène Phénol Xylène

3. CONCLUSIONS

Cette tentative de comparaison des produits de pyrolyse avec les ions fragments en spectrométrie de masse nous montre qu'il n'y a pas de règles générales permettant de prédire les produits de pyrolyse d'un composé au départ de son spectre de masse.

En effet, si, dans le cas de composés tels que les phénols, certains produits formés au cours du craquage thermique peuvent être comparés directement avec les principaux ions provenant de la fragmentation électronique, par contre dans d'autres cas, tel le toluène, la corrélation n'est pas directe et il faut faire appel à des intermédiaires dont la structure n'apparaît pas toujours à première vue dans les produits de pyrolyse, mais qui, en spectrométrie de masse, apparaissent comme ions fragments stables.

4. PARTIE EXPERIMENTALE

4.1. Spectrométrie de masse

Les spectres de masse ont été relevés sur un appareil de marque Varian, type CH5, sous une tension d'ionisation de 70eV avec une résolution d'environ 2500. La source est maintenue à 150° C.

4.2. Craquage thermique

Les craquages thermiques à pression atmosphérique ont été réalisés dans un réacteur tubulaire en verre de silice. Les produits recueillis à basse tempé-

rature sont analysés par chromatographie en phase gazeuse. Ces techniques ont été décrites précédemment (1, 4, 5, 10).

REMERCIEMENTS

Ces travaux ont pu être réalisés grâce aux subsides qui nous ont été accordés par la CCE. Nous remercions cet organisme pour l'aide qu'il nous a apportée.

BIBLIOGRAPHIE

- (1) B. Bettens. *Tetrahedron*, 30, 1253 (1974).
- (2) O.A. Mamer, R.J. Kominar, F.P. Lossing. *Org. Mass. Spectroscopy*, 3, 1411 (1970).
- (3) D.C. De Jongh, D.C. Klin, M.L. Thomson. Communication à « 6th Intern. Mass Spectrometry Conference », Edinburgh, Septembre 1973.
- (4) R. Cyprès, C. Lejeune. *Ann. Mines Belgique*, 7-8, 1102 (1965).
- (5) R. Cyprès, C. Braekman-Danheux et A. Junne. Compte rendu XXXVIIe Congrès Intern. Chim. Ind. Madrid (1967) 281.
- (6) T. Takeuchi, M. Sakaguchi et Y. Togashi. *Bull. Chem. Soc. Japan*, 39, 1437 (1966).
- (7) F. Hein, N.J. Messee. *Chem. Ber.* 76B, 430 (1943).
- (8) R. Spielmann - travaux non publiés (1972).
- (9) A. Cramers, R. Spielmann. *Chromatographia*, 5, 295 (1972).
- (10) R. Cyprès, C. Braekman-Danheux, P. Bredael, L. Einhorn. *Ann. Mines Belgique*, 9, 1105 (1970).
- (11) Interpretation of mass spectra of organic compounds. H. Budzieckiewicz, C. Djerassi, D.H. Williams (1964) p. 167. Ed. Holden-Day.

Activité de l'Institut d'Hygiène des Mines cours de l'année 1975

ard DEGUELDRE *

Bedrijvigheid van het Instituut voor Mijnhygiëne gedurende het jaar 1975

INTRODUCTION

omme chaque année, ce rapport d'activité ré-
ne les études originales publiées durant l'exercice
isagé, mais il fait surtout mention des résultats
iels de recherches, toujours en cours, qui ont,
r la plupart, bénéficié d'une aide financière de la
nmission des Communautés Européennes.

n plus des examens systématiques de nombreux
riers, la Section Médicale s'est principalement
occupée de recherches épidémiologiques sur la
nchite chronique, des effets ventilatoires de divers
nchodilatateurs, de la standardisation des métho-
d'exploration fonctionnelle pulmonaire et de la
siopathologie des stades débutants de la
nchite chronique.

raditionnellement, la Section Technique fait état
commente les résultats des mesures gravimétri-
s de poussières réalisées dans tous les bassins ;
a spécialement étudié certains aspects de la me-
e de la pollution atmosphérique et le comporte-
nt de fibres d'asbeste. Les travaux sur le perfec-
nement des moyens de lutte contre le grisou et les
ssières se sont poursuivis par application du pro-
é de prétélé-injection d'eau en veine. Dans le do-
ne du climat et de la ventilation des mines, des
vés des caractéristiques aérodynamiques de cer-
s circuits et des étalonnages d'instruments de
sure sont régulièrement effectués. On décrit suc-
tement les objectifs d'une nouvelle recherche sur
ploitation industrielle du contrôle par ordinateur
a ventilation, faisant suite à une étude entreprise
l'application du process-control à l'aéragé des
es.

INLEIDING

Zoals ieder jaar, vat dit aktiviteitsverslag de oor-
spronkelijke studies samen die tijdens het jaar 1975
werden gepubliceerd, maar het maakt vooral melding
van de gedeeltelijke uitslagen van opzoekingen die
nog niet beëindigd zijn en waarvan de meeste genie-
ten van financiële steun uitgekeerd door de Commis-
sie van Europese Gemeenschappen.

Buiten de systematische onderzoeken van een
groot aantal arbeiders, heeft de medische afdeling
zich voornamelijk toegelegd op de epidemiologie van
chronische bronchitis, de ventilatoire werking van
verschillende bronchodilatatoren, de standardisatie
van de methodes aangewend voor longfunctieproe-
ven en de fysiopathologie van de beginnende stadia
van chronische bronchitis.

Traditie getrouw, maakt de technische afdeling
melding van de uitslagen van de gravimetrische
stofmetingen uitgevoerd in alle bekkens en geeft
daarbij de nodige commentaar ; sommige aspecten
van de meting van de luchtverontreiniging en van het
gedrag van asbestvezels, werden met meer aandacht
bestudeerd. De werkzaamheden over de verbetering
van de bestrijdingsmiddelen tegen mijngas en -stof
werden vervolgd door de toepassing van het pre-
tele-injectieprocédé in de laag. Op het gebied van het
klimaat en van de mijnventilatie, werden de aërody-
namische kenmerken van sommige kringlopen opge-
tekend en werden de ijkingen van de meetapparatuur
eveneens regelmatig uitgevoerd. Er wordt een bon-
dige beschrijving gegeven van de doeleinden van een
nieuwe opzoeking over de industriële exploitatie,
door computer, van de ventilatiecontrole ; deze op-
zoeking is het vervolg van de studie over de toepas-
sing van process-control op de mijnverluchting.

I. TRAVAUX DE LA SECTION MEDICALE

I. WERKZAAMHEDEN VAN DE MEDISCHE AFDELING

1. Travaux de routine

1. Routine-onderzoeken

Cette année, le Fonds des Maladies Professionnelles nous a sollicités pour l'examen complet de 1762 ouvriers mineurs (examen clinique, radiographie pulmonaire de grand format, éventuellement complétée par une tomographie, tests cardiopulmonaires,...).

Les charbonnages, les médecins traitants, les caisses de pension ont envoyé 66 cas litigieux, soit pour embauchage, soit pour mise au point quant à l'aptitude au travail, soit pour juger du droit à une pension prématurée.

Les sociétés africaines ont demandé par ailleurs 51 examens pour l'embauchage dans leurs chantiers d'outre-mer. De plus, la surveillance trimestrielle des risques silicotiques du personnel de ces sociétés s'est poursuivie (protocole de 242 radiographies).

Enfin, 28 membres du personnel du « Voorzorgskas der Kempen » ont subi l'examen complet de dépistage dans le courant du mois d'octobre 1975.

De medische afdeling heeft, op aanvraag van het Fonds voor de Beroepsziekten, het volledig medisch onderzoek van 1762 mijnarbeiders verricht (klinisch onderzoek, radiografie groot formaat van de longen, eventueel ook nog tomografie, hart- en longfunctieproeven,...).

De kolenmijnen, de huisartsen en de Pensioencommissies hebben 66 betwistbare patiënten gestuurd, hetzij voor aanwerving, hetzij voor op-puntstelling voor wat betreft de arbeidsgeschiktheid, hetzij voor advies aangaande rechten op vroegtijdig pensioen.

Afrikaanse maatschappijen hebben voor hun ondernemingen in de Afrikaanse gebieden 51 aanwervingsonderzoeken gevraagd. Daarbij werd de trimestriële controle van de stoflongengevaar van het personeel van genoemde maatschappijen voortgezet (protocol van 242 radiographies).

Eindelijk hebben, in de loop van de maand oktober 1975, 28 personeelsleden van de Voorzorgskas der Kempen een volledig opsporingsonderzoek ondergaan.

2. Travaux de recherche

2. Onderzoekingen

A. RECHERCHES EPIDEMIOLOGIQUES
SUR LA BRONCHITEa. Enquête épidémiologique chez
les mineurs et les métallurgistes

Cette recherche conduite par l'Institut Médical Ste-Barbe de Lanaken est actuellement terminée.

Le schéma de l'étude était basé sur la comparaison de deux groupes étendus de mineurs encore au travail dans deux entreprises charbonnières implantées dans des régions à pollutions atmosphériques générales différentes. Deux grands groupes d'ouvriers métallurgistes ont été choisis comme témoins dans les mêmes régions.

A. EPIDEMIOLOGISCHE OPZOEKINGEN
VAN BRONCHITISa. Epidemiologische enquête
bij mijnwerkers en bij arbeiders
uit de staalnijverheid

Deze opzoeking die door het Medisch Instituut Ste-Barbara van Lanaken werd geleid, is beëindigd.

Het studieschema berustte op de vergelijking van twee uitgebreide groepen van mijnarbeiders tewerkgesteld in twee steenkolenmijnen. Deze mijnen zijn gevestigd in streken die, voor wat betreft de algemene luchtverontreiniging, verschillend zijn. In de controlegroepen werden twee belangrijke arbeidersgroepen gekozen uit de staalnijverheid in dezelfde streken.

total, 676 mineurs ont été examinés dans la n peu polluée et 575 dans la région polluée. les deux entreprises métallurgiques, les chiffresectifs dans ces mêmes régions étaient de 1284 et 3 ouvriers.

peut résumer les résultats de cette enquête en t qu'à tabagisme nul, les plaintes de bronchite nt significativement plus fréquentes chez les mi- que chez les ouvriers métallurgistes. En outre, aintes étaient nettement plus fréquentes dans le onnage implanté en région polluée que dans implanté en région non-polluée.

r ailleurs, les plaintes de toux et d'expectoration accompagnées de dyspnée ont été très peu fré- tes chez les mineurs non-fumeurs en deçà des es pseudotumoraux. Ceci confirme les données e enquête antérieure dans une localité charbon- suggérant que ces plaintes n'ont pas de carac- spécifique lié à la profession de mineur.

r contre, la prévalence de la dyspnée est consi- blement plus élevée chez les mineurs que chez métallurgistes. Ceci est également à rapprocher e observation faite antérieurement, lors d'une ête dans la population de Lanaken où les mi- s avaient également mentionné beaucoup plus aintes de dyspnée que des groupes témoins mineurs.

chez les mineurs, la dyspnée existe souvent me symptôme initial précédant la toux et les ex- orations, réalisant ainsi un tableau clinique qui e de celui des non-mineurs, où la dyspnée sur- t en général après de nombreuses années de otomatologie de toux avec expectoration.

b. Enquête épidémiologique sur les effets de la pollution de l'air chez les enfants

ette étude est terminée sur le terrain. Une équipe 1 enquêteurs, recrutés et formés spécialement à e fin par l'Institut Ste-Barbe, a examiné 1670 nts, dans le quadrilatère Bertrix, Libramont, hâteau et Paliseul intéressé par l'examen. Les tats sont en voie de dépouillement (perforation iches en vue de leur exploitation statistique).

In de streek waar de luchtbezoedeling gering is, werden 676 mijnarbeiders onderzocht, terwijl er 575 werden onderzocht in de luchtverontreinigde streek. Voor de twee staalbedrijven waren de respectievelijke cijfers voor beide streken 1284 en 1218 arbeiders.

Wanneer men de resultaten van deze enquête samenvat kan men zeggen dat, voor de niet-rokers, de bronchitisklachten beduidend hoger lagen bij de mijnarbeiders dan bij arbeiders uit de staalnijverheid. Daarenboven kwamen deze klachten veelvuldiger voor in de kolenmijn gevestigd in de luchtverontreinigde streek dan in deze gevestigd in de streek waar de luchtverontreiniging gering is.

Overigens, waren de klachten over hoesten en expectoratie, zonder dyspnoe, zeer gering bij de mijnwerkers die niet rookten en die de pseudotumorale stadia niet hadden bereikt. Dit bevestigt de gegevens van een vroegere enquête uitgevoerd in een mijnstreek en die suggereerde dat deze klachten geen specifiek kenmerk hebben dat rechtstreeks in verband staat met het mijnwerkersberoep.

Daarentegen is de prevalentie van de kortademigheid merkkelijk hoger bij de mijnwerkers dan bij de arbeiders uit de staalnijverheid. Hier kan eveneens een verband worden gelegd met een vroegere observatie tijdens een enquête gedaan bij de bevolking van Lanaken en waar de mijnwerkers ook veel meer dyspnoeklachten hadden dan de referentiegroepen van niet-mijnwerkers.

Bij de mijnwerkers is de kortademigheid vaak een initiaal symptoom dat hoesten en expectoratie voorafgaat ; men bekomt dan een klinisch beeld dat verschillend is van het beeld dat men bij de niet-mijnwerkers aantreft ; bij deze laatsten ontstaat dyspnoe gewoonlijk na meerdere jaren hoesten en opgeven van fluimen.

b. Epidemiologische enquête over de uitwerkingen van de luchtverontreiniging op kinderen

Deze studie werd ter plaatse afgewerkt. Een team van 11 personen werd voor dit doel door het Medisch Instituut Ste-Barbara van Lanaken speciaal aangeworven en opgeleid ; 1670 kinderen werden onderzocht in de gemeenten Bertrix, Libramont, Neufchâteau en Paliseul. Men werkt aan de ontcijfering van de bekomen resultaten (perforatie op fiches met het oog op statistische uitwerking).

c. *Enquête longitudinale sur la bronchite chronique*

Il s'agit d'une enquête qui doit s'effectuer, comme la recherche précédente, dans le cadre de l'Unité d'Epidémiologie de l'Université de Louvain. Elle bénéficie du support du Comité Ministériel pour la Programmation Scientifique du Gouvernement belge. Sa mise en train sur le terrain connaît cependant quelques retards.

A l'heure actuelle, le plan de travail est pratiquement établi. Les groupes d'enfants qui seront étudiés ont été définis. Le schéma général des examens qui seront pratiqués, notamment leur nature et leur rythme, a été déterminé en collaboration avec un groupe de travail de l'Université de Gand, également intéressé par cette enquête.

B. EFFETS VENTILATOIRES DE DIVERS BRONCHODILATEURS

Cette recherche, également poursuivie à Lanaken, a concerné les produits suivants :

- Le SK & F 40383, un β -sympathicomimétique d'action très sélective β -2 chez l'animal (30 sujets).
- La terbutaline en aérosol doseur (500 μ g), en comprimés à la posologie de 5 mg et en injection sous-cutanée à la posologie de 0,5 mg (89 sujets).
- Le Sch 1000, un atropinique de synthèse extrêmement actif en aérosol vis-à-vis des spasmes bronchiques provoqués chez l'animal (94 sujets).
- Le C 325, une substance apparentée aux antihistaminiques, proche de l'Atarax et du Respical donnant en laboratoire des effets broncho-relaxants très nets, curatifs ou préventifs, lorsque donnée par voie intraveineuse (48 sujets).
- Le produit MJ 9184, un β -sympathicomimétique extrêmement actif chez l'animal (5 sujets).

Au total, 215 patients hospitalisés, atteints de bronchospasmes réversibles par l'orciprénaline, éventuellement selon les cas par le méthylnitrate d'atropine, ont été inclus dans ces divers travaux.

Ces comparaisons ont conduit à des résultats dont certains sont publiés et les autres sous presse. On peut les résumer comme suit :

- A l'heure actuelle, le fénotérol paraît bien rester le β -sympathicomimétique le plus puissant disponible en aérosol doseur (400 μ g) ne donnant sous cette forme qu'un minimum d'effets secondaires,

c. *Gelijklopende enquête over chronische bronchitis*

Het betreft een enquête die, zoals de vorige zoeking, zal uitgevoerd worden in het kader van het Epidemiologisch Centrum van de UCL. Zij wordt steund door het Ministerieel Comité voor de Wetenschappelijke Programmatie van de Belgische Staat. De aanvang ter plaatse kent nochtans een vertraging.

Op dit ogenblik, is het werkplan praktisch opgesteld. De groepen kinderen die zullen bestudeerd worden werden bepaald. Het algemeen schema van de onderzoeken die men zal uitvoeren, nl. de aard en het ritme, werd op punt gesteld in samenwerking met een werkgroep van de Universiteit van Gent, eveneens voor deze enquête geïnteresseerd is.

B. VENTILATOIRE UITWERKINGEN VAN VERSCHILLENDE BRONCHODILATATOREN

Deze opzoeking, waaraan eveneens te Lanaken wordt gewerkt, behelst de studie van de volgende producten :

- De SK & F 40383, een β -sympathicomimeticum dat, bij het proefdier, een zeer selectieve β -2 werking heeft (30 personen).
- De terbutaline in dosis-aërosol (500 μ g), in 500 tabletten en in onderhuidse injectie aan een dosis van 0,5 mg (89 personen).
- De Sch 1000, een synthese atropinepreparaat dat, onder vorm van aërosol, bij het proefdier uiterst actief reageert op de verwekte bronchospasmen (94 personen).
- De C 325, een preparaat dat verwantschap toont met de antihistaminen, en best kan vergeleken worden met Atarax en Respical. Laboratoriumproeven wijzen op zeer duidelijke bronchodilaterende werking, zowel curatief als preventief, bij intraveineuze toediening (48 personen).
- De MJ 9184, een β -sympathicomimeticum dat zeer actief is bij het proefdier (5 personen).

In het totaal werden 215 gehospitaliseerde personen, aangetast door bronchospasmen die door orciprenaline en eventueel door atropine methylnitrate reversibel zijn, bij deze verschillende onderzoeken betrokken.

Deze vergelijkende studies hebben tot resultaten geleid waarvan sommige reeds gepubliceerd zijn en andere ter perse liggen. Men kan ze als volgt samenvatten :

- Voor het ogenblik schijnt fenoterol in de aërosol van 400 μ g, nog altijd het meest krachtige β -sympathicomimeticum te blijven waarover men beschikken kan. Aan deze dosis heeft het preparaat met

me lors de la répétition du traitement chez des malades chroniques. Les avantages ventilatoires des aérosols consistent en une installation rapide des effets et une durée considérable de ceux-ci allant dans certains cas jusqu'à 7 heures après l'inhalation. En comprimés, le produit paraît par contre moins intéressant : le rapport effets secondaires/effets bronchodilatateurs est moins favorable sous cette forme.

— La terbutaline en comprimés est plus intéressante que le fénotérol par la même voie, notamment en raison d'effets plus prolongés. En aérosol doseur, le produit est par contre nettement moins intéressant que le fénotérol à la posologie de 400 μ g actuellement utilisée par cette voie pour ce produit ; sous cette forme, ses effets moyens sont inférieurs à ceux du fénotérol et ils sont surtout de durée plus courte.

— Tant le fénotérol que la terbutaline sont bien tolérés en aérosol doseur. La terbutaline est bien tolérée en comprimés, mais le fénotérol l'est moins.

— Le SK & F 40383 est un produit intéressant par voie buccale mais ses effets restent légèrement inférieurs à ceux du fénotérol, tandis qu'il exerce des effets hypertensifs légers sur les pressions systolique et diastolique.

— Le Sch 1000, atropinique de synthèse, a en aérosol ordinaire et sous forme de doseur des effets immédiats similaires à ceux du méthylnitrate d'atropine, mais de durée un peu plus courte. Aux doses thérapeutiques, le produit est dépourvu d'effets associés défavorables sur l'accommodation, la vessie, le rythme cardiaque et les muqueuses buccopharyngées.

— Le C 325 donne des effets bronchodilatateurs importants par voie intraveineuse chez un nombre limité de sujets. Mais ses effets sont moins importants que ceux des β -sympathicomimétiques ou du méthylnitrate d'atropine. Dans de rares cas, le produit est également actif en aérosol, mais il faut souligner la possibilité de diminutions paradoxales considérables des VEMS après cette inhalation. Par ailleurs, le produit peut donner des effets associés importants concernant en vertiges prononcés.

— L'étude pilote effectuée avec le MJ 9184 a permis d'établir que ce produit donne en comprimés, à la dose de 0,25 mg, des effets déjà appréciables et dépourvus d'effets secondaires importants ; la dose de 0,50 mg pourrait être également intéressante ; une posologie plus élevée paraît être associée à divers troubles vasculaires, notamment la tachycardie, de sorte à limiter l'utilisation du produit en clinique.

Deux substances nouvelles ont fait par ailleurs l'objet d'une première étude : l'ibutérol et le carbutérol. Il s'agit de deux β -sympathicomimétiques

à un minimum nevenwerkingen zelfs na herhaalde behandelingen bij chronische zieken. De ventilatoire voordelen van deze aerosol zijn de snelle uitwerkingen en de opmerkelijke lange duur van werking, gaande in sommige gevallen tot 7 uur na de inhalatie. Onder vorm van tabletten schijnt het produkt daarentegen minder interessant : de verhouding nevenwerkingen — bronchodilatatorische werking is minder gunstig in dit geval.

— Onder vorm van tabletten is terbutaline interessanter dan fenoteroltabletten, de uitwerking is nl. langduriger.

Het produkt is echter minder krachtig dan fenoterol in een aerosoldosis van 400 μ g zoals momenteel aangewend ; de gemiddelde uitwerking van terbutaline-aerosols ligt beneden deze van fenoterolaerosols en ze is vooral van kortere duur.

— Zowel fenoterol als terbutaline worden in dosis-aerosol goed verdragen. Terbutaline wordt goed verdragen in tabletten, fenoteroltabletten worden het minder goed.

— SK & F 40383 is, langs de orale weg, een interessant produkt maar de uitwerking blijft lichtjes beneden die van fenoterol ; het preparaat heeft een lichte hypertensieve uitwerking op de systolische en diastolische druk.

— De Sch 1000, synthese atropinepreparaat, geeft als gewone aerosol en als dosis-aerosol onmiddellijke uitwerkingen gelijkaardig aan deze van atropine-methylnittraat, maar van kortere duur. Aan therapeutische dosissen heeft het produkt geen ongunstige uitwerking op de accommodatie, de blaas, het hartritme en de slijmvliezen van mond- en keelholte.

— De C 325 heeft langs intraveineuze weg een belangrijke bronchodilatatorische werking, bij een beperkt aantal personen. De uitwerkingen zijn echter minder belangrijk dan deze bekomen met β -sympathicomimeticum of atropine-methylnittraat. In zeldzame gevallen is het produkt ook actief onder vorm van aerosol maar er dient onderlijnd dat belangrijke paradoxale verminderingen van de ESW mogelijk zijn na deze inhalatie. Overigens geeft het preparaat soms belangrijke nevenwerkingen onder vorm van uitgesproken duizeligheid.

— De spitsstudie met de MJ 9184 heeft geleid tot de vaststelling dat, toegediend onder vorm van tabletten gedoseerd à 0,25 mg, dit preparaat reeds waardevolle uitwerkingen gaf zonder belangrijke nevenwerkingen ; de dosis van 0,50 mg zou eveneens interessant kunnen zijn ; een nog hogere dosering zou gepaard kunnen gaan met vasculaire stoornissen, nl. tachycardie, hetgeen van aard zou zijn om het gebruik ervan klinisch te beperken.

Twee nieuwe samenstellingen waren overigens het onderwerp van een andere studie : ibuterol en carbuterol. Het betreft twee nieuwe β -sym-

nouveaux ayant chez l'animal une activité β -2 hautement spécifique. Les conclusions de ces deux essais ont été les suivantes :

— L'ibutéról a donné à la dose de 1500 μ g en aérosol doseur chez 16 patients avec broncho-obstruction stable, des résultats pratiquement identiques à ceux de 400 μ g de fénotéról sur le VEMS et la conductance spécifique. Le produit n'a pas donné d'effets associés défavorables sur le rythme cardiaque ni sur les tensions artérielles systolique et diastolique.

— Le carbutéról per os à la dose de 3 mg est doué de propriétés bronchodilatatrices importantes, supérieures à celles de l'orciprénaline en comprimés et aussi, mais dans une moindre mesure, à celles de la terbutaline en comprimés et du salbutamol au même dosage. Il est légèrement moins actif que 12 mg de fénotéról per os. Il paraît cependant être plus efficace que 5 mg de ce dernier.

La préparation entraîne néanmoins une tachycardie non négligeable de l'ordre de 10 puls/min entre la 1^{ère} et la 3^e heure après l'administration. Ceci pourrait être de nature à limiter les indications du produit, par exemple chez les cardiaques. Le carbutéról n'a pas modifié significativement les tensions artérielles systolique ni diastolique. Il a entraîné chez deux sujets des troubles électrocardiographiques de conduction, très sérieux dans un cas, mais du même type que ceux que peuvent produire le salbutamol, la terbutaline, le fénotéról et l'orciprénaline.

Deux autres produits sont enfin à l'essai :

— un dérivé de l'ibutéról paraissant plus actif et plus sélectif encore que ce dernier sous forme d'aérosol doseur et qui serait donc supérieur au fénotéról ;

— le SK & F 53705, un β -sympathicomimétique récent paraissant plus spécifique encore que le carbutéról produit par le même laboratoire ; le produit est étudié per os à 4 doses, respectivement 1 mg, 2 mg, 4 mg et 6 mg que l'on compare à un placebo et à 4 mg de salbutamol, en vue de déterminer sa dose optimale.

C. STANDARDISATION DE METHODES D'EXPLORATION FONCTIONNELLE PULMONAIRE

Dans le cadre des recherches sur les bronchodilatateurs, d'importantes études de standardisation sont aussi poursuivies à l'Institut Ste-Barbe de Lanaken. On y a notamment effectué cette année une comparaison visant à préciser l'influence des habitudes ta-

pathicomimetica die bij het proefdier een hoge specifieke β -2 activiteit hadden. De gevolgtrekkingen van deze twee proefnemingen waren de volgende :

— Toegediend onder vorm van dosis-aërosol van 1500 μ g/dosis, gaf ibuterol bij 16 patiënten met stabiele broncho-obstructie, resultaten die praktisch dezelfde waren als deze bekomen met 400 μ g fenoterol, voor wat betreft de ESW en de specifieke conductance. Het produkt gaf geen ongunstige geassocieerde nevenwerkingen op het hartritme, noch op de systolische en diastolische arteriële druk.

— Carbuterol per os, aan een dosis van 3 mg bezit belangrijke bronchodilatatorische eigenschappen ; ze overtreffen deze van orciprenaline in tabletten en ook, maar in mindere mate, terbutaline tabletten en salbutamol aan dezelfde dosis. Het produkt is nochtans minder actief dan 12 mg fenoterol, per os maar het schijnt doeltreffender te zijn dan 5 mg fénoterol.

Deze preparaten geven niettemin een niet te verwaarlozen tachycardie van zowat 10 pulsaties/minuut tussen het eerste en het derde uur na de toediening. Dit zou van aard kunnen zijn om de toediening ervan te beperken bv. bij de hartpatiënten. Beduidende wijzigingen van de systolische of diastolische arteriële druk werden na carbuterol niet genoteerd. Het produkt gaf bij twee patiënten electrocardiografische geleidingsstoornissen die één geval zeer ernstig waren, maar van hetzelfde type als deze die kunnen optreden na toediening van salbutamol, terbutaline, fenoterol en orciprenaline.

Eindelijk, liggen nog twee andere produkten ter studie :

— een derivaat van ibuterol dat aktiever en selektiever schijnt dan dit laatste, onder vorm van dosis-aërosol en dat het fenoterol preparaat zou overtreffen ;

— de SK & F 53705, een recent β -sympathicomimeticum dat meer specifiek schijnt te zijn dan carbuterol en dat eveneens door hetzelfde laboratorium werd op punt gesteld ; het produkt werd per os bestudeerd aan 4 dosissen, respectievelijk 1 mg, 2 mg, 4 mg en 6 mg ; men vergelijkt het met een placebo en met 4 mg salbutamol met het doel een optimale dosering te bepalen.

C. STANDARDISATIE VAN DE METHODES VAN LONGFUNKTIEPROEVEN

In het kader van onderzoeken over bronchodilatatoren, doet men in het Medisch Instituut Ste-Barbara ook aan belangrijke standardisatiestudies. Men heeft nl. dit jaar een vergelijking uitgevoerd met het doel de invloed van de rookgewoonten te bepalen.

logiques sur les valeurs de la spirométrie, du volume résiduel, de la $D_{L, CO}$ et du volume de fermeture chez 40 sujets masculins normaux. Les premiers résultats de cette étude ont été présentés le 18 octobre 1975 à l'occasion de la réunion conjointe du Groupe Physiopathologie Respiratoire à l'Université d'Antwerpen en association avec la Société Belge d'Etudes Scientifiques sur la Tuberculose et la Pneumologie.

— Le test le plus apte à détecter la maladie des bronchites chroniques ou en tout cas des perturbations fonctionnelles précoces est le test du volume de fermeture.

— Les tests moins sensibles ont été les débits expiratoires moyens ou terminaux mesurés au spiromètre. Ceci se comprend probablement par la trop grande variabilité entre individus de ces débits maximaux. Ainsi le $MMEF_{25-75}$ (maximal mid-expiratory flow) n'est trouvé fréquemment abaissé que lorsque les sujets ont déjà un VEMS ou un VEMS/CV en dessous des limites normales.

— Chez les jeunes ou légers fumeurs, la phase VC est plus fréquemment élevée que la pente alvéolaire. L'inverse est par contre observé chez les fumeurs plus anciens ou aux fortes habitudes tabagiques.

— Enfin, aucun test, semble-t-il, ne peut déceler à lui seul toutes les anomalies supposées représenter des altérations précoces réversibles ou irréversibles des petites bronches et de leurs supports.

D. PHYSIOPATHOLOGIE DES STADES DEBUTANTS DE LA BRONCHITE CHRONIQUE

Les recherches sur la physiopathologie des stades débutants de la bronchite chronique et de l'emphysème pulmonaire (qui ont permis au Dr. D. Stanescu d'obtenir en avril 1975, à la Faculté de Médecine de l'Université de J.C.L., le titre d'agrégé de l'enseignement supérieur) sont terminées dans leur première phase.

La bronchite chronique et l'emphysème sont des maladies chroniques, d'étiologie et de pathogénie mal connues.

Caractérisée par une hypersécrétion muqueuse, la bronchite chronique coexiste fréquemment avec l'emphysème, maladie destructive du parenchyme pulmonaire. Dans la pratique clinique, leur séparation est malaisée. C'est une des raisons pour lesquelles les deux maladies ont été réunies avec l'asthme bronchique, dont elles partagent certains symptômes, sous l'appellation de pneumopathies chroniques obstructives (PCO). Obstructives, parce que du point de vue fonctionnel, la diminution du

op de spirométrische waarden, op het residueel volume, op de $D_{L, CO}$ en op het sluitingsvolume bij 140 gezonde mannen. De eerste uitslagen van deze studie werden op 18 oktober 1975 voorgelegd op de vergadering die gelijktijdig werd ingericht door de groep « Ademhalingsfysiopathologie » van de Universiteit van Antwerpen en de Belgische Vereniging voor Wetenschappelijke Studies van de Tuberculose en de Pneumologie.

— De meest geschikte test om aandoeningen van de kleine bronchi of in ieder geval vroegtijdige functionele stoornissen op te sporen is het sluitingsvolume.

— Minder gevoelige testen waren de gemiddelde of de laatste expiratoire debieten gemeten met de spirograaf. Dit kan waarschijnlijk verklaard worden door het te groot verschil van deze maximale debieten van de ene persoon tot de andere. Een meestal verminderde $MMEF_{25-75}$ (maximal mid-expiratory flow) vindt men alleen maar bij personen waarvan de ESW of de ESW/VC beneden de normale grenzen liggen.

— Bij jonge of kleine rokers is de fase $4/VC$ frequenter hoger dan de helling van het alveolair plateau. Men kan daarentegen juist het tegenovergestelde waarnemen bij reeds oudere of zware rokers.

— Op zichzelf kan waarschijnlijk geen enkele test ontdekken welke afwijkingen verondersteld zijn de vroegtijdige reversibele of niet-reversibele aandoeningen van de kleine bronchi en van hun steunweefsels op te sporen.

D. FYSIOPATHOLOGIE VAN DE BEGINNENDE STADIA VAN DE CHRONISCHE BRONCHITIS

De onderzoekingen over de fysiopathologie van de beginnende stadia van de chronische bronchitis en van het emfyseem zijn voor het eerste gedeelte beëindigd. Deze opzoekingen hebben toegelaten dat Dr. D. Stanescu in april 1975 de titel behaalde van geaggregeerde van het Hoger Onderwijs aan de Faculteit van Geneeskunde van U.C.L.

Chronische bronchitis en emfyseem zijn chronische aandoeningen waarvan de etiologie en de pathogenie slecht gekend zijn.

Met als kenmerk een hypersecretie van de slijmvliezen gaat de chronische bronchitis dikwijls gepaard met longemfyseem, ziekte die het longparenchym afbreekt. Klinisch zijn ze moeilijk van elkaar te scheiden. Dit is één van de redenen waarvoor deze twee aandoeningen verenigd werden met bronchiaal asthma, (waarvan ze bepaalde symptomen delen) onder de benaming « chronische obstructieve pneumopathieën ». Obstructief omdat vanuit het functioneel standpunt de vermindering van het kaliber van de

calibre de l'arbre bronchique, (syndrome obstructif) est le dénominateur commun de ces trois maladies.

La bronchite chronique et l'emphysème sont devenus un problème de santé publique : leur incidence s'accroît et elles représentent une cause importante de morbidité, d'incapacité de travail et une charge sociale et financière importante pour la communauté.

Le seul moyen, à présent, de limiter l'extension de ces maladies est de recourir à des mesures préventives. La première étape dans la prévention est la détection de la maladie à un stade précoce, asymptomatique ou symptomatique, avant l'apparition de lésions irréversibles.

Le peu de spécificité des symptômes et des signes cliniques pulmonaires, ainsi que l'avantage de pouvoir exprimer d'une manière quantitative les résultats, ont fait préférer les épreuves fonctionnelles pour la détection des pneumopathies obstructives.

Des études systématiques entreprises à partir de 1968, à l'aide de techniques nouvelles, ont montré, chez des sujets asymptomatiques ou symptomatiques, généralement fumeurs, l'existence d'une anomalie fonctionnelle, non révélée par des indices spirométriques, tels que le VEMS.

Vers la même époque et plus tard, les anatomopathologistes ont mis en évidence, aussi bien dans les stades avancés que précoces des pneumopathies obstructives, des lésions sténosantes des petites voies aériennes, à diamètre interne inférieur à 2 mm (ces sténoses étaient dues à des lésions fibrosantes inflammatoires et à des bouchons de mucus).

C'est aux auteurs de Montréal que revient le mérite d'avoir interprété de façon cohérente ces différentes données. Ces auteurs ont postulé que la pneumopathie obstructive débute par une atteinte élective des petites voies aériennes. On savait déjà que la résistance au flux de ces voies aériennes périphériques ne représente qu'une faible partie de la résistance pulmonaire totale.

Une obstruction importante, intéressant un grand nombre de ces voies aériennes périphériques, peut donc s'installer sans pouvoir être décelée par les épreuves fonctionnelles courantes, ni même par la mesure de la résistance pulmonaire totale.

Par contre, du fait de leur localisation, tout près de la zone d'échanges gazeux et de leur dissémination à travers le parenchyme pulmonaire, ces lésions périphériques entraînent une perturbation de la distribution de la ventilation et des échanges gazeux, démontrable dès les premiers stades de la pneumopathie obstructive.

La maladie des petites voies aériennes, ainsi qu'elle a été nommée, peut rester cliniquement muette ou être accompagnée seulement d'une toux banale de fumeur, alors qu'en fait elle continue d'évoluer.

bronchiale boom (obstructief syndroom) het gemeenschappelijk kenmerk is van deze drie aandoeningen.

Chronische bronchitis en emfyseem zijn een probleem van volksgezondheid geworden : hun frequentie neemt toe en ze vertegenwoordigen een belangrijk ziektecijfer met werkonbekwaamheid betekenen een zware sociale en financiële last voor de gemeenschap.

Tot op heden, is het enige middel om de uitbreiding van deze ziekten te beperken, beroep doen op preventiemaatregelen. Een eerste stap op gebied van preventie is het opsporen van de ziekte in een vroegtijdig stadium, met of zonder symptomen, alvorens zich irreversibele letsels hebben ingesteld.

Het weinig specifieke van de symptomen en klinische pulmonaire tekens, alsook het voordeel resultaten kwantitatief te kunnen uitdrukken, hebben er toe geleid de longfunctieproeven de voorkeur te geven om de obstructieve pneumopathiën op te sporen.

Systematische studies ondernomen, sinds 1968 met behulp van nieuwe technieken, hebben bij personen met of zonder symptomen, over 't algemeen rokers, een functionele stoornis aangetoond die door spirometrische indices zoals ESW niet kon worden achterhaald.

Bijna terzelfdertijd hebben de anatomopathologen zowel in vroegtijdige als in gevorderde stadia van chronische bronchitis en emfyseem, een stenose van de kleine luchtwegen, met interne diameter kleiner dan 2 mm, aan het daglicht gebracht. Op hetzelfde niveau werden fibreuze letsels, ontsteking en mucusproppen beschreven.

Deze gegevens werden op een samenhangende manier geïnterpreteerd door de werkgroep van Montréal : deze auteurs hebben gesuggereerd dat chronische bronchitis en emfyseem met een selectieve aantasting van de kleine luchtwegen beginnen.

Aangezien de stromingsweerstand van de kleine luchtwegen slechts een heel gering deel uitmaakt van de totale pulmonaire weerstand, kan hun obstructie noch door de routineproeven, noch door het meten van de totale pulmonaire weerstand worden opgedekt. Daarentegen zullen de voorkeurlokalisatie van de obstructie ter hoogte van de kleine luchtwegen dichtbij de zone van de gasuitwisseling en de verzaaiing ervan in het longparenchym, een ongelijkmatige verdeling van de ventilatie en een verstoring van de gasdistributie teweegbrengen. Deze kunnen reeds in de beginnende stadia van de obstructieve pneumopathie worden waargenomen.

De « ziekte van de kleine luchtwegen » kan klinisch stilzwijgend zijn, of gepaard gaan met een slechts banale rokershoest, verwaarloosd door de patiënt. Aldus kan de aandoening verborgen blijven.

gagée par le patient, elle ne devient cliniquement déficiente qu'à un stade où la fonction pulmonaire est évidemment compromise.

A ce stade, la maladie est invalidante et son évolution ne peut plus être enrayerée.

Le concept de la maladie des petites voies aériennes est surtout un concept physio-pathologique, la perturbation fonctionnelle essentielle étant l'inégalité de la distribution de la ventilation. Les premières techniques utilisées pour révéler cette anomalie fonctionnelle furent des méthodes utilisant des gaz radioactifs et la mesure de la compliance pulmonaire à différentes fréquences ventilatoires. La diminution de la compliance à des fréquences élevées est la technique la plus sensible pour démontrer la présence de la maladie des petites voies aériennes. Toutefois, cette technique, ainsi que celles utilisant les gaz radioactifs, est délicate et ne se prête pas à l'étude des grandes collectivités.

Ces dernières années, la préoccupation majeure des chercheurs a été de trouver de nouvelles techniques, à la fois sensibles et relativement simples, destinées au dépistage précoce de l'atteinte de ces petites voies aériennes.

Plusieurs épreuves ont été décrites récemment et certaines, déjà anciennes, ont retrouvé un regain d'intérêt. Trois d'entre elles ont retenu l'attention : la pente du plateau alvéolaire de la courbe d'azote expiré, le volume de fermeture et les débits expiratoires maximaux (DEM), les deux premières ayant été spécialement étudiées dans la présente recherche.

a. Pente du plateau alvéolaire de la courbe d'azote expiré

Cette technique, décrite par Comroe et Fowler, consiste à inspirer de l'oxygène à partir du volume résiduel ou de la capacité résiduelle fonctionnelle et à mesurer ensuite, pendant l'expiration, la concentration d'azote en fonction du volume expiré.

Pour un diagramme concentration d'azote/volume expiré, quatre phases peuvent être observées. La quatrième phase, le plateau alvéolaire, fut utilisée par Fowler et Comroe comme indice de distribution de la ventilation. A l'origine, la pente du plateau fut mesurée par la différence de concentration d'azote entre 750 et 1250 ml d'air expiré, et appelée plus tard gradient d'azote. Une faible pente est présente chez le sujet normal, elle est marquée chez le malade obstructif.

Chez le sujet normal, on explique la pente alvéolaire d'azote par la vidange, avec des débits inégaux, de territoires pulmonaires à concentration

geruisloos, gedurende jaren, evolueren ; ze openbaart zich klinisch slechts op een stadium waar haar vordering niet meer kan ingetoomd worden.

In dit stadium is de ziekte invaliderend en haar evolutie kan niet meer worden gestopt.

Het concept « ziekte van de kleine luchtwegen » is voor alles een fysio-pathologisch concept, de voornaamste functionele stoornis zijnde de ongelijkmatige verdeling van de ventilatie. De eerste technieken die werden aangewend om de functionele stoornis op te sporen waren methoden gebaseerd op radioactieve gassen en het meten van de longcompliance bij verschillende ademfrequenties. De vermindering van de compliance bij hoge frequenties is de meest gevoelige proef om de ziekte van de kleine luchtwegen vast te stellen. Maar het is alleszins een delikate techniek, evenals deze waarbij radioactieve gassen gebruikt worden ; hun toepassing is niet geschikt voor uitgebreide bevolkingsgroepen.

De laatste jaren hebben de onderzoekers de grootste aandacht besteed om nieuwe technieken te vinden, gelijktijdig gevoelig en relatief eenvoudig, bestemd om de ziekte van de kleine luchtwegen vroegtijdig op te sporen.

Verschillende proeven werden onlangs beschreven en sommige — reeds lang gekend — zijn opnieuw in de belangstelling gekomen. Drie ervan hebben de aandacht weerhouden : de helling van het alveolair plateau van de expiratoire stikstofkurve, de sluitingscapaciteit en de maximale expiratoire debieten. De twee eerste werden in deze onderzoeking meer bijzonder bestudeerd.

a. Helling van het alveolair plateau van de expiratoire stikstofkurve

Deze techniek, beschreven door Comroe en Fowler, bestaat erin zuurstof in te ademen afkomstig van het residueel volume of van de functionele residuele capaciteit en vervolgens, tijdens de uitademing, de stikstof te meten in functie van het expiratoir volume.

Op het diagram stikstofconcentratie/expiratoir volume, kunnen 4 fasen worden afgelezen. De derde fase, het alveolair plateau, werd door Fowler en Comroe weerhouden als indice voor de verdeling van de ventilatie. In het begin werd de helling van het plateau gemeten door het verschil van stikstofconcentratie tussen 750 en 1250 ml uitgedemde lucht en kreeg later de definitie « stikstofgradiënt ». Een zwakke helling komt voor bij normale personen ; in geval van obstructief syndroom is de helling uitgesproken.

Bij een normale persoon wordt de helling van de alveolaire stikstofkurve uitgelegd door de zuivering,

d'azote différente, donc une inégalité régionale de distribution de la ventilation. Chez l'obstructif, l'inégalité serait non seulement régionale, mais également intralobaire et intralobulaire, due à l'augmentation de la résistance et de la compliance locales.

Dans une première étude, D. Stanescu a comparé la sensibilité relative du gradient d'azote et des indices spirométriques chez 17 asthmatiques. L'administration d'un bronchoconstricteur puissant, l'acétylcholine, a modifié en moyenne et de façon significative le VEMS et le gradient d'azote. Toutefois, l'étude des cas individuels fait ressortir que, chez 8 des 17 patients, le VEMS n'était pas modifié alors que le gradient d'azote augmentait dans chaque cas de manière nette, chez la plupart significativement. Ces résultats suggèrent qu'une perturbation de la distribution de la ventilation peut être présente sans que le VEMS soit affecté. Cependant, le syndrome obstructif des pneumopathies chroniques obstructives pourrait être a priori différent du bronchospasme provoqué. Ainsi, on a comparé les mérites relatifs du gradient d'azote et des valeurs spirométriques dans un groupe de fumeurs asymptomatiques.

En fonction de la durée, courte ou longue, du tabagisme, les fumeurs ont été divisés en deux groupes, dont les caractéristiques biométriques étaient rigoureusement comparables à celles de deux groupes témoins de non-fumeurs.

Une période courte de tabagisme ne modifie aucun indice fonctionnel. Par contre, le fait d'avoir fumé pendant 30 ans en moyenne se traduit par une augmentation significative du gradient d'azote, tous les autres indices fonctionnels étant strictement comparables chez les fumeurs et les non-fumeurs. La mise en évidence d'une spirométrie normale chez des fumeurs de longue date est en contradiction avec les résultats antérieurs. Toutefois, cette discordance n'est qu'apparente : les fumeurs, en effet, étaient strictement sélectionnés comme asymptomatiques.

A l'époque, ce travail fut l'un des premiers à mettre en évidence des perturbations fonctionnelles chez des fumeurs en bonne santé et apparemment normaux.

Du point de vue pratique, les résultats montrent qu'une épreuve beaucoup plus simple que les méthodes radio-isotopiques et la compliance pulmonaire à différentes fréquences pouvaient être utilisées pour déceler des anomalies fonctionnelles discrètes. Toutes ces épreuves, d'ailleurs, révèlent la même anomalie, l'inégalité de la distribution de la ventilation.

Ces résultats ont permis aussi de conclure qu'un groupe sélectionné de la population peut fumer pendant de nombreuses années et apparemment sans

samen met de ongelijkmatige debieten, van pulmonaire gebieden met verschillende stikstofconcentraties, dus een ongelijkmatige plaatsverdeling van de ventilatie. In geval van obstructief syndroom zou de ongelijkmatigheid niet alleen plaatselijk maar tevens intralobair en intra-lobulair zijn te wijten aan de toename van de lokale weerstand en compliance.

In een eerste studie heeft D. Stanescu de relatie tussen de gevoeligheid van het stikstofgradient en de spirometrische indices vergeleken bij 17 asthmalijders. De toediening van een krachtige bronchoconstrictor, acetylcholine, heeft gemiddeld en op beduidende wijze de ESW en het stikstofgradient gewijzigd. In een studie van individuele gevallen heeft echter bij 8 van de 17 patiënten aangetoond dat de ESW niet gewijzigd wordt terwijl het stikstofgradient in ieder geval duidelijk vermeerderd en meestal op beduidende wijze. Deze resultaten suggereren dat een aantasting van de verdeling van de ventilatie kan plaatshebben zonder dat de ESW afwijkt. Nochtans zou, a priori, het obstructief syndroom van obstructieve chronische pneumopathiën kunnen verschillen van een spontaan wettelijke bronchospasme. Zo heeft men de relatie tussen de voordelen van het stikstofgradient vergeleken met de spirometrische waarden bij een groep rokers zonder symptomen.

In functie van de lange of korte duur van het tabaksverbruik, werden de rokers in twee groepen verdeeld, waarvan de biometrische kenmerken nauwelijks vergelijkbaar waren aan deze van twee controle-groepen niet-rokers.

Roken gedurende een korte tijdsperiode wijzigd geen enkele functionele parameter. Daarentegen vermeerderd, op beduidende wijze, het stikstofgradient gedurende gemiddeld 30 jaar te hebben gerookt, de andere functionele parameters blijven nauwelijks vergelijkbaar in beide groepen. Het feit dat er normale spirometrische parameters werden gevonden bij personen die sedert jaren roken is tegenstrijdig met vroeger gevonden resultaten. Deze tegenstrijdigheid is slechts schijn : de geselecteerde rokers waren inderdaad strikt asymptomatisch.

Dit werk was een van de eerste dat, destijds functionele stoornissen in het daglicht stelde bij rokers met goede gezondheid en ogenschijnlijk normaal.

Praktisch gezien wijzen de resultaten uit dat, discrete functionele anomalieën op te sporen, een veel eenvoudiger methode kan aanwenden dan de methode met radio-isotopen en longcompliance met verschillende frequenties. Al deze testen wijzen overigens op één en dezelfde afwijking : een ongelijkmatige verdeling van de ventilatie.

Deze resultaten hebben ook toegelaten te besluiten dat een uitgekozen bevolkingsgroep gedurende meerdere jaren mag roken zonder ogenschijnlijk ge-

aucun risque. L'existence de ce type particulier de fumeurs, résistant aux effets nocifs de la cigarette, a été reconnue récemment.

Plus tard, à partir d'un échantillon de 122 sujets normaux âgés de 19 à 62 ans, D. Stanescu a établi des normes de référence pour le gradient d'azote et a vérifié sa reproductibilité. Il existe une corrélation entre la valeur du gradient d'azote et l'âge, la pente alvéolaire d'azote étant plus marquée chez les sujets jeunes que chez les jeunes, indifféremment du sexe. En ce qui concerne les fumeurs asymptomatiques, les données antérieures ont été confirmées. La droite de régression du gradient d'azote en fonction de l'âge est statistiquement plus grande chez les fumeurs.

À partir de 35 ans, le gradient d'azote chez les fumeurs est statistiquement plus grand que chez les non-fumeurs.

La reproductibilité du gradient d'azote, élément essentiel pour les études à long terme, s'est avérée bonne, la différence entre deux mesures, après un court et un long intervalle de temps, étant petite et statistiquement non-significative.

Récemment, la mesure de la pente alvéolaire d'azote a retrouvé un regain d'intérêt et plusieurs auteurs ont confirmé sa sensibilité. Ainsi en utilisant une technique légèrement différente chez 530 fumeurs, symptomatiques et asymptomatiques, Buist et Ross ont trouvé que 11 % d'entre eux avaient un gradient d'azote inférieur aux valeurs prédites, alors que chez les autres la pente alvéolaire était anormalement augmentée.

b. Volume de fermeture (VF)

Le volume de fermeture est une application directe des investigations faites avec des radioisotopes pour déterminer la distribution de la ventilation.

Quand un faible volume de gaz inerte est inspiré à partir du volume résiduel, il se distribue de manière préférentielle vers la partie supérieure des poumons. À la fin de l'expiration, une différence de concentration s'établit entre l'apex et la base. L'explication proposée pour cette distribution sélective de l'air est la fermeture des voies aériennes de la base au début de l'inspiration. Pendant l'expiration suivante, sur un graphique concentration — volume, 4 phases peuvent être observées : la dernière correspond à une augmentation plus marquée de la concentration du gaz traceur. Cette 4^e phase représente la vidange des territoires supérieurs du poumon, avec une concentration élevée en gaz traceur.

Le volume compris entre le début de la phase 4 et le volume résiduel a été appelé plus tard volume de

enkel gevaar te lopen. Dat deze uitzonderlijke groep van rokers, die weerstand bieden aan de schadelijke invloeden van tabak, bestaan, werd onlangs bevestigd.

Nadien, heeft D. Stanescu, voor een groep van 122 normale personen van 19 tot 62 jaar oud, referentienormen opgesteld voor het stikstofgradient en de weergave ervan bestudeerd. Er bestaat een verband tussen de waarde van het stikstofgradient en de ouderdom, de alveolaire stikstofcurve zijnde meer uitgesproken bij de ouderen dan bij de jongeren, ongeacht het geslacht. Wat de asymptomatische rokers betreft, werden de vroegere gegevens bevestigd. De regressierechte van het stikstofgradient, in functie van de ouderdom, is beduidend groter bij de rokers.

Vanaf de ouderdom van 35 jaar, is het stikstofgradient statistisch groter bij de rokers als bij de niet-rokers.

De weergave van het stikstofgradient — essentieel gegeven voor langdurige studies — is zeer goed ; het verschil tussen twee metingen, na een lange of korte tijdsinterval, is klein en statistisch niet beduidend.

De meting van de alveolaire stikstofcurve kende, in het recent verleden, een vernieuwde interesse en meerdere auteurs bevestigen er de gevoeligheid van. Door een licht verschillende techniek te gebruiken, bij 530 rokers met en zonder symptomen, vonden Buist en Ross dat 11 % onder hen een ESW hadden die lager lag dan de theoretische waarde, terwijl bij 47 % de alveolaire curve abnormaal hoog was.

b. Sluitingsvolume

Het sluitingsvolume is een directe toepassing van proeven gedaan met radio-isotopen om de verdeling van de ventilatie te bestuderen.

Wanneer van het residueel volume een klein gedeelte inert gas wordt ingeademd, verdeelt dit zich op een preferentiële manier in het bovenste gedeelte van de longen. Aldus ontstaat er, op het einde van de inspiratie, een concentratieverschil tussen de apex en de basis. De uitleg die voor deze selectieve verdeling van de ingeademde lucht wordt voorgesteld is de sluiting van de luchtwegen aan de basis bij het begin van de inademing. Bij de daaropvolgende uitademing kunnen, op een grafiek concentratie-uitgeademd volume, 4 fasen worden waargenomen : de laatste fase komt overeen met een meer uitgesproken verhoging van de concentratie van het « tracer » gas. Deze 4^e fase vertegenwoordigt het ledigingsproces van de bovenste longdeeltjes waarin een hoge gasconcentratie aanwezig is.

Het volume tussen het begin van de fase 4 en het residueel volume werd later sluitingsvolume ge-

fermeture et il est exprimé en pourcentage de la capacité vitale ; la phase 4 plus le volume résiduel, c'est la capacité de fermeture, exprimée en pourcentage de la capacité totale.

Il n'y a pas de consensus dans la littérature quant à savoir si le volume de fermeture est dû à une fermeture anatomique des voies aériennes, ou à un arrêt de vidange de la base, les conduits bronchiques restant ouverts.

Si l'on accepte l'hypothèse d'une fermeture anatomique, elle n'est possible que si la pression transmurale de ces voies aériennes est négative, c'est-à-dire que la pression extérieure est plus élevée que celle existant à l'intérieur des bronches. De fait, en fin d'expiration, la pression pleurale est positive à la base et ceci peut expliquer la fermeture des voies aériennes. A un débit d'air nul ou pour des débits faibles, la pression pleurale est égale à la pression élastique pulmonaire, qui devient ainsi l'un des facteurs déterminants du volume de fermeture.

Une augmentation du volume de fermeture avec l'âge a été rapportée par plusieurs auteurs, dont Desmedts et D. Stanescu. Elle va de pair avec la diminution classique, en fonction de l'âge, de la pression élastique pulmonaire chez le sujet normal.

Différentes techniques sont utilisées pour mesurer le volume de fermeture. Elles peuvent être classées dans deux catégories. La première, appelée la méthode du « bolus », est celle qu'on vient de décrire, le gaz utilisé étant l'hélium, l'argon ou le xénon radioactif.

La deuxième technique, dite technique du gaz résiduel, est basée sur la dilution de l'azote alvéolaire par l'oxygène inspiré, en fait le test de Fowler déjà décrit.

La concentration d'azote est partout la même dans le poumon. Toutefois, à la fin de l'expiration, le volume résiduel régional à l'apex est plus grand qu'au niveau de la base. Pendant l'inhalation d'oxygène, les parties supérieures du poumon reçoivent moins de O_2 que les parties inférieures : en fin d'inspiration, la concentration d'azote sera donc plus grande à l'apex qu'à la base. La fermeture des voies aériennes, vers la fin de l'expiration, permettra d'éliminer des parties supérieures du poumon de l'air à concentration élevée d'azote.

A priori, les deux types de techniques peuvent fournir des résultats différents, puisque la distribution régionale du volume résiduel peut changer indépendamment de la fermeture des voies aériennes.

La technique de dilution de l'azote alvéolaire a fourni, chez des sujets normaux, des valeurs de VF comparables à celles obtenues par la technique du

noemd en wordt uitgedrukt in percent van de vitale capaciteit ; de fase 4 samen met het residueel volume vormen de sluitingscapaciteit, uitgedrukt in percent van de totale longcapaciteit.

In de literatuur bestaat er geen consensus over de vraag of het sluitingsvolume te wijten is aan een anatomische sluiting van de kleine luchtwegen of aan een stilstand van de lediging van de longbasis terwijl de bronchi open blijven.

Indien men de hypothese van anatomische sluiting aanvaardt, is deze enkel mogelijk wanneer de transmurale druk van deze luchtwegen negatief is, d.w.z. dat de druk hoger is aan de buiten- als aan de binnenzijde van de bronchi. In feite is, op het einde van een expiratie, de pleurale druk positief aan de basis, hetgeen de sluiting van de luchtwegen kan verklaren. Bij zwakke- of nuldebieten is de pleurale druk gelijk aan de elastische longdruk die aldus één van de determinerende factoren wordt van het sluitingsvolume.

Meerdere auteurs, waaronder Desmedt en Stanescu, zijn de mening toegedaan dat het sluitingsvolume met de ouderdom toeneemt. Deze toename gaat gepaard met de klassieke vermindering in functie van de ouderdom, van de elastische longdruk bij normale personen.

Verschillende technieken worden aangewend voor het meten van het sluitingsvolume. Ze kunnen in twee categorieën worden gerangschikt. De eerste kreeg de benaming van « bolusmethode » (zie verder hierboven beschreven) ; het gas dat wordt gebruikt is helium, argon of radioactief xénon.

De tweede techniek, de zogenaamde residueel gastest, is gebaseerd op de mengeling van alveolaire stikstof door de ingeademde zuurstof ; in feite is dit de Fowlertest die reeds eerder beschreven is.

De stikstofconcentratie is dezelfde over het ganse longveld. Nochtans is, op het einde van de expiratie, het lokaal residueel volume aan de apex groter dan het volume aan de basis. Gedurende de inadaming krijgen de bovenste longdelen minder O_2 dan de onderste : op het einde van de inadaming is de stikstofconcentratie dus groter bij de apex dan aan de basis. De sluiting van de luchtwegen op het einde van de expiratie, laat toe dat de lucht met een hoog stikstofgehalte uit de bovenste longdelen wordt verwijderd.

A priori kunnen de twee technieken verschillende resultaten opleveren, vermits de lokale verdeling van het residueel volume kan veranderen, zonder de invloed van de sluiting van de luchtwegen te ondergaan.

De techniek van « mengeling van de alveolaire stikstof » bij normale personen, gaf, voor wat betreft het sluitingsvolume, waarden die met deze van c

us. Ceci a été confirmé récemment par des mesur-
simultanées du volume de fermeture à l'aide de
deux types de techniques.

la méthode à l'azote est beaucoup plus simple et
ins coûteuse, ce qui facilite la mesure du volume
fermeture dans les enquêtes de masse.

la méthode à l'azote a toutefois un désavantage :
début de la phase 4 est plus difficile à préciser, ce
introduit une erreur d'interprétation. Ceci est dû
fait que le gradient de concentration apex-base est
s un rapport de 2 à 1 seulement pour la technique
zote et de 15 à 1 pour la technique du bolus. Pour
menter le gradient d'azote entre la base et le
met, on a adopté une suggestion de Milic-Emili :
sujet inspire d'abord 600 ml d'air (donc 80 %
zote) et ensuite inhale de l'oxygène pur. Cette
dification augmente la précision de lecture du vo-
me de fermeture.

McCarty et ses collègues, les premiers, ont signalé
augmentation du volume de fermeture chez des fu-
urs, ayant pour la plupart des symptômes de
nchite chronique, mais dont la spiropgraphie et la
stance des voies aériennes étaient normales.

Cette même constatation a été faite chez les fu-
urs qui tous étaient asymptomatiques. Chez 32
ets en bonne santé, dont la moitié était des fu-
urs asymptomatiques, on a mesuré divers indices
ctionnels. Seul le volume de fermeture permettait
séparer les fumeurs des non-fumeurs ; 4 fumeurs
16 avaient un volume de fermeture supérieur à la
male, alors que tous les autres indices étaient
maux. On a aussi constaté que le volume de
meture est un test plus sensible que les débits
iratoires maximaux, ce qui a été confirmé ulté-
rement.

Deux facteurs peuvent expliquer l'augmentation du
ume de fermeture dans les premiers stades de la
eumopathie obstructive, soit une diminution de la
ssion élastique pulmonaire favorisant une ferme-
e plus précoce des voies aériennes, soit des modi-
tions des propriétés mécaniques des voies aé-
nes qui se ferment plus tôt, en dépit d'une pres-
n transmurale normale.

ans un groupe de jeunes fumeurs, on n'a pas
uvé de modifications de la compliance pulmonaire
ique ou de la pression maximale négative, par
port à un groupe contrôle. Ces résultats rejoignent
x d'Ingram qui a mesuré simultanément le volume
fermeture et la pression élastique pulmonaire : il
ibue l'augmentation du volume de fermeture chez
fumeurs à des modifications des propriétés méca-
ues de la paroi bronchique.

« bolustechniek » kunnen worden vergeleken. Dit
werd recent bevestigd door simultane metingen van
het sluitingsvolume gedaan met de twee verschil-
lende technieken.

De stikstofmethode is eenvoudiger en minder kos-
telijk, hetgeen de meting van het sluitingsvolume
vergemakkelijkt tijdens massa-onderzoeken.

De stikstofmethode heeft echter een nadeel : men
kan het begin van de fase 4 moeilijk bepalen, hetgeen
interpretatiefouten kan geven. Dit is te wijten aan het
feit dat het concentratiegradiënt apex-basis maar in
een verhouding 2 tot 1 staat voor de stikstofmethode,
waar ze voor de « bolusmethode » een verhouding
15 tot 1 aanneemt. Om het stikstofgradiënt te ver-
meerderen tussen de basis en de top, heeft Milic Emili
de volgende suggestie gedaan : men laat de persoon
in kwestie eerst 600 ml lucht inademen (dus 80 %
stikstof) en vervolgens zuiver zuurstof. Door deze
wijziging kan het sluitingsvolume met meer precisie
worden afgelezen.

McCarty et al. waren de eersten die melding
maakten van de toename van het sluitingsvolume bij
rokers die voor het grootste gedeelte symptomen
vertoonden van chronische bronchitis, maar waarvan
de spiropgrafische parameters en de weerstand van de
luchtwegen normaal waren gebleven.

Dezelfde waarnemingen werden gedaan bij
asymptomatische rokers. Men heeft bij 32 gezonde
personen, waarvan de helft asymptomatische rokers
waren, verschillende funktionele indices gemeten.
Alléén het sluitingsvolume kon weerhouden worden
als test om de rokers te scheiden van de niet-rokers ;
4 rokers op 16 hadden een sluitingsvolume boven het
normale, terwijl al de andere indices normaal waren.
Men heeft ook kunnen achterhalen dat het slui-
tingsvolume een meer gevoelige test is dan het meten
van de maximale expiratoire debieten ; dit werd na-
dien bevestigd.

Twee factoren kunnen de toename van het slui-
tingsvolume in de beginstadia van het obstructief
syndroom uitleggen ; hetzij een vermindering van de
elastische longdruk die een vroegtijdige sluiting van
de luchtwegen zou bevorderen, hetzij wijzigingen van
de mechanische eigenschappen van de luchtwegen
die zich eerder afsluiten, niettegenstaande een
normale transmurale druk.

Bij een groep van jonge rokers heeft men geen
wijzigingen aangetroffen van de statische long-
compliance of van de negatieve maximale druk, ten
overstaan van een referentiegroep. Deze resultaten
bevestigen deze van Ingram die gelijktijdig het slui-
tingsvolume en de elastische longdruk heeft geme-
ten : de toename van het sluitingsvolume bij de ro-
kers kan, volgens hem, worden toegeschreven aan
wijzigingen van de mechanische eigenschappen van
de longwand.

Au contraire, Hoepfner a trouvé une diminution de la pression élastique pulmonaire chez les fumeurs, dont le volume de fermeture était également accru ; il attribue cette augmentation à une diminution de l'élasticité pulmonaire.

Ces résultats ne sont pas nécessairement contradictoires : ils suggèrent que, dès le début, la maladie peut évoluer dans deux directions : soit une atteinte de l'arbre bronchique et en premier lieu des petites bronches, soit une atteinte parenchymateuse conduisant à l'emphysème.

L'hypothèse, actuellement en vogue, suggère que les patients avec bronchite chronique et emphysème sont issus d'un groupe de sujets ayant une atteinte des petites voies aériennes, identifiée par une augmentation du plateau alvéolaire de la courbe expiratoire d'azote et par une augmentation du volume de fermeture. Cette hypothèse ne pourra être confirmée ou infirmée de manière définitive que par des études de type longitudinal.

Hoepfner heeft daarentegen een vermindering gevonden van de elastische longdruk bij de rokers waarbij het sluitingsvolume eveneens vermeerderd was ; hij schrijft deze vermeerdering toe aan een vermindering van de elasticiteit van de longen.

Deze uitslagen zijn niet noodzakelijk tegenstrijdig ; zij suggereren dat, vanaf het begin, de ziekte kan evolueren in twee verschillende richtingen : hetzij een aantasting van de bronchiale boom en op de eerste plaats van de kleine bronchi, hetzij een aantasting van het longparenchym met als gevolg emfyseem.

De op dit ogenblik meest aanvaarde hypothese suggereert dat patiënten met chronische bronchitis en emfyseem uit een groep van mensen komen die een ziekte van de kleine luchtwegen hadden ; de ziekte kon worden vastgesteld door een vermeerdering van de helling van het alveolair plateau van de expiratoire stikstofkurve en door een toename van het sluitingsvolume. Deze hypothese zal slechts definitief bevestigd of verworpen kunnen worden door vergelijkende studies die in de loop der jaren de evolutie volgen.

II. TRAVAUX DE LA SECTION TECHNIQUE II. WERKEN VAN DE TECHNISCHE AFDELING

1. Conimétrie. Lutte contre les poussières 1. Konimetrie. Stofbestrijding

A. PRELEVEMENT EXAMEN. ANALYSE DES POUSSIÈRES

a. Mesures gravimétriques de routine

Le nombre de prélèvements effectués au cours de l'année dans les chantiers souterrains a augmenté légèrement et s'élève à 1102. Cet accroissement résulte de la mise en application en fin d'année d'une nouvelle réglementation (1) qui impose notamment un triple contrôle mensuel des empoussiérages en taille.

Les résultats obtenus dans les 96 postes d'abattage différents contrôlés en dernier lieu suivant l'ancien règlement se répartissent selon des distributions (fig. 1) caractérisées par les valeurs médianes (m_K) et les dispersions relatives (s_K) suivantes :

concentration globale : $m_K = 15,5 \text{ mg/m}^3$,
 $s_K = 1,89 (8,2 - 29,3)$
 teneur en cendres : $m'_K = 31 \%$
 $s'_K = 1,71 (18,1 - 53,0)$

A. OPNAME. ONDERZOEK. STOFONTLEDING

a. Gravimetrische routinemetingen

Het aantal opnamen tijdens het jaar in de ondergrondse werkplaatsen uitgevoerd, is lichtjes toenomen en bedraagt 1102. Deze aangroei is het gevolg van de toepassing op het einde van het jaar van een nieuwe reglementatie (1), die namelijk een drievoudige maandelijkse controle van de stofgehalten in de pijler oplegt.

De bekomen resultaten in de 96 verschillende aanbouwposten, die nog volgens het oud reglement werden gecontroleerd, worden ingedeeld (fig. 1) en gekenmerkt door de volgende meetkundige gemiddelden (m_K) en relatieve afwijkingen (s_K) :

globale concentratie : $m_K = 15,5 \text{ mg/m}^3$
 $s_K = 1,89 (8,2 - 29,3)$
 asgehalte : $m'_K = 31 \%$
 $s'_K = 1,71 (18,1 - 53,0)$

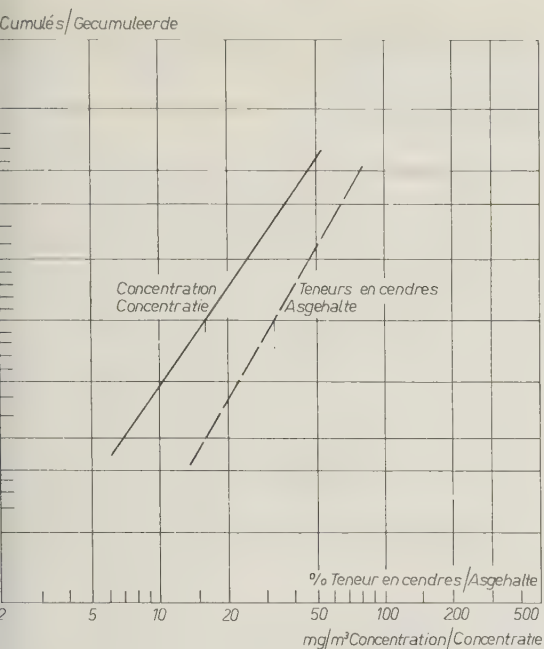


Fig. 1.
Répartition des concentrations gravimétriques et des teneurs en cendres — Situation d'ensemble à la fin de 1975.
Verdeling van de gravimetrische concentraties en van de asgehalten. — Toestand op het einde van 1975.

ur une production moyenne par poste contrôlé de 3 tonnes nettes et un débit d'air moyen égal à 10,8 m³/s. Il y a ainsi en fin d'année 1975 : 81,25 % des postes d'abattage en classe I, 16,7 % en classe II, 1 poste sur les 96 en classe III et un autre en classe IV (1,04 %), soit 97,9 % en classes I et II (au lieu de 98,3 % l'an dernier).

Le diagramme de classement des empoussiérages imposé par la réglementation minière belge, est reproduit à la figure 2 ; le rectangle encadrant le point représentatif des valeurs médianes délimite une por-

voir een gemiddelde produktie per gekontroleerde post van 243 netto-ton en een gemiddeld luchtdebiet van 10,8 m³/s. Op het einde van het jaar 1975, bekomt men aldus dat 81,25 % van de afbouwposten tot klas I behoren, 16,7 % tot klas II, 1 post op de 96 tot klas III en één andere > III (1,04 %), wat overeenkomt met 97,9 % voor de categorieën I en II (in plaats van 98,3 % vorig jaar).

Het diagram voor de klassering van de stofgehalten, opgesteld volgens de Belgische mijnreglementering, wordt voorgesteld in fig. 2 ; de rechthoek die het representatief punt van de middenwaarde

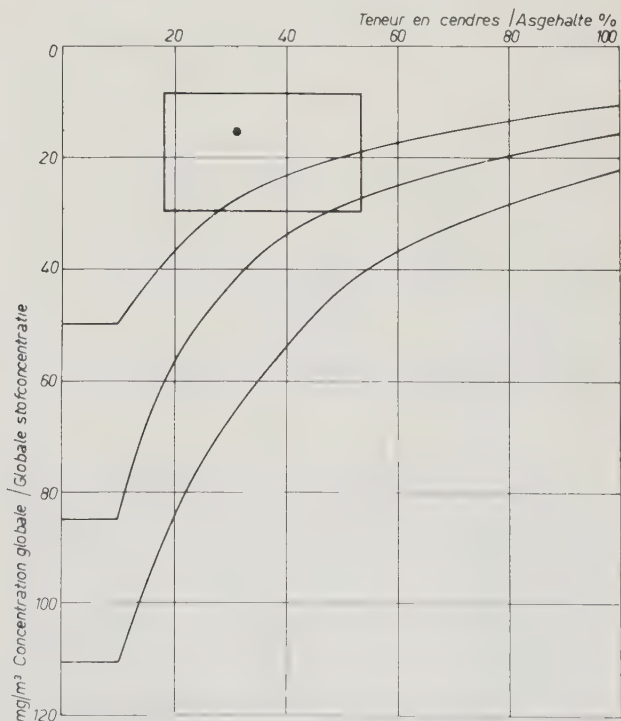


Fig. 2.
Résultats des mesures gravimétriques de routine pour l'ensemble des bassins à la fin de 1975.
Resultaten van de gravimetrische routinemetingen voor het geheel van de bekkens op het einde van 1975.

tion de ce diagramme dans laquelle on trouve 2 résultats sur 3.

L'évolution au cours des 5 dernières années se traduit de la façon suivante, pour l'ensemble du pays :

fin 1971 : 19 mg/m³ — 29,5 % cendres
pour 247 tn/p et 8,8 m³/s
fin 1972 : 17,5 mg/m³ — 30,5 % cendres
pour 232 tn/p et 9,1 m³/s
fin 1973 : 16 mg/m³ — 30,0 % cendres
pour 213 tn/p et 9,1 m³/s
fin 1974 : 16 mg/m³ — 29,2 % cendres
pour 241 tn/p et 9,8 m³/s
fin 1975 : 15,5 mg/m³ — 31,0 % cendres
pour 243 tn/p et 10,8 m³/s.

Par contre, la situation dans les différents bassins au 1^{er} novembre 1975, est comparée dans le tableau I.

Pour apprécier la validité d'un tel clichage de la situation à un moment donné (1^{er} novembre 1975), on a calculé quelles étaient les concentrations moyennes pondérées annuelles. En Campine notamment, 324 postes d'abattage au total ont été contrôlés et leur classement représente une période cumulée de 386 mois d'exploitation, pour 57 chantiers différents.

En prenant comme coefficients de pondérations les périodes pendant lesquelles les mesures représentent la situation de l'empoussiérage des chantiers considérés, les moyennes des concentrations en poussières et des teneurs en cendres, s'élèvent respectivement à 18,95 mg/m³ et 33,3 % cendres.

omgeeft, begrenst een deel van dit diagram waar zich 2 resultaten op 3 bevinden.

De evolutie tijdens de laatste 5 jaren is voor geheel het land de volgende :

einde 1971 : 19 mg/m³ — 29,5 % as
voor 247 nt/p en 8,8 m³/s
einde 1972 : 17,5 mg/m³ — 30,5 % as
voor 232 nt/p en 9,1 m³/s
einde 1973 : 16 mg/m³ — 30,0 % as
voor 213 nt/p en 9,1 m³/s
einde 1974 : 16 mg/m³ — 29,2 % as
voor 241 nt/p en 9,8 m³/s
einde 1975 : 15,5 mg/m³ — 31,0 % as
voor 243 nt/p en 10,8 m³/s.

Daarentegen, wordt in tabel I de toestand in de verschillende bekkens op 1 november 1975 vergeleken.

Om de geldigheid van zulk een momentopname (1^{er} november 1975) na te gaan, heeft men de jaarlijkse gewogen gemiddelde concentraties berekend. In de Kempen werden namelijk in het totaal 324 bouwposten gecontroleerd en vertegenwoordigt het klassement een gecumuleerde periode van 386 maanden uitbating voor 57 verschillende werkplaatsen.

Wanneer men als wegingscoëfficiënten de periodes neemt tijdens dewelke de metingen de toestand van het stofgehalte van de beschouwde werkplaatsen vertegenwoordigen, dan verhogen de gemiddelde concentraties en asgehalten respectievelijk tot 18,95 mg/m³ en 33,3 % as.

TABLEAU I. — Comparaison des résultats des mesures gravimétriques de routine
TABEL I. — Vergelijking van de resultaten van gravimetrische routine-metingen

	Campine Kempen	Sud Zuiden	Total Totaal	
Nombre de chantiers différents Contrôlés en dernier lieu	58	38	96	Aantal verschillende gecontroleerde werkplaatsen
Concentration médiane (mg/m ³)	15	± 15	15,5	Meetkundig gemiddelde concentratie (mg/m ³)
s_c	2	± 2,0	1,89	s_c
% cendres médian	27,2	± 38	31	Meetkundig gemiddeld asgehalte
s_k	1,55	± 1,85	1,71	s_k
Production moyenne tn/p Débit moyen m ³ /s	315,9 13,0	134,6 7,3	243 10,8	Gemiddelde produktie nt/p Gemiddeld debiet m ³ /s
% chantiers en classe I classe II classe III classe > III	86,2 10,3 1,7 1,7	73,7 26,3 0 0	81,25 16,70 1,0 1,0	% werkplaatsen in klas I klas II klas III klas > III

Par ailleurs, à partir des valeurs médianes et des types géométriques des distributions des concentrations et des teneurs en cendres des 58 postes échantillonnés en dernier lieu en Campine, on peut estimer les valeurs moyennes de ces échantillons. L'estimation de Sichel donne :

la moyenne des concentrations : $18,96 \text{ mg/m}^3$
la teneur en cendres moyenne : $29,9 \%$.

Au seuil de confiance de 95% , on peut dès lors dire que les vraies valeurs correspondant à la population des mesures de l'année écoulée se trouvent dans les intervalles suivants :

pour la moyenne des concentrations :
de $15,6$ à $25,15 \text{ mg/m}^3$ et
pour la teneur en cendres moyenne :
de $26,6$ à $33,65 \%$,

intervalles qui contiennent les moyennes pondérées des précédemment.

On peut admettre que les échantillons considérés au 1^{er} novembre, malgré leurs imperfections, sont représentatifs de la situation qui était celle de l'année écoulée.

D'autre part, depuis un an, en Campine, 42% des chantiers sont restés en classe I, alors que $26,3 \%$ ont été classés au moins une fois en classe II et 21% au moins une fois en classe III ; $10,5 \%$ ont dépassé la classe (situation se produisant généralement au démarrage des tailles dans 6 cas sur 57).

Dans les bassins du Sud, un seul chantier a été classé une fois en classe III depuis un an, et tous les autres sont restés en classe I ou II.

Il importe de rappeler à cet égard que le clichage de la situation, effectué au début de l'année 1965, avait donné les résultats suivants pour l'ensemble du pays :

la concentration médiane : 47 mg/m^3
la teneur en cendres : $23,5 \%$,

pour une production moyenne de 135 tn par poste contrôlé.

L'amélioration des conditions de travail est incontestable ; elle correspond, depuis 1965, à une réduction des empoûssiérages moyens de l'ordre de 50% et elle se traduit sur le plan médical par la diminution des valeurs de prévalence et d'incidence pneumoconiotiques.

b. Comportement des fibres d'asbeste

Le dispositif de mise en suspension de poussières et le capteur CPM₃ décrits l'année dernière (2) ont été employés conjointement pour fabriquer des aérosols d'asbeste. Les fractions obtenues ont été examinées au microscope : les fibres groupées en faisceau se retrouvent bien dans la fraction grossière, mais les

Beschoouwt men anderzijds de meetkundige gemiddelden en de meetkundige standaardafwijkingen van de stofconcentraties en asgehalten van de 58 verschillende en voor het laatst gecontroleerde afbouwposten in de Kempen, dan kan men de gemiddelde waarden van deze monsters schatten. De schatting van Sichel geeft :

gemiddelde van de concentraties : $18,96 \text{ mg/m}^3$
gemiddelde asgehalten : $29,9 \%$.

Met een vertrouwingsniveau van 95% kan men zeggen dat de echte waarden, die overeenstemmen met het globaal aantal metingen van het afgelopen jaar, zich in de volgende intervallen bevinden :

voor het gemiddelde van de concentraties :
van $15,6$ tot $25,15 \text{ mg/m}^3$ en
voor de gemiddelde asgehalten :
van $26,6$ tot $33,65 \%$,

intervallen die de gepondereerde gemiddelden, hierboven aangehaald, bevatten.

Men mag aannemen dat de monsters van 1 november, niettegenstaande hun onvolmaaktheden, representatief zijn voor de toestand van het verlopen jaar.

Van de andere kant zijn in de Kempen, sedert één jaar, 42% van de werkplaatsen in klas I gebleven, terwijl $26,3 \%$ tenminste één keer in klas II werden geklasseerd en 21% tenminste één keer in klas III ; $10,5 \%$ hebben deze categorie overschreden (deze toestand doet zich over het algemeen voor bij het starten van de pijlers in 6 gevallen op de 57).

In de bekkens van het Zuiden, werd sedert een jaar een enkele werkplaats een keer in categorie III aangetroffen ; al de anderen zijn in klas I of II gebleven.

In dit opzicht is het van belang te herinneren dat de toestand, bij het begin van het jaar 1965, voor geheel het land de volgende was :

meetkundig gemiddelde : 47 mg/m^3
asgehalte : $23,5 \%$

voor een gemiddelde produktie van 135 n.t. per gecontroleerde post.

Een verbetering van de werkvoorwaarden, sedert 1965, stemt ontegensprekelijk overeen met een vermindering van gemiddeld 67% van de stofgehalten en komt op gebied van stoflongen tot uiting door een vermindering van prevalentie- en incidentiewaarden.

b. Gedragingen van asbestvezels

Het toestel om stof in suspensie te brengen en de stofvanger CPM₃, vorig jaar beschreven (2), werden samen gebruikt om, asbestaërosols te produceren. De bekomen fracties werden onder de microscoop onderzocht. De vezels, enerzijds gegroepeerd in een bundel, anderzijds in afzonderlijke staat, worden

fibres « fourchues » se répartissent entre les deux lots et de nombreuses fibres simples font partie de la fraction « respirable ». On s'est efforcé de dénombrer les fibres en fonction de leur largeur et de leur longueur ; elles ont été caractérisées selon Walkenhorst (3) par leur diamètre équivalent

$$D_e = \sqrt[3]{(3/2)D^2L}$$

où D est le diamètre de la fibre et L sa longueur. En rapportant les résultats à la composition totale, on trouve que les poussières se comportant comme « respirables » dans l'appareil comprennent 80 ... 70 % des fibres de longueur inférieure à 50 μm (D_e variant de 1,1 à 6,7 μm) et encore 60 % des fibres plus longues (jusqu'à plus de 130 μm). La composition hétérogène de cette fraction fine milite en faveur de la méthode employée au Staubforschungsinstitut de Bonn ; celle-ci se base en effet sur la masse de poussières respirables captées (appareil Gravikon VC 25) plutôt que sur le nombre de fibres d'un certain diamètre (4).

c. Mesure de la pollution atmosphérique générale

On a décrit l'année dernière (2) l'appareil automatique « SF » (Soufre-Fumées) installé à l'Institut d'Hygiène des Mines et discuté les résultats moyens de la pollution due aux fumées sur une période de un an. L'attention s'est portée depuis sur l'étude des mesures enregistrées pendant la « mauvaise saison », période pendant laquelle le chauffage domestique a l'occasion d'intervenir dans la pollution générale. On a tenu compte des indications fournies par un thermomètre enregistreur placé sous un abri météorologique au centre du jardin de l'Institut et normalisé le calcul de l'indice de froid I_F (proportionnel à la somme des écarts des températures bi-horaires par rapport à 18 et non plus à 15°C) ; les résultats disponibles s'étalent du 26 novembre 1974 au 30 avril 1975. L'analyse de variance appliquée aux mesures permet de retrouver l'influence bénéfique de la pluie, déjà mise en évidence à propos des fumées, et d'étendre cette propriété à la pollution par SO_2 . Les figures 3 et 4 représentent l'évolution de ces deux types de pollution en fonction de l'indice de froid et pour trois valeurs de la pluviosité moyenne. Malgré une certaine dispersion des points expérimentaux, la variation d'inclinaison des droites représentatives fait nettement ressortir l'influence de la pluie, même dans le cas de faibles précipitations. Par ailleurs, on a installé un deuxième appareil SF de façon à prélever l'air dans une rue située à l'opposé du jardin par rapport au bâtiment de l'Institut d'Hygiène des Mines. Quoique ces mesures soient encore en cours d'étude, on peut signaler que, pour la pé-

respectievelijk in de grove en inadembare fracties teruggevonden, doch de « gespleten » vezels werden tussen de twee loten verdeeld. Men heeft getracht de vezels in functie van hun breedte en hun lengte te tellen ; zij worden volgens Walkenhorst (3) gekenmerkt door hun equivalente doormeter.

$$D_e = \sqrt[3]{(3/2)D^2L}$$

waar D de diameter van de vezel is en L de lengte. Wanneer de resultaten teruggebracht worden tot een totale samenstelling, vindt men dat de stofdeeltjes zich gedragen als « inadembare » in het toestel, ... 70 % van de vezels bevatten waarvan de lengte kleiner is dan 50 μm (D_e varieert van 1,1 tot 6,7 μm) en daarbij steeds 60 % vezels tot meer dan 130 μm . De heterogene samenstelling van deze fijne fractie valt in het voordeel uit van de methode die door het Staubforschungsinstitut van Bonn gebruikt wordt. Dit baseert zich inderdaad eerder op de massa opgenomen inadembare stofdeeltjes (toestel Gravikon VC 25) dan op het aantal vezels van een zekere doormeter (4).

c. Meting van de algemene atmosferische luchtverontreiniging

Vorig jaar (2) hebben we het automatisch toestel « SF » (Rook-Zwavel) beschreven dat door het Instituut voor Mijnhygiëne werd geïnstalleerd, en de gemiddelde resultaten (over een periode van een jaar) van de verontreiniging te wijten aan rook besproken. Onze aandacht ging sedertdien naar de studie van de metingen uitgevoerd gedurende het « slechte seizoen » wanneer de huisverwarming de gelegenheid had om in de algemene verontreiniging een rol te spelen. Men heeft rekening gehouden met de aanduidingen van de registreer-thermometer onder een meteorologische hut geplaatst werd in het midden van de hof van het Instituut, gelegen aan het achterkant van het gebouw ; de rekening van de koude-index werd tevens genormaliseerd (evenredig met de som van de twee-uurlijkse temperatuurverschillen, in vergelijking met 18° en niet meer met 15°C) ; de beschikbare resultaten gaan van 26 november 1974 tot 30 april 1975. De variantieanalyse toegepast op de metingen, laat toe de voordelige invloed van de regen, welke reeds op de voorgroef geplaatst werd naar aanleiding van de rook, terug te vinden en de gunstige uitwerking van deze eigenschap op de verontreiniging door SO_2 te kunnen vaststellen. De figuren 3 en 4 illustreren de evolutie van deze twee typen verontreiniging in functie van de koude-index en, voor drie waarden, van de gemiddelde regenval.

Niettegenstaande een zekere verspreiding van de experimentele punten, doet de helling-verandering van de representatieve rechten duidelijk de invloed

mées ($\mu\text{g}/\text{m}^3$) Rook

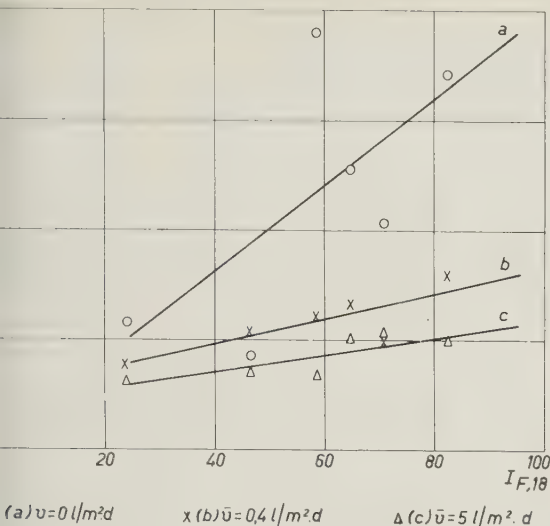


Fig. 3.

tion générale par les fumées en fonction de l'indice de froid, pour des pluviosités différentes.

meene pollutie door rook in functie van de koude-index, voor verschillende vormen van regenneerslag.

Acidité forte ($\mu\text{g}/\text{m}^3$) Sterke zuurheid

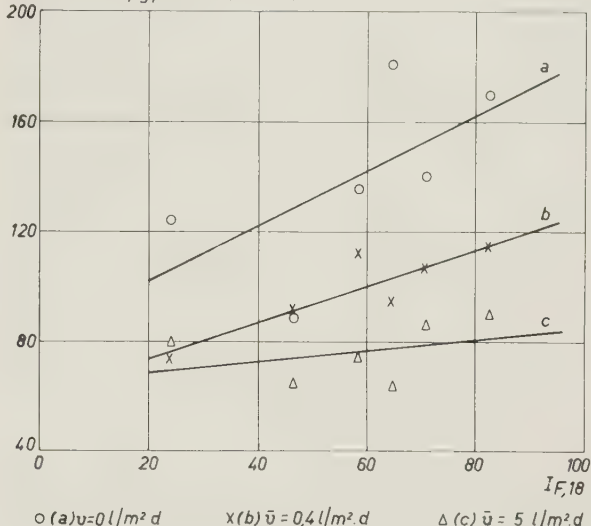


Fig. 4.

Pollution par SO_2 en fonction de l'indice de froid, pour des pluviosités différentes.

Pollutie door SO_2 in functie van de koude-index, voor verschillende vormen van regenneerslag.

de mai à septembre inclus, la pollution du côté est nettement moins élevée les jours fériés que les jours ouvrables, la réduction étant de l'ordre de 35 et 50 % respectivement pour les fumées et l'acidité ; en cette période de « bonne saison » où on ne peut mettre en cause le chauffage des locaux, la différence enregistrée est probablement due à une variation dans le trafic automobile.

ces variations montrent à suffisance que les seules mesures de fumées et de SO_2 peuvent être d'instrumentation difficile lorsqu'il s'agit de discuter les résultats d'enquêtes épidémiologiques faites notamment sur la bronchite chronique.

van de regen uitkomen, zelfs in geval van zwakke regen. Daarbuiten heeft men een tweede toestel SF geïnstalleerd om lucht op te nemen in een straat gelegen aan de voorkant van de gebouwen van het Instituut voor Mijnhygiëne. Ofschoon deze metingen nog niet beëindigd zijn, kan men doen opmerken dat, voor de periode van mei tot september inbegrepen, de pollutie aan de straatkant duidelijk minder hoog is op feestdagen dan op werkdagen.

Deze vermindering is van de orde van 35 en 18 % respectievelijk voor de rook en de sterk-zuurheid ; in deze periode van het « goede seizoen » waar de verwarming van de lokalen geen oorzaak meer kan zijn, is het vastgestelde verschil te wijten aan een verandering in het gemotoriseerd vervoer.

Deze variaties tonen voldoende aan dat de bruto-rook- en SO_2 -metingen moeilijk geïnterpreteerd kunnen worden, wanneer het gaat om de resultaten van epidemiologische onderzoeken vooral voor wat betreft de chronische bronchitis.

d. Travaux divers

En tant qu'organisme agréé pour la mesure de la pollution dans l'industrie, l'Institut d'Hygiène des Mines a été sollicité pour plusieurs expertises : poussiérométrie dans un atelier travaillant au phosphate, granulométrie et silice libre de poussières d'amiante, dosage du cyanure dans l'air d'un atelier de

d. Verschillende werkzaamheden

Het Instituut voor Mijnhygiëne werd als aangemoeten organisme voor de meting van de verontreiniging in de industrie, voor meerdere onderzoeken geraadpleegd : stofontwikkeling in een asbest-werkplaats, granulometrie en vrij silicium-dioxyde van eternitstof, doseren van cyanide in de lucht van

traitement de pièces métalliques, mesure d'aérosols chimiques (soude caustique, acide sulfurique) dans une usine de fabrication d'aluminium anodisé, mesure de la pollution par l'oxyde de carbone dégagé par des chariots dans une fabrique de réfractaires. Par ailleurs, le laboratoire a étudié la granulométrie de poussières de charbon en vue de la mise au point d'un élutriateur dans une sonde de mesure de température à installer dans les chantiers souterrains.

B. PROCÉDES DE LUTTE CONTRE LES POUSSIÈRES

Les essais sur le « Perfectionnement des moyens de lutte contre le grisou et les poussières » — par application du procédé de prétélé-injection d'eau en veine — se sont poursuivis au siège de Zolder des Kempense Steenkolenmijnen. Ils ont montré une fois de plus que la prétélé-injection, même si elle ne traite qu'un panneau de 250 à 300 m de longueur, est réellement efficace et qu'elle favorise la production tout en réduisant les empuissérages. Par ailleurs, il peut y avoir une diminution du dégagement spécifique de CH_4 sans majoration sensible du dégagement total.

— Les expériences signalées l'an dernier dans les panneaux 64/71 A et 71 B, au cours desquelles on a pu mettre en évidence une loi de progression du front d'eau en fonction du temps (2), ont permis d'établir que le déhouillement de la taille 64/71 A s'est fait :

en juin 1974, en couche traitée par prétélé-injection, au-dessus de la couche 71 B, non encore imprégnée ;

à partir de juin 1974 et ce, jusqu'en septembre, en couche traitée par prétélé-injection, au-dessus de la couche 71 B également prétélé-injectée.

On a notamment pu constater qu'à surfaces déhouillées égales (de 600 à 800 m²), le débit journalier de grisou passait de 11.550 m³ (en juin) à 9.510 m³ (à partir de juin), soit une diminution du dégagement total de 17,5 % en moyenne (de 22,2 à 13,5 %). La diminution des indices de désorption de la couche exploitée en 71 A (ce qui n'a d'ailleurs d'influence que sur le dégagement dit fondamental) ne peut justifier une telle réduction du dégagement total. Il semble donc que le dégagement de grisou soit plus faible lorsqu'une taille prétélé-injectée surplombe une couche également imprégnée d'eau par prétélé-injection (distance 8 à 10 m). Il faut signaler aussi, qu'à partir du moment où le front de la taille 64/71 A a atteint le « front d'eau », à 200 m du point d'impact du sondage d'adduction, et sans autre pré-

een werkhuis waar metalen stukken behandeld werden, meting van scheikundige aerosolen (natriumhydroxyde, zwavelzuur) in een fabriek waar aluminium behandeld, meting van de pollution door koolstofmonoxyde, afkomstig van de voervoerwagens in een fabriek van vuurvaste stoffen. Overigens heeft het laboratorium de granulometrie van kolenstof bestudeerd om de op-puntstelling te bereiken van een elutriator in een sonde bestemd voor temperatuursmeting in de ondergrondse werken.

B. STOFBESTRIJDINGSPROCEDES

De proeven over de « vervolmaking van de bestrijdingsmiddelen tegen mijngas en stof » — door toepassing van het procédé van de pretele-injectie in laag — werden voortgezet in de zetel Zolder van Kempense Steenkolenmijnen. Ze hebben eens meer aangetoond dat de pretele-injectie, zelfs indien enkel een paneel van 250 à 300 m lengte behandeld wordt, werkelijk doelmatig is en dat zij de produktie bevordert met daarbij een vermindering van het stofgehalte. Daarbuiten, kan men er een vermindering van de specifieke gasuitstroming van CH_4 verkrijgen zonder een gevoelige vermeerdering van de totale gasontwikkeling.

— De reeds vermelde proeven van vorig jaar in panelen 64/71 A en 71 B, tijdens dewelke men een wet van voortplantingssnelheid van het waterfront en de functie van de tijd (2) heeft kunnen opstellen, hebben toegelaten te bevestigen dat de ontginning van pijler 64/71 A heeft plaats gegrepen :

in juni 1974 in een behandelde laag met pretele-injectie, boven een nog niet behandelde laag 71 B, vanaf juni 1974 en dit tot in september, in een laag behandeld met pretele-injectie, boven een vooraf ingespoten zone van 71 B.

Men heeft vooral kunnen vaststellen dat, voor gelijke ontgonnen oppervlakten (600 tot 800 m²), het dagelijks mijngasdebiet van 11.550 m³ (in juni) tot 9.510 m³ (vanaf juni) afnam, hetzij een vermindering van de totale gasuitstroming van gemiddeld 17,5 % (van 22,2 % tot 13,5 %). De vermindering van de desorptie-indices van de ontgonnen laag 71 A (hetgeen enkel invloed heeft op de fundamentele gasuitstroming) kan een zodanige vermindering van gasontwikkeling niet verrechtvaardigen. Het schijnt dus dat de mijngasuitstroming zwakker wordt wanneer een vooraf ingespoten pijler een laag overlapt, eveneens met pretele-injectie behandeld wordt (afstand 8 à 10 m). Men moet ook vermelden, dat van het ogenblik waar het pijlerfront 64/71 A het waterfront heeft bereikt, op 200 m van het impactpunt van de toevoerboring, en zonder een andere preve-

tion que la prétélé-injection, les concentrations en poussières globales ont été inférieures à 30 mg/m³ pour une production de 1147 tonnes nettes par jour, en juin (ces teneurs en poussières globales correspondant à 6 ... 7 mg/m³ de poussières « respirables » captées au moyen d'un appareil de type MRE).

— Malgré l'arrêt prématuré de la prétélé-injection sur le panneau 02/77 (par suite d'une rupture de réalimentation due à un manchon défectueux), les prélevements se sont poursuivis en taille pour pouvoir apprécier l'injectabilité de cette couche, l'essai devant consister à comparer une zone traitée à proximité du montage à une zone située au-delà du sondage de production d'eau. Les teneurs en humidité mesurées sur des blocs de charbon in situ et sur le 0/10 brut prélevé à l'abattage ont montré que la quantité d'eau injectée relativement faible (169 m³) avait cependant provoqué un accroissement de la teneur moyenne en eau du massif sur une centaine de mètres de chassee : ... 2,5 % ... sur 0/10, en février et mars 1975, au lieu de 2,1 à 2,2 % sur 0/10, en novembre 1974 et mai 1975.

Les performances réalisées dans le chantier ont été meilleures lorsque le front de taille a atteint la zone traitée ; l'avancement moyen journalier est passé de 2,9 m en janvier, à 2,42 m en février, 2,71 m en mars pour redescendre à 2,31 m en avril (sondage de production repéré en taille le 10 mars). Durant ces 4 mois, les productions moyennes journalières brutes nettes ont évolué comme suit :

janvier :	1775 tb et 1158 nt
février :	2010 tb et 1303 nt
mars :	2168 tb et 1374 nt
avril :	1875 tb et 1255 nt

En zone partiellement traitée (février-mars), les productions ont été majorées de l'ordre de 16 à 17 % par rapport à celles de janvier et avril.

— Un essai de prétélé-injection partielle a également été réalisé dans le panneau 72/71 A. Malgré la faible quantité d'eau mise en place (226 m³), on a néanmoins pu noter une variation de production et une diminution des empoussiérages au moment où la zone se rapprochait du sondage d'amenée d'eau (en novembre).

L'évolution de la production du chantier a en effet été la suivante :

juillet 1975 :	17.128 tn pour 18 jours ouvrés,
août 1975 :	21.595 tn pour 20 jours ouvrés,
septembre 1975 :	23.756 tn pour 22 jours ouvrés,
octobre 1975 :	30.071 tn pour 23 jours ouvrés,
novembre 1975 :	17.625 tn pour 18 jours ouvrés,
décembre 1975 :	9.483 tn pour 14 jours ouvrés.

On a mesuré en octobre une concentration de cendres de 36 ... 37 mg/m³ à 28,3 % de cendres (gravimétrie globale) pour une production de 1300

tonnes behalve de pretele-injectie, de globale stofconcentraties beneden de 30 mg/m³ komen te liggen voor een produktie van 1147 netto-ton per dag in juni (deze globale stofgehalten stemmen overeen met 6 à 7 mg/m³ « inadembare » stofdeeltjes opgenomen door middel van een toestel van het type MRE).

— Niettegenstaande een vroegtijdige stopzetting van de pretele-injectie in het paneel 02/77 (als gevolg van een breuk van de leiding te wijten aan een defecte mof), werden de opnamen in de pijler verdergezet, om de injectabiliteit van deze laag te kunnen ramen, door een behandelde zone in de nabijheid van de doortocht te vergelijken met een zone voorbij de watertoevoer boring. De vochtigheidsgehalten op de kolenblokken ter plaatse hebben aangetoond dat de betrekkelijk kleine hoeveelheid ingespoten water (169 m³) nochtans een stijging van het gemiddeld watergehalte van het massief had veroorzaakt over een honderdtal meter vooruitgang : ... 2,5 % op de 0/10 in februari en maart 1975, in plaats van 2,1 à 2,2 % op de 0/10 in november 1974 en mei 1975.

De uitgevoerde prestaties in de pijler verbeterden toen het pijlerfront de behandelde zone bereikte ; de gemiddelde dagelijkse vooruitgang is van 2,09 m in januari gestegen tot 2,42 m in februari en 2,71 m in maart om opnieuw tot 2,31 m af te nemen in april (de toevoer boring werd op 10 maart in de pijler ontdekt). Tijdens deze 4 maanden, zijn de gemiddelde bruto en netto dagelijkse produkties als volgt geëvolueerd :

januari :	1775 bt en 1158 nt
februari :	2010 bt en 1303 nt
maart :	2168 bt en 1374 nt
april :	1875 bt en 1255 nt

De produkties in de gedeeltelijk behandelde zone (februari-maart) lagen 16 à 17 % boven deze van januari en april.

— Een proef van gedeeltelijke pretele-injectie werd eveneens in het paneel 72-71 A verwezenlijkt. Niettegenstaande de kleine hoeveelheid ingespoten water (226 m³), heeft men niettemin een produktieverandering en een vermindering van de stofgehalten kunnen noteren op het ogenblik waar de pijler de watertoevoer boring naderde (in oktober).

De evolutie van de produktie van de pijler was inderdaad :

juli 1975 :	17.128 nt voor 18 werkdagen
augustus 1975 :	21.595 nt voor 20 werkdagen
september 1975 :	23.756 nt voor 22 werkdagen
oktober 1975 :	30.071 nt voor 23 werkdagen
november 1975 :	17.625 nt voor 18 werkdagen
december 1975 :	9.483 nt voor 14 werkdagen

In oktober heeft men een concentratie van 36 ... 37 mg/m³ met 28,3 % asgehalte (globale gravimétrie) voor een produktie van 1300 nt/dag terwijl in december, voorbij de boring, men meer dan 40

tn/jour alors qu'en décembre, au delà du sondage, on notait plus de 40 mg/m³ pour une production inférieure de 1000 tonnes/jour.

— En fin d'année, on a également repris la pré-télé-injection du panneau 62/71 A dans lequel on a mis en place, à la date du 31 décembre 1975, un volume total d'eau de 1832,8 m³ (1521 m³ en décembre 1974).

Au total, durant l'année 1975, plus de 2000 m³ d'eau ont été pré-télé-injectés dans 9 panneaux.

mg/m³ noteerde voor een produktie van minder dan 1000 ton/dag.

— Op het einde van het jaar, heeft men eveneens de pretele-injectie van het paneel 62/71 A hermenen, waar reeds op 31 december 1975 een totaal volume water van 1832,8 m³ ingespoten was. (1521 m³ in december 1974).

Een totaal van meer dan 2000 m³ water werd tijdens het jaar 1975 in 9 panelen vooraf ingespoten.

2. Ventilation — Climatisation

2. Ventilatie — Klimatisatie

A. RELEVÉ DES CARACTERISTIQUES DES CIRCUITS DE VENTILATION

De nombreuses déterminations des résistances aérodynamiques de branchements d'aérage ont été effectuées pour la résolution de problèmes de ventilation.

— Quinze variantes de répartition du courant d'air ont été étudiées par analogie électrique pour les exploitations du Charbonnage Colard (en vue d'une concentration des chantiers aux étages profonds et d'une réduction progressive des retours d'air connectés avec les étages supérieurs).

— Dix campagnes de mesures en vue de déterminer les coefficients de pertes de charge de différents tronçons de la mine ont été effectuées aux sièges de Houthalen, Beringen, Winterslag et plus particulièrement pour l'établissement d'un nouveau schéma de ventilation du siège Zolder.

B. ETALONNAGE D'INSTRUMENTS DE MESURE

Trente anémomètres de mine ont été étalonnés, ainsi que 4 capteurs de pression différentielle.

Les anémomètres télé-indicateurs (à thermistances) utilisés dans les travaux du fond du siège Waterschei sont régulièrement étalonnés, sur place, grâce à des mesures systématiques des débits d'air contrôlés.

C. APPLICATION DU « PROCESS-CONTROL » A LA VENTILATION DES MINES

L'ensemble des études et recherches effectuées ces quatre dernières années, a fait l'objet d'un rapport spécial de synthèse (5).

A. OPMETEN VAN KARAKTERISTIEKEN VAN VENTILATIEKRINGEN

Er werden talrijke metingen van de aërodynamische weerstand van luchtwegen uitgevoerd om het oplossen van ventilatieproblemen mogelijk te maken.

— Bij middel van de elektrische analogie werden 15 varianten gemaakt van een probleem over de luchtverdeling in de uitbatingen van de Kolenmijn Colard (met het doel de werken te concentreren in de onderste verdiepingen en de luchtkeren, verbonden met de bovenste verdiepingen, geleidelijk uit te schakelen).

— Er werden 10 meetcampagnes gehouden in de zetels Houthalen, Beringen en Winterslag ten einde de koëfficiënten van ladingsverlies te kennen in verschillende gedeelten van deze mijnen en meer in het bijzonder, om een geheel nieuw ventilatieschema te verwezenlijken van de zetel Zolder.

B. IJ KING VAN MEETINSTRUMENTEN

Er werden 30 mijnanemometers geijkt alsook differentiële drukmeettoestellen.

De anemometers (met thermistors) met tele-aflazing, opgesteld in de ondergrondse werken van de zetel Waterschei, worden regelmatig ter plaats geijkt, door het systematisch meten van de gecontroleerde luchtdebieten.

C. TOEPASSING VAN DE « PROCESS-CONTROL » OP DE MIJNVENTILATIE

Het geheel der studies en opzoekingen, uitgevoerd gedurende de laatste 4 jaren, werd behandeld in een speciaal syntheserapport (5).

es opérations qu'il est possible d'effectuer actuellement au siège Waterschei sont les suivantes :

- collecte des données de la grisoumétrie et bi-automatique du grisou (en différé),
- collecte des données climatiques en quelques instants du siège,
- surveillance de l'état du réseau d'aérage et mise à jour d'un modèle mathématique du réseau,
- prévision des réglages de ventilateurs répondant à certaines consignes.

L'acquisition et le traitement des données, en particulier la saisie des informations au fond par ATM, GTM, psychromètres, capteurs de pression différentielle, la transmission de ces informations vers la surface, les systèmes d'échantillonnage et de concentration des données qui ont été mis au point, le traitement de ces informations permettent la *surveillance de l'aérage en temps réel*.

La nouvelle recherche, intitulée : « Exploitation industrielle du contrôle par ordinateur de la ventilation des mines », doit aboutir à l'élaboration d'un algorithme de maillage automatique pour trouver les mailles spéciales nécessaires à l'introduction d'un programme « calcul des ventilateurs ». Il y a lieu d'élaborer les modèles de dégagements grisouteux et orifiques pour déduire les valeurs des contraintes à imposer.

— Les équipes des Kempense Steenkolenmijnen de l'Université de Louvain se sont particulièrement occupées de l'installation d'un ventilateur souterrain à pales orientables en marche (qui sera le premier organe de la ventilation sous contrôle de l'ordinateur) ainsi que de tous les équipements mécaniques, électriques et électroniques nécessaires à cette télécommande.

— La surveillance des équipements de télé-métrie (vitesses de l'air, pourcentages en grisou) et des étalonnages, l'établissement de bilans de grisou (LEX) se sont poursuivis.

— Une nouvelle version d'un appareil de télé-métrie des températures sèche et humide de l'air, conçu par l'Institut d'Hygiène des Mines, a été essayée au fond.

— Les essais de réception du nouveau ventilateur ont été effectués au fond (étage 700) ; 12 points de fonctionnement répartis sur 3 courbes correspondant aux angles 20° - 26° et 32°, ont été contrôlés. Les mesures doivent conduire à l'établissement de l'équation générale de la famille des caractéristiques (dégagements, pressions) correspondant aux différents angles de pales (il importe de noter que, pour installer ce ventilateur, le siège Waterschei a creusé un by-pass d'une longueur de 150 m, équipé de 4 portes à commande pneumatique).

— Les études relatives à la chaîne de commande ordinateur-ventilateur, comprennent l'établissement

De verschillende operaties die op dit ogenblik in Waterschei kunnen uitgevoerd worden zijn de volgende :

- verzamelen van de mijngasgegevens en automatisch opstellen van mijngasbilans (niet ogenblikkelijk),
- verzamelen van klimatologische gegevens op enkele punten van de mijn,
- bewaking van de toestand van het verluchtingsnet en het bijhouden van een wiskundig model van het net,
- voorafbepaling van de regeling van ventilatoren rekening houdend met zekere voorwaarden.

Het verwerven en behandelen der gegevens, zoals het bekomen in de ondergrond van informatie door ATM, GTM, psychrometers en toestellen voor het meten van differentiële druk, het doorzenden van deze informatie naar de bovengrond, het systeem van monsternamen en concentratie van gegevens dat op punt werd gesteld, maken het mogelijk de *bewaking van de verluchting te verzekeren in reële tijd*.

De nieuwe opzoeking, getiteld : « Industriële toepassing van de door ordinator gecontroleerde mijnventilatie », moet leiden tot het opstellen van een algoritme voor de automatische maasvorming, ten einde de speciale mazen te vinden, nodig voor de invoering van een programma « berekening van ventilatoren ». Er dient een model opgesteld van de gasuitwaseming en warmteafgave om er de waarden uit af te leiden van de op te leggen voorwaarden.

— De ploegen van de Kempense Steenkolenmijnen en van de U.C.L. hebben zich meer in het bijzonder beziggehouden met het installeren van een ondergrondse ventilator met in bedrijf regelbare schoepen (dit is het eerste ventilatie-orgaan dat door de ordinator gecontroleerd zal worden) alsook met de mechanische, elektrische en elektronische uitrustingen die noodzakelijk zijn voor deze telesturing.

— De bewaking van de uitrustingen voor telemetingen (luchtsnelheid, gasgehalte) en hun ijkingen, alsook het opstellen van mijngasbilans (NIEB) worden verdergezet.

— Een nieuwe versie van het apparaat, ontworpen in het Instituut voor Mijnhygiëne, voor de telemetingen van droge en vochtige temperaturen, werd in de ondergrond beproefd.

— De receptieproeven van de nieuwe ventilator werden in de ondergrond uitgevoerd (verdieping 700) ; 12 werkpunten verdeeld over 3 kurven (20° - 26° en 32°) werden gecontroleerd. De metingen moeten leiden tot het opstellen van een algemene vergelijking voor een reeks karakteristieken (debiet,

TABEL II
Développement des tailles (m) auxquelles sont appliqués
régulièrement des traitements humides. —
Situation au début des années 1975 et 1976

TABEL II
Totale lengte van de pijlers (m) waar vochtige stofbestrijdingsmiddelen
regelmatig toegepast worden. —
Toestand in het begin van de jaren 1975 en 1976

Bassins	Campine Kempen	Liège Luik	Hainaut Henegouwen	Ensemble Samen	Bekkens
Années de référence	1975 1976	1975 1976	1975 1976	1975 1976	Referentie jaren
Nombre de tailles actives Longueur des fronts déhouillés (m)	41 39 8 981 8 794	14 13 1 530 1 558	20 17 3 864 2 970	75 69 14 375 13 322	Aantal pijlers in bedrijf Lengte van de ontgonnen fronten (m)
I. Traitements appliqués aux points de formation des poussières					I. Stofbestrijdingsmiddelen aan de stofbron- nen toegepast
1 Développement total des tailles traitées (m)					1 Totale lengte van de behandelde pijlers (m)
— Arrosage des fronts	1 047 3 395	— —	428 —	1 475 3 395	— Besproeiing van de fronten
— Injection d'eau en veine	3 533 3 669	100 —	2 615 1 616	6 248 5 285	— Waterinjetie in de laag
— Havage humide	574 635	— —	208 —	782 635	— Vochtige ondersnijding
— Piqueurs à pulvérisation d'eau	858 920	— —	— —	858 920	— Hamers met waterverstuiving
Longueur totale traitée (m)	6 012 8 619	100 —	3 251 1 616	9 363 10 235	Totale behandelde lengte (m)
2 Longueur des fronts traités simulta- nément par plusieurs de ces procédés (m)	1 120 1 254	— —	428 —	1 548 1 254	2 Lengte van de behandelde fronten met verschillende van deze procédés samen (m)
3 Longueur réelle traitée (m)	4 892 7 365	100 —	2 823 1 616	7 815 8 981	3 Werkelijk behandelde lengte (m)
II. Traitement par pulvérisation d'eau en taille					II. Waterverstuiving in de pijlers
1 Développement total des fronts traités par pulvérisation d'eau (m)	8 488 8 242	580 564	3 552 2 782	12 620 11 588	1 Totale lengte van de behandelde fronten met waterverstuiving in de pijlers (m)
2 Longueur des fronts traités par un des qua- tre procédés indiqués ci-avant, combiné à la pulvérisation en taille (m)	4 648 6 813	100 —	2 601 1 513	7 349 8 326	2 Lengte van de behandelde fronten met één van de vier hierboven vermelde procédés samen met de waterverstuiving in de pijlers (m)
3 Longueur traitée uniquement par pul- vérisation d'eau (m)	3 840 1 429	480 564	951 1 269	5 271 3 262	3 Lengte van de behandelde fronten alleen met de waterverstuiving (m)
III. Longueur des fronts naturellement humi-					III. Lengte van de natuurlijk vochtige fronten

TABEL III
Stofbestrijdingsmiddelen gewoonlijk ter beschikking van het personeel
gesteld in de voorbereidende werken tijdens het boren

TABLEAU III
Moyens de prévention normalement mis à la disposition du personnel dans les
travaux préparatoires au cours des opérations de foration

Bassins	Campine Kempen		Liège Luik		Hainaut Henegouwen		Ensemble Samen		Bekkens
Années de référence	1975	1976	1975	1976	1975	1976	1975	1976	Referentiejaren
Nombre de fronts en creusement	17	30	3	—	7	6	27	36	Aantal fronts in delving
Fronts équipés de									Fronten uitgerust met
— capteurs pour forage à sec	—	—	—	—	—	—	—	—	— stopvangers voor droogboring
— perforateurs à injection centrale d'eau	17	30	3	—	7	6	27	36	— boortoestellen met centrale waterspoeling
Fronts avec prévention	17	30	3	—	7	6	27	36	Fronten met stofbestrijding

de quatre programmes à mettre en œuvre sur l'ordinateur temps réel (S 7), la construction de l'interface électronique entre l'ordinateur et la chaîne de transmission (TF 24 F-H), la télétransmission (TF 24) et l'appareillage de commande électrique du dispositif de positionnement des pales.

druk) overeenkomende met de verschillende schoephoeken. (Er dient opgemerkt dat om de ventilator te kunnen monteren de zetel Watersco een by-pass met een lengte van 150 m heeft gekregen, voorzien van 4 deuren met pneumatische sluitdienen).

III. ENQUETE

Comme chaque année, les principaux résultats de l'enquête que l'Institut d'Hygiène des Mines effectue sur les moyens de prévention des poussières utilisés dans les charbonnages sont rassemblés sous forme de tableaux.

Les tableaux II et III donnent le développement des tailles dans lesquelles on met régulièrement en œuvre les procédés classiques de lutte contre les poussières : injection d'eau en veine, havage humide, arrosage des fronts, ... On y indique la longueur des fronts où plusieurs de ces techniques sont adoptées simultanément et on y fait également la répartition des moyens de prévention normalement mis à la disposition du personnel pendant les opérations de foration au rocher.

III. ENQUETE

Zoals ieder jaar, worden de voornaamste resultaten van het onderzoek dat het Instituut voor Mijnhygië uitvoert op de gebruikte stofbestrijdingsmiddelen in de kolenmijnen onder vorm van tabellen verzameld.

De tabellen II en III geven de lengte van de pijlen dewelke men regelmatig klassieke stofbestrijdingsprocédés aanwendt ; waterinjectie in de lagere besproeiing van de fronten... Men duidt er de lengte van de fronten aan waar meerdere van deze technieken gelijktijdig worden aangewend en men maakt eveneens de verdeling van de preventiemiddelen die normaal ter beschikking van het personeel wordt gesteld tijdens het boren in de steen.

BIBLIOGRAPHIE

- [1] MINISTERIE DES AFFAIRES ECONOMIQUES : Arrêté royal relatif à la lutte contre les poussières dans les travaux souterrains des mines de houille. — *Moniteur Belge*, 1975, 145, 172, 6 septembre 1975, 11002/11010.
- [2] DEGUELDRE G. : L'activité de l'Institut d'Hygiène des Mines au cours de l'année 1974. — *Ann. Mines Belgique*, 1975, 11, 1059/1088.
- [3] WALKENHORST W. : Modellversuche zur Bestimmung des dynamischen Formfaktors nicht isometrischer Teilchen. — *Staub (Reinhaltung der Luft)*, 1976, 36, 4, 149/155.
- [4] COENEN W. : Feinstaubmessung mit dem VC 25. Neue Untersuchungen und praktische Erfahrungen. — *Staub (Reinhaltung der Luft)*, 1975, 35, 12, 452/458.
- [5] PATIGNY J., CERULUS J. et JACQUES E. : Surveillance et gestion par ordinateur de la ventilation d'une mine. — *Rev. Inst. Hyg. Mines*, 1975, 30, 4, 163/188.

BIBLIOGRAFIE

- [1] MINISTERIE VAN ECONOMISCHE ZAKEN : Koninklijk besluit betreffende de stofbestrijding in de ondergrondse werken van de kolenmijnen. — *Belgisch Staatsblad*, 1975, 145, 172, 6 september 1975, 11002/11010.
- [2] DEGUELDRE G. : Bedrijvigheid van het Instituut voor Mijnhygië gedurende het jaar 1974. — *Ann. Mijnen België*, 1975, 11, 1059/1088.
- [3] WALKENHORST W. : Modellversuche zur Bestimmung des dynamischen Formfaktors nicht isometrischer Teilchen. *Staub (Reinhaltung der Luft)*, 1976, 36, 4, 149/155.
- [4] COENEN W. : Feinstaubmessung mit dem VC 25. Neue Untersuchungen und praktische Erfahrungen. — *Staub (Reinhaltung der Luft)*, 1975, 35, 12, 452/458.
- [5] PATIGNY J., CERULUS J. en JACQUES E. : Gebruik van de computer bij het toezicht en het beheer van de mijnventilatie. *T. Inst. Mijnhygiëne*, 1975, 30, 4, 189/214.

Sélection des fiches d'INIEX

INIEX publie régulièrement des fiches de documentation classées, relatives à l'industrie charbonnière et qui sont classées notamment aux charbonnages belges. Une sélection de ces fiches paraît dans chaque livraison des Annales des Mines de Belgique.

Cette double parution répond à deux objectifs distincts :

Constituer une documentation de fiches classées par objet, à consulter uniquement lors d'une recherche déterminée. Il importe que les fiches proprement dites ne circulent pas ; elles risqueraient de s'égarer, de se souiller et de n'être plus disponibles en cas de besoin. Il convient de les conserver dans un meuble ad hoc et de ne pas les diffuser.

Reporter régulièrement des informations groupées par objet, donnant des vues sur toutes les nouveautés.

C'est à cet objectif que répond la sélection publiée dans chaque livraison.

A. GEOLOGIE — GISEMENTS PROSPECTION — SONDAGES

A 55 Fiche n. **65.058**
MEHRDICH, M. BERNAUER et Coll. Erkun-
g des Steinkohléngebirges mit horizontalen
Löchern. *Reconnaissance du terrain houiller par*
sondages horizontaux. — **Glückauf**, 1976, 15 juil-
let, n. 791/796, 6 fig.

Revue des méthodes de reconnaissance d'un
gisement. Etude de la reconnaissance d'un gisement
sur le plan de la couche en avant de la taille, à la
General Blumenthal, par sondages horizontaux
de 50 m de longueur réalisés dans une couche de
6 m d'ouverture. Matériel utilisé : foreuses, tail-
lants, fleurets. Mesures prises pour maintenir les
sondages dans la veine. Il est également pos-
sible de faire le levé des sondages.
Bibliographie : 15 réf.

B. ACCES AU GISEMENT METHODES D'EXPLOITATION

IND. B 116 Fiche n. **64.934**
X. Boring up is a fast way to get air, supplies down.
Le forage en montant est un moyen rapide d'avoir de
l'air. — **Coal Age**, 1976, juillet, p. 118/119, 2 fig.

Le forage en montant — réalésage d'un trou pilote
— offre un moyen rapide et peu coûteux de creuse-
ment de puits de retour d'air. Cette technologie a eu
jusque maintenant peu d'application dans les
charbonnages. Elle présente certains avantages sur le
creusement traditionnel, notamment en vitesse de
creusement, en prix de revient et de plus on peut
actuellement creuser des puits de 4,5 m à 6 m de
diamètre et ce, jusque 300 m de profondeur ; un
autre avantage est que le terrain n'est pas ébranlé par
le minage. L'inconvénient le plus important est la
difficulté de réaliser un puits parfaitement vertical ;
cela dépend du forage du trou pilote.

IND. B 14

Fiche n. 64.920

B. PRINZ. Maschinelles Tieferteufen eines Tages-schachtes mit 5 m Durchmesser auf der Zeche Minister Stein. *Raval mécanisé d'un puits débouchant au jour de 5 m de diamètre à la mine Minister Stein.* — **Glückauf**, 1976, 6 mai, p. 476/480, 4 fig., 3 tabl.

Préparatifs. Forage d'un avant-trou de 110 mm de diamètre et 308 m de longueur pour un prix de revient de 357.000 DM, soit 1159 DM/m. Réalésage de ce premier forage par une machine GSB 450/500 de la firme Alfred Wirth. Ce réalésage a été fait avec un personnel de 31 Hp/jour, le rendement a été de 32,99 cm/Hp, le prix de revient s'est élevé à 8326 DM/m. Caractéristiques techniques de la machine de forage. Conditions préalables pour un raval mécanisé. Perspectives.

IND. B 23

Fiche n. 64.948

R. NEMITZ. Möglichkeiten und Grenzen der Leistungssteigerung mit einer gestängelosen Gesenkböhrmaschine. *Possibilités et limites de l'augmentation de rendement par l'emploi d'une machine de forage de bure sans train de tiges.* — **Glückauf**, 1976, 20 mai, p. 591/598, 7 fig., 4 tabl.

Procédé de grand intérêt technique mais insuffisamment au point, permettant d'obtenir de grands ou de très grands rendements. On a pu réaliser dans des conditions difficiles, dans une série de puits, un taux d'utilisation dépassant 50 % avec une vitesse de creusement de 8 à 14 m/jour. Possibilité d'obtenir un taux d'utilisation de 60 à 70 % si on élimine les arrêts et pannes constatés lors de 6 fonçages ; pour ce faire, il faut, dans chaque cas particulier, une planification détaillée de l'organisation de manière à réduire les arrêts de travail au minimum. D'autres améliorations sont possibles en matière de construction de machines. Réflexions proposées pour atteindre de plus grandes profondeurs et réduire la durée totale de réalisation des projets. Pour un avancement de 7 m/jour, il faut un puits de 125 m minimum de profondeur pour que ce procédé soit rentable. Plus la profondeur du puits est importante, plus l'utilisation d'une telle machine est techniquement et économiquement intéressante.

Biblio. : 6 réf.

IND. B 31

Fiche n. 64.973

P. DUFFAUT. Le creusement mécanisé du tunnel hydroélectrique d'Echaillon. — **Industrie Minérale. Mines**, 1976, n° 4, p. 141/157, 22 fig.

La galerie d'Echaillon — 5 km de longueur et 5,3 m de diamètre utile — terminée en 1973, achève le

nouvel aménagement hydroélectrique de la vallée de l'Arc. Coupe géologique de la galerie. Creusement avec une machine Wirth. Description du tunnelier machine à molettes creusant la pleine section en un seul fois — la tête est poussée contre le front avec une force pouvant atteindre 700 t — vitesse réglable de 0 à 6 tours/min — le couple de rotation est fourni par deux moteurs hydrauliques — vitesse moyenne 1,05 m/h. Avantages du tunnelier : réduction du soutènement provisoire, des effectifs et des accidents ; amélioration des conditions de travail. Etude du comportement des roches lors du travail de la machine. Problèmes de la stabilité du terrain autour de la cavité creusée et étude des moyens à mettre en œuvre pour la garantir.

IND. B 33

Fiche n. 64.900

V. MERTENS. Neue Teilschnitt-Vortriebsmaschinen für den maschinellen Flözstrekkenvortrieb. *Nouvelles machines à attaque ponctuelle pour le creusement mécanisé de voies en couche.* — **Glückauf**, 1976, 17 juin, p. 687/693, 18 fig., 3 tabl.

Evolution au cours des dernières années ; 6 machines de creusement en service en 1975 dans les charbonnages ouest-allemands. Machines à têtes de coupe améliorées : AMSO, EUR 160 et PK 9 F ; tableau donnant les caractéristiques. Nouvelles machines à tête de coupe : EVA 160, WAV 200, Roboter et US 3 ; tableau avec caractéristiques. Têtes et outils de coupe. Services annexes en arrière des fronts.

Biblio. : 8 réf.

IND. B 410

Fiche n. 65.020

N. MATSUDA, N. KITADA et Coll. Japanese Betriebserfahrungen mit Schildausbau beim Streibau in geneigter Lagerung. *Expériences d'exploitation acquises au Japon avec le soutènement bouclier dans les exploitations par longues tailles.* — **Glückauf**, 1976, 1^{er} juillet, p. 752/756, 4 fig., 6 tabl.

Tableaux donnant des renseignements sur les charbonnages japonais. Renseignements sur la mine d'Akabira. Caractéristiques du nouveau soutènement bouclier dont la hauteur maximale est de 3 m et la hauteur minimale de 2,045 m. La production moyenne d'une taille, pour la période allant de juillet à octobre 1974, a été de 412 t/jour avec un rendement moyen de 16,2 t/Hp et l'avancement moyen a été de 1,5 m/jour. On espère arriver en exploitation régulière à 23 t/Hp.

B 412 Fiche n. **64.932**
 Bulk of US underground coal production still is from room-and-pillar work. *Le gros de la production souterraine de charbon des Etats-Unis provient encore des chambres et piliers.* **Coal Age**, 1976, 6, juillet, p. 110/113, 8 fig., 1 tabl.

Travaux entrepris pour augmenter la productivité des exploitations souterraines de charbon par chambres et piliers (90 % de la production souterraine). Emploi de 2 mineurs continus et de 2 boulonniers où la production, dans un panneau de 6 chambres, est passée de 350 t/poste machine à 625 t/poste machine. **Rendement/H/jour** de 11,67 t à 18,38 t et le personnel a augmenté de 3 unités (12 hommes au lieu de 9) ; description du cycle de travail. Télécommande d'une boulonneuse et d'un mineur. Ensemble mineur et transporteur continus Lee-Norse CM-245 de 1,8 m de hauteur pour couche mince de 76 cm d'épaisseur.

B 425 Fiche n. **65.021**
KURRAT. Fallendgeführter Strebruchbau in einem 3 bis 4 m mächtigen Kohlenflöz. *Exploitation par piliers foudroyés en descendant dans une couche de charbon de 3 à 4 m d'ouverture.* — **Glückauf**, 1976, 1er juillet, p. 746/752, 9 fig., 3 tabl.

Depuis l'année 1970, le charbonnage Friedrich der Kaiserin/Mont-Cenis a exploité 5 tailles chassantes par foudroyage descendant et dont la pente est comprise entre 28° et 38°. Critères d'application de cette méthode. La taille étudiée a 200 m de longueur et une pente de 28 à 38°, l'ouverture varie de 2,99 m à 3,99 m et se trouve dans la veine Angelika Dicken. Matériel utilisé : transporteur UF 50 de Klöckner-Ferromatik, rabot KF, soutènement mécanisé de type étau 8 H 70 de la firme Thyssen Maschinenbau-technik ; à l'arrière de ces piles sont fixés des câbles et grillage retenant les terres de foudroyage. Transport du matériel et circulation du personnel sur les voies. Résultats d'exploitation et coûts. Analyse de la méthode.

B 511 Fiche n. **65.066**
HAGEN. Multiple seam mining in Alabama. *Exploitation d'un faisceau de couches en Alabama.* **Mining Congress Journal**, 1976, août, p. 23/27, 7 fig.

Description d'une méthode d'exploitation à ciel ouvert, dans une région montagneuse de l'Alabama, d'un faisceau de 3 couches de charbon : la veine supérieure Lick Creek (35 cm - 16,25 % C - 1,82 % S) 10 m plus bas la veine Jefferson (58 cm - 9,85 %

C - 2,52 % S) et la veine Black Creek (58 cm - 1,42 % C - 0,59 % S) 10 m plus bas que la précédente. L'épaisseur des morts-terrains au-dessus de la veine supérieure est en moyenne de 33 m. La mine, en forme de demi-lune, a une longueur d'environ 1950 m. On abat (à l'explosif) pour commencer les 18 m supérieurs de la couverture qui sont évacués dans les vides laissés par l'exploitation ; ensuite, un bulldozer aplanit cette surface pour permettre le passage de la dragline (30 m³ de capacité de godet et bras de 85 m) qui enlève la couverture des couches situées en contrebas. Lorsque le charbon est découvert, il est enlevé par des pelles frontales.

IND. B 512 Fiche n. **65.065**
G. FRENCH et R.W. BAILEY. Modern electrical maintenance for off highway vehicles and shovels. *Entretien électrique moderne des véhicules de chantiers et pelles.* — **Mining Congress Journal**, 1976, août, p. 24/27, 4 fig., 2 tabl.

La « Nehanga Consolidated Copper Mines » (Zambie) emploie, dans ses exploitations à ciel ouvert, des camions et des pelles électriques. Aux problèmes normaux d'entretien de ce matériel s'ajoutent les problèmes dus à la situation géographique et politique de ce pays, tels que transports coûteux des pièces de rechange et longs délais pour recevoir ces pièces (2 à 6 mois), manque de personnel qualifié, rotation de la main-d'œuvre européenne (contrat de 3 ans). Coûts opérationnels et entretien préventif ; évolution de la situation. Description d'un programme d'entretien préventif qui a prouvé son efficacité et basé sur les 3 éléments suivants : 1) informations opérationnelles et financières sur les divers composants comme moteurs, pneus, roues, ... ; 2) contrôle régulier du matériel ; la fréquence est déterminée par le vendeur et l'expérience in situ ; 3) installation d'un atelier de réparation qui a coûté 670.000 \$ et après un an le bénéfice, dû aux réparations sur place et au fait que ce personnel pouvait effectuer d'autres travaux, a été de 392.000 \$.

C. ABATTAGE ET CHARGEMENT

IND. C 21 Fiche n. **65.080**
M.W.R. MORRISSON et M.W. BLACKETT. L'abattage du rocher sous l'eau. Chantier de Fos-sur-Mer. — **Explosifs**, 1976, juin-septembre, p. 71/79, 6 fig.

Description de la méthode de forage à partir de barge, connue sous le nom de méthode OD et permettant d'atteindre et de forer le rocher sain, après

avoir traversé les morts-terrains le recouvrant. Le principe de la méthode consiste à forer en rotation-percussion à l'intérieur d'un tubage, lui-même mis en place par forage. Application de cette méthode aux travaux de construction du port de Fos-sur-Mer, où un banc dur de poudingues empêchait l'approfondissement de la darse Solmer.

IND. C 233

Fiche n. 65.049

X. Puzzled about primers for large-diameter Anfo charges? Here's some help to end the mystery. *Comment amorcer des charges Anfo de grand diamètre? Ce qui suit vous permettra de choisir la bonne solution.* — **Coal Age**, 1976, août, p. 102/107, 8 fig.

Etude de la vitesse de détonation d'une charge Anfo en fonction du diamètre de la charge et du trou de mine de manière à obtenir le meilleur rendement. Choix de l'emplacement du détonateur dans la colonne d'Anfo. Discussion sur l'initiation de la détonation en plusieurs points ou tout le long de l'axe de la colonne d'explosif. Mise en place du cordeau détonant et interactions entre le cordeau et l'Anfo.

Biblio. : 11 réf.

IND. C 240

Fiche n. 65.059

W. JÄKEL. Erfassung und Auswertung sprengtechnischer Daten aus dem Steinkohlenbergbau des Ruhrreviers. *Enregistrement et exploitation des données ayant trait au tir dans les charbonnages de la Ruhr.* — **Glückauf**, 1976, 15 juillet, p. 796/803, 13 fig., 5 tabl.

Exploitation par le service spécial de tir de la Westfälische Berggewerkschaftskasse des données relatives au creusement par minage des galeries des bassins de la Ruhr et d'Ibbenbüren. Renseignements concernant la longueur du cycle par tir, la longueur des mines, la consommation d'explosifs par m³ de voie. Ces résultats seront utiles pour la planification des travaux.

Biblio. : 7 réf.

IND. C 245

Fiche n. 65.078

J.W. DALLY, W.L. FOURNEY et Coll. Influence du confinement des pressions dans un fourneau de mine sur la fissuration provoquée par explosifs. — **Explosifs**, 1976, juin-septembre, p. 47/56, 15 fig.

Etude de l'effet de la pression des gaz des produits de combustion d'une charge explosive sur le processus de fissuration. Deux maquettes planes, chacune avec une charge circulaire placée au centre, ont été examinées. Dans l'une des maquettes, la charge était pourvue d'évents et, dans l'autre, la charge était confinée par un dispositif de fermeture spécial. Utilisation de la photographie à fréquence de prise de vue élevée et de la photoélasticité pour l'enregistrement des ondes de contrainte, de dilatation ou du cisaillement, ainsi que l'extension des extrémités des fissures. On a constaté que le confinement de la charge améliore la transmission de l'énergie aux maquettes et qu'il en résulte des ondes de dilatation d'amplitude des plus élevées, une onde de cisaillement de plus grande durée et une fracturation beaucoup plus étendue. Le confinement de la charge a provoqué ces fissures 7 fois plus grandes que celles produites par une charge à événements.

IND. C 44

Fiche n. 64.9

P.C. GRAHAM. Tunnel borer at Libanon. How did it fare. *Un tunnelier à Libanon. Comment le faire marcher.* — **Coal, Gold and Base Minerals**, 1976, juillet, p. 43/57, 10 fig., 1 tabl.

Utilisation d'un tunnelier Robbins à la mine d'or de Libanon (Afrique du Sud). Conditions imposées pour la construction de la machine : creusement dans du quartzites du Witwatersrand dont la résistance à la compression varie de 1760 à 3520 kg/cm², poids maximum des différents éléments à assembler 12 t, dimensions maximales de ceux-ci 1,50 m de largeur et 3 m de longueur ; ces éléments sont à descendre à 2100 m de profondeur. Caractéristiques techniques de la machine Robbins : diamètre de la tête de creusement 3,31 m, vitesse d'avancement 1,50 m/2,40 m/h, évacuation de 45 m³/h, alimentation en courant alternatif triphasé 6000/500 V, puissance de la tête de coupe 500 cv et 80 cv pour le circuit hydraulique, nombre de tours de la tête de coupe 60 tr/min, celle-ci porte 28 outils à disques, poussée maximum 508.000 kg et poussée de travail 381.000 kg, course 0,75 m, rayon minimum de courbure 21,6 m, poids total 84 t. Problèmes de mise en service au fond après montage dans la chambre de départ : positionnement et modification du circuit hydraulique pour la conduite du tunnelier. Problèmes et solutions apportées aux difficultés rencontrées lors du creusement : température élevée de l'atelier de travail, mauvaise tenue du toit, usure plus élevée que prévue des disques, etc...

A l'aide d'exemples, on montre les différences des procédés avec une considération particulière pour les possibilités de réduction du coût avec le procédé pneumatique. Les prix de mise en place des serremments sont moindres avec l'anhydrite. Le type d'anhydrite le plus favorable dépend des données d'exploitation ; au-dessus de 4,3 m³/jour, le transport pneumatique est meilleur marché.

Biblio. : 18 réf.

IND. D 712

Fiche n. 65.050

N.P. CHIRONIS. Sonics help drive bolts into coal mine roofs in one stroke. *La résonance permet d'enfoncer des boulons dans les toits en une seule étape.* — **Coal Age**, 1976, août, p. 112/114, 5 fig.

Présentation de la méthode basée sur le principe de l'enfoncement d'un clou en le frappant avec un marteau. La machine est capable d'enfoncer un boulon dans le toit à une profondeur de 1,50 m ; elle porte une poutre d'acier appuyant sur le boulon et provoquant, par résonance (250 Hz) au moyen d'un oscilateur, des vibrations qui enfoncent le boulon dans le toit. Détails sur la machine et résultats des différents essais : amplitude des vibrations, puissance nécessaire, diamètre des boulons, comportement du toit, etc... La vitesse maximale d'avancement est de 1,5 m/min et la vitesse moyenne de 0,75 m/min. Des résultats obtenus, il serait possible de construire une machine plaçant en même temps cinq boulons dans le toit et disposant d'une poussée axiale de 2730 kg environ.

E. TRANSPORTS SOUTERRAINS

IND. E 250

Fiche n. 64.961

D. ZIMMERMANN. Die Erweiterung des automatischen Zugbetriebes auf der Zeche General Blumenthal. *L'extension du roulage automatique par locomotive à la mine General Blumenthal.* — **Glückauf**, 1976, 3 juin, p. 641/648, 7 fig., 4 tabl.

A la mine General Blumenthal, un roulage automatique par locomotive est utilisé depuis 1967 sur les 7,2 km d'une section de raccordement à 2 voies. Coût du transport. Comparaison avec d'autres formules de transport. Extension du roulage automatique suite à sa rentabilité. Dispatching. Intégration des points de chargement.

Biblio. : 4 réf.

IND. E 26

Fiche n. 64.950

H. GEYER. Neuer Abbauzuschnitt durch Umstellung auf Schwerlasttransport mit Wechselcontainern im Steinsalzbergwerk Borth. *Transport par poids lourds en containers interchangeables à la mine de sel gemme de Borth.* — **Glückauf**, 1976, 20 mai, p. 608/612, 10 fig.

Le déblocage des chantiers se faisait anciennement par bandes transporteuses et concasseurs de chantier. L'exploitation d'une nouvelle tranche du gisement par longues chambres abattues au mineur Marietta, chargement par pelle hydraulique et containers interchangeables de 35 t et transport par Kiruna-Combi à une installation centrale de concassage, sur un trajet maximum de 670 m, a permis d'atteindre un rendement au chargement et au transport de 1500 t par chantier et par poste. La réorganisation a, de plus, entraîné diverses améliorations intéressantes de la technique et de l'économie de l'exploitation.

Biblio. : 2 réf.

IND. E 26

Fiche n. 65.067

M.K. LEBEGUE. Factors involved in design and retrofit for cabs and canopies shuttle cars. *Facteurs intervenant dans la conception et l'adaptation des cabines et des dais de protection des camions-navettes.* — **Mining Congress Journal**, 1976, août, p. 32/34, 4 fig.

La protection des conducteurs des camions-navettes est assurée par des cabines ou par des toits de protection. La conception des cabines et des toits dépend de l'emplacement du poste de commande (qui peut se trouver, soit au centre, soit à une extrémité du camion), de l'ouverture de la veine, de la visibilité et du confort à assurer au conducteur. Solutions adoptées sur les nouveaux camions-navettes et adaptation (souvent difficile) sur les anciens camions en service.

IND. E 415

Fiche n. 65.080

X. New winder braking system Rawdon Colliery NCB. *Un nouveau dispositif de freinage de machine d'extraction au charbonnage de Rawdon NCB.* — **Colliery Guardian**, 1976, septembre, p. 452/453, 4 fig.

Description de freins à disques remplaçant les freins traditionnels à sabots des machines d'extraction. Des brides circulaires sont montées à chaque extrémité du tambour et sur celles-ci viennent se servir les disques des freins. Schémas montrant le fonctionnement de ces freins mis au point par le NCB avec

firme M.B. Wild Ltd de Birmingham. Les avantages de ce nouveau dispositif sont : frais d'entretien peu élevés, temps de remplacement fortement réduit suite au nombre peu élevé de pièces mobiles et freins appliquant plus rapidement et plus régulièrement.

ID. E 53 Fiche n. 65.035

C. BEAL. INIEX-Delogne radiators. Insertion loss
sts. *Dispositifs rayonnants INIEX-Delogne. Essais
de pertes d'insertion.* — **Queen's University at
Kingston Department of Electrical Engineering,**
1976, août, 16 p., 9 fig., 1 tabl.

Le système INIEX-Delogne de communication dans les mines et les tunnels consiste en éléments rayonnants passifs intercalés en série dans un câble coaxial. Les dispositifs rayonnants comportent un élément d'inductance et des condensateurs enfermés dans un boîtier non métallique et étanche et reliés au conducteur extérieur et intérieur. Résultats des pertes d'insertion (dB en fonction de la fréquence exprimée en MHz) avec 3 types d'éléments rayonnants et dans 5 cas d'environnement : 1) propre et sec ; 2) et 3) boîtier recouvert de poussières sèches de nickel d'origines différentes ; 4) boîtier recouvert de poussières de nickel humide ; 5) boîtier recouvert de poussières de charbon humide. Tableau résumant les pertes d'insertion.

F. AERAGE — ECLAIRAGE HYGIENE DU FOND

ND. F 133 Fiche n. 64.975

J. FAURE. Insonorisation des ventilateurs électriques d'aérage secondaire. — **Industrie Minérale.** **Lines**, 1976, n° 4, p. 170/180, 11 fig., 3 tabl.

Les bruits sont, soit d'origine aérodynamique : turbulences aléatoires dans l'écoulement de l'air ou vibrations périodiques provoquées par le passage des pales, soit d'origine mécanique : bruits créés par les vibrations des organes tournants. Les bruits d'origine aérodynamique sont bien rayonnés par les bouches d'aspiration et sont atténués s'ils se propagent à travers la carcasse. Procédés d'atténuation des bruits : par utilisation de silencieux de bouche (buses dont la paroi intérieure est revêtue d'une couche absorbante) ou par insonorisation des carcasses (revêtement extérieur en matériau viscoélastique). Position pratique de l'insonorisation des ventilateurs dans les houillères françaises. Détermination des caractéristiques émissives des ventilateurs. Recherche et mise au point de silencieux de bouche adaptés aux besoins d'insonorisation et aux conditions d'emploi au fond. Insonorisation des carcasses des ventilateurs.

IND. F 22

Fiche n. **64.978**

M. BOUTONNAT. Amélioration des performances des grisoumètres à filaments. — **Industrie Minière. Mines**, 1976, n° 4, p. 191/195, 8 fig.

Des études sur la détection et la mesure du grisou dans les mines ont permis notamment la mise au point d'une cellule de mesure (2 filaments en platine pur : un détecteur et un compensateur), qui présente des caractéristiques de très bonne stabilité et sensibilité, d'une part, et pas d'ambiguïté dans les indications de la teneur, d'autre part. Grisoumètres développés en France au cours des 10 dernières années : portable manuel type VM 1, grisoumètre transportable multifonctions GTM 67 A, central de télégrisoumétrie type CTT 63/40. Améliorations des performances des grisoumètres automatiques à filaments par un nouveau mode d'alimentation électrique, par diminution du temps de chauffage qui augmente la durée de vie et par un dispositif de suspension élastique de la chambre de mesure. Description du grisoumètre transportable multifonctions GTM 741 qui met en œuvre toutes ces techniques.

Biblio. : 6 réf.

IND. F 24

Fiche n. **65.087**

F.W. PRITCHARD. Predrainage of coal seams by hydrofracture. *Prédégazage des couches de charbon par fracturation hydraulique.* — **Colliery Guardian**, 1976, septembre, p. 461/462, 1 tabl.

Le prédégazage des couches de charbon par des sondages réalisés, soit à partir de la surface, soit au fond, en réduisant l'émission du grisou pendant l'exploitation, permet une production plus élevée des chantiers. La fracturation hydraulique (fracking) des couches réalisée en injectant de l'eau sous pression à travers un sondage tubé, dans la veine de charbon, crée un réseau de fissures qui augmente sensiblement le dégagement du méthane. Brève description de la fracturation hydraulique. Résultats obtenus aux USA, en RFA et en URSS.

Biblio. : 8 réf.

IND. F 32

Fiche n. **64.976**

J. WINTER, B. ALPERN et Coll. Examen de prélèvements de poussières après explosion en mine. — **Industrie Minérale. Mines**, 1976, n° 4, p. 181/186. 8 fig., 2 tabl.

Prélèvements méthodiques par fixation au préalable d'intervalles entre prélèvements (5, 10, 20 ou 50 m). L'observation microscopique par réflexion des échantillons permet de les répartir en 3 classes : charbon intact, charbon fondu et cénosphères de

coke ou semi-coke. Par dénombrement des particules des différentes classes, on a une idée de l'effet thermique global. Les courbes construites en portant le pourcentage de coke et de semi-coke en fonction du lieu de prélèvement permettent de localiser de façon assez vraisemblable les lieux de l'explosion, qui souvent correspondent à un minimum ou à un maximum des courbes. Conclusions tirées d'explosions expérimentales à une certaine distance du front d'une galerie empoussiérée et dans le cul-de-sac d'une galerie.

Biblio. : 6 réf.

IND. F 51

Fiche n. 64.981

K.R. VOST. Variation in air temperature in a cross-section of an underground airway. *Variations de la température de l'air dans une section transversale d'une galerie d'aérage souterraine.* — **Journal of the South African Institute of Mining and Metallurgy**, 1976, juillet, p. 455/460, 8 tabl.

Habituellement, dans une section de galerie, on mesure la température du courant d'air en un seul point et on suppose que celle des autres points n'est guère différente de la température mesurée au point unique. Méthode employée pour mesurer les températures d'un certain nombre de points dans 50 sections transversales, avec des vitesses d'air et d'humidité du mur différentes. Ces mesures montrent que des différences notables de température de l'air peuvent se présenter à un moment donné dans une section donnée. Discussion des effets de ces variations sur la précision des augmentations de température de l'air circulant le long d'une galerie. Discussion également sur les erreurs commises lorsqu'on veut prévoir l'augmentation de la température le long d'une voie, quand on admet la constance de la température dans une section déterminée.

Biblio. : 7 réf.

IND. F 54

Fiche n. 64.980

N.B. STRYDOM, W.H. van der WALT et Coll. A revised method of heat acclimatization. *Une méthode améliorée pour l'acclimatation à la chaleur.* — **Journal of the South African Institute of Mining and Metallurgy**, 1976, juin, p. 448/452, 1 fig., 5 tabl.

Dans les mines d'or, pour accoutumer les travailleurs aux températures élevées, on a utilisé à partir de 1965 des chambres climatisées qui ont réduit de 12 à 8 le nombre de jours nécessaires à cette adaptation. Amélioration par l'emploi de vitamines C données aux travailleurs. Difficultés rencontrées. Description de la nouvelle méthode qui a permis de réduire de 8 à 5 ou

3 jours suivant que la température humide est de 30°C à 32,8°C ou de 27,5°C à 28,9°C. Tableau donnant de nombreux renseignements. Résultats obtenus.

Biblio. : 8 réf.

IND. F 621

Fiche n. 65.062

R. MÜLLER. Bekämpfung eines verdeckten Grubenbrandes durch Inertisierung mit Stickstoff. *Lutte contre un feu couvant souterrain par étouffement à l'azote.* — **Glückauf**, 1976, 15 juillet, p. 810/816, 13 fig.

Description des opérations de lutte contre un feu couvant, au charbonnage de Luisenthal, qui avait été décelé par des mesures de CO. Ce feu menaçait 11 tailles équipées de matériel pour une valeur de 11 millions de DM. Situation du quartier. Lutte conventionnelle et évolution du feu. Suite à l'insuccès de cette lutte, une taille a dû être abandonnée et la décision fut prise d'utiliser le procédé à l'azote. Description de l'installation, les problèmes à résoudre, la conduite des opérations, les effets obtenus par ce procédé sur l'allure du feu à partir des analyses de gaz. Les dépenses se sont élevées à 396.834 DM et l'analyse détaillée de celles-ci montre que la part de l'azote est de 65,4 %.

Biblio. : 6 réf.

H. ENERGIE

IND. H 232

Fiche n. 64.953

J. DUBOIS. L'utilisation de la chaleur des centrales thermo-électriques. Point de vue du producteur d'électricité. — **Revue de l'Energie**, 1976, juin, p. 302/305.

Lorsqu'on brûle une thermie dans une centrale électrique, à peine plus d'un tiers se trouve à la sortie sous forme d'électricité, le reste de l'énergie pour une très grosse part est perdue. L'EDF étudie l'utilisation mixte de ses propres centrales thermiques, mais il faut rappeler qu'il ne s'agit pas d'utiliser des rejets thermiques, mais de la chaleur qui aurait pu produire de l'électricité. L'EDF, établissement public, est chargé de distribuer de l'électricité aux meilleures conditions et chaque usager paie l'électricité à son coût, sans transfert de charges entre telle et telle catégorie d'utilisateur. Sa position est donc que le client du chauffage urbain ne doit pas être subventionné par le client électricité. Cette réserve étant posée, l'EDF se présente comme vendeur de chaleur à partir de ses centrales, mais elle ne peut se lancer dans de telles opérations sur la base d'études trop optimistes et insuffisamment fouillées.

D. H 9 Fiche n. **64.959**
GIBRAT. Le renouveau des études sur l'utilisation des marées : essai de synthèse des résultats de la journée I.C.F. du 4 mars 1976. — **Sciences et Techniques**, 1976, septembre, p. 7/11.

Dans l'état actuel de nos connaissances sur le prix des ouvrages et sur l'importance et la valeur de l'énergie qu'ils pourraient produire, il n'est pas possible de dire si une usine marémotrice à Chausey serait rentable, mais il paraît établi après les communications de la journée : 1) que les chances pour qu'il y ait un ou plusieurs projets rentables sont loin d'être nulles (le Canada l'a affirmé officiellement) et que le gain d'énergie pour la France (7 à 15 GW électriques et plusieurs milliards d'amélioration de la balance commerciale) est trop important pour qu'on le néglige sans plus ; 2) que certaines études peu coûteuses sont prioritaires pour apporter une réponse aux grands problèmes théoriques en jeu. Le Canada a repris toutes ces études, il serait dommage que la France ne s'y associe pas.

I. PREPARATION ET AGGLOMERATION DES COMBUSTIBLES

D. I 0134 Fiche n. **64.938**
 500 tons of coal an hour from automated coal preparation plant (Littleton Mine). 500 tonnes de charbon par heure d'un lavoir complètement automatisé (Mine de Littleton). — **World Coal**, 1976, août, 32/33, 1 fig.

Historique du charbonnage. Projet de reconstruction du NCB. En 1973 commencent les travaux pour porter la production à $1,5 \cdot 10^6$ t/an. Au fond, creusement d'un bouveau de 820 m reliant les 2 puits 2 et 4 et d'un bouveau de 2000 m partant de surface, équipé d'un convoyeur à bande de 1.000 m et qui, aux environs de 1978, évacuera toute la production ; les 2 puits serviront au transport du personnel et du matériel. Description sommaire des différentes divisions de surface : criblage, mélange, lavoir et chargement. Le mélange de charbon lavé et de charbon à faible teneur en cendres (non lavé, la teneur en cendres est déterminée après l'opération de criblage) est envoyé vers la centrale électrique au moyen du système de transport par rails « Carousel » (Merry-go-round).

D. I 12 Fiche n. **65.075**
MILTON, J.L. COBURN et Coll. Comminution : guide to size reduction system design. *Broyage : un*

guide pour la conception d'un système de broyage. — **Mining Engineering**, 1976, septembre, p. 29/34, 7 fig.

Dans cette première partie, l'objectif est de donner des informations de base et des règles pour concevoir les divers systèmes de concassage et de broyage, de manière à libérer les particules minérales pour permettre leur concentration et leur récupération. Propriétés chimiques et physiques, ainsi que l'examen microscopique des minerais. Essais sur les minerais pour l'étude du broyage. Définition du concassage, concassage primaire et secondaire, broyage. Types et utilisation des concasseurs : à mâchoires, giratoires, à percussion, à cône, à cylindre, à disque. Types de broyeurs et leur utilisation : à boulets (2 sortes).

IND. I 41 Fiche n. **65.042**
L.D.A. JACKSON et T.A. KIRK. The Linatex solids recovery system. *Le système Linatex de récupération des matières solides.* — **The Canadian Mining and Metallurgical Bulletin**, 1976, août, p. 79/85, 8 fig., 3 tabl.

Le système Linatex convient pour l'égouttage des slurries de minerais de fer, du charbon, de silice et de terre à porcelaine. Description avec schémas des divers composants : le réservoir (cône sur pointe) d'alimentation et de déschlammage, la pompe d'alimentation, un séparateur avec régulation automatique du passé, un crible d'égouttage et en option un épaisseur Lamella permettant la récupération de l'eau. Le produit final se présente sous la forme d'un gâteau qui peut être transporté par convoyeur à bande. Tableau des performances du séparateur Linatex suivant la densité et la granulométrie des matières solides. Flowsheets du système Linatex pour déschlammage et égouttage et du même système avec l'épaisseur.

M. COMBUSTION ET CHAUFFAGE

IND. M 51 Fiche n. **64.736**
M. COMHAIRE. Les smogs et la prévention de la pollution atmosphérique. — Mémoire présenté à la Faculté des Sciences Appliquées de l'Université de Liège, année 1975-1976.

Mémoire consacré à la pollution atmosphérique en régions urbaines et plus spécialement à un phénomène typique de cette pollution : les « smogs », contraction des mots anglais « smoke » (fumées) et « fog » (brouillard). La 1^e partie est consacrée aux

« smogs » acides qui sont la forme classique de la pollution atmosphérique dans nos pays tempérés froids : les grands accidents de la pollution dus aux « smogs » acides — genèse du « smog » acide — émission des divers polluants — l'influence des facteurs météorologiques sur la pollution atmosphérique — le cycle du soufre — mise en œuvre de programmes d'action contre la pollution atmosphérique — effet de la pollution de l'air sur la santé de l'homme, sur les végétaux, sur les matériaux — les combustibles fossiles — aspects économiques de la lutte contre la pollution — mesures préventives contre les « smogs » — législation belge relative à la pollution atmosphérique. La 2^e partie est consacrée aux « smogs » oxydants qui se rencontrent dans certaines agglomérations urbaines (Los Angeles) et résultent de réactions chimiques entre les hydrocarbures réactionnels et les oxydes d'azote (véhicules à moteur) sous l'effet de la lumière solaire : le « smog » de Los Angeles, genèse du « smog » oxydant — les hydrocarbures légers — les oxydants — aspects toxicologiques et épidémiologiques — effets sur les végétaux et matériaux — influences directes ou indirectes du CO, Pb et SO₂ — réduction des émissions de polluants par les voitures.

P. MAIN-D'ŒUVRE — SANTE SECURITE — QUESTIONS SOCIALES

IND. P 35

Fiche n. 64.951

K.O. PILGRIM. Arbeitssicherheit und Arbeitsmedizin im Bergbau. *Sécurité du travail et médecine du travail dans l'exploitation minière.* — **Glückauf**, 1976, 20 mai, p. 612/615.

Au début de l'année 1974, la loi concernant les médecins du travail, les ingénieurs sécurité et autres spécialistes en matière de sécurité du travail, du 12 décembre 1973 (BGBl page 1885), est entrée en vigueur. En application de cette loi, tout employeur doit faire appel à des médecins du travail et à des spécialistes en matière de sécurité qui doivent le conseiller quant à la protection sociale du travail et à la prévention des accidents. La loi part de la constatation que les accidents du travail et les maladies professionnelles doivent être combattus au lieu d'origine, c'est-à-dire à l'emplacement du travail. Les autres exposés ont trait à l'évolution particulière dans le cadre de l'exploitation minière pour laquelle la loi sur la sécurité du travail a prévu une réglementation spéciale.

Résumé de la Revue.

IND. P 58

Fiche n. 64.77

J. PRADEL et L. KOCH. La radioprotection dans les mines d'uranium. — **Annales des Mines (France)** 1976, mars-avril, p. 37/44, 3 fig.

Les travaux de recherche et d'exploitation effectués dans les gisements de minerais radioactifs exposent le personnel et les populations avoisinantes à des irradiations dont il convient de limiter l'importance. On distingue l'irradiation externe provenant des rayonnements β et γ issus des minerais et l'irradiation interne résultant de l'inhalation de poussières de minerai et du radon (et de ses descendants), gaz radioactif qui se dégage en permanence des minerais d'uranium. Les niveaux rencontrés sont décrits ainsi que les méthodes permettant d'effectuer les mesures nécessaires pour la surveillance individuelle du personnel et celle des populations avoisinantes. Les normes et la réglementation sont précisées et les résultats obtenus dans les mines du Commissariat à l'Energie Atomique sont présentés. En conclusion, on retient que le risque essentiel provient du radon et de ses descendants mais que, moyennant un effort constant et une surveillance stricte, les conditions de travail des mineurs peuvent être conformes à la réglementation en vigueur qui doit éviter tout dommage au personnel, compte tenu des données les plus récentes.

Biblio. : 6 réf.

Résumé de la Revue.

Q. ETUDES D'ENSEMBLE

IND. Q 117

Fiche n. 65.01

F. LONG. Lage und Entwicklungstendenzen Kohlenbergbau Australiens. *Situation et tendances dans l'industrie charbonnière australienne.* — **Glückauf**, 1976, 15 juillet, p. 819/826, 14 tabl.

Structure géographique, population et commerce extérieur de l'Australie. Approvisionnement énergétique. Organisation administrative de l'industrie charbonnière. Les ressources en charbon et en lignite. La production charbonnière pour l'année 1975 s'est élevée à 70 Mio.t, dont 42,3 Mio.t proviennent de Nouvelle Galles du Sud et 23,9 Mio.t du Queensland. Evolution entre 1961 et 1975 de la production charbonnière (mines souterraines et de surface), de la main-d'œuvre, des rendements. Répartition de la consommation intérieure entre 1967 et 1975. Participation étrangère dans les exploitations minières. Les exportations de charbon entre 1970 et 1975. Infrastructure portuaire.

Q 121

Fiche n. 64.952

TILMANN. Der Braunkohlenbergbau in Deutschland. *L'exploitation du lignite en RFA.* — **Glück-** 1976, 20 mai, p. 615.

Les ressources mondiales en lignite sont évaluées à de 2100 milliards et la production mondiale actuelle atteint 840 Mio.t. Compte tenu des de transport qui chargent particulièrement le te en raison de son faible pouvoir calorifique, lisation ne peut se faire la plupart du temps qu'à imité du gisement. C'est pourquoi le lignite a très vent, avant tout, une importance régionale. Mais onstitue fréquemment la condition préalable pour blissement de secteurs industriels dans le voisi-e de gisements importants. L'influence structur- régionale, qui apparaît ici, repose sur les avan- es du lignite par rapport aux autres porteurs d'é- gie primaire, avantages qui, pour l'essentiel, sont tribuer au fait que le lignite, recouvert générale- nt par des terrains meubles, est extrait dans des loitations à ciel ouvert faisant appel à une techno- e avancée.

ésumé de la Revue.

L'exploitation du quartier — maille de 21 m × 40 m avec largeur de galerie de 6 m — correspond au traçage d'un faisceau de 8 galeries. Services généraux du quartier. L'abattage par mineur continu dans le faisceau J1 de 3,40 m de puissance, suite à la mauvaise tenue du toit, s'effectue en opérant alternativement dans 3 galeries. Technique du creusement en 2 phases sur 5 m de profondeur (250 t de minerais) ; la production moyenne par poste se situe à 800 t. Pics d'abattage : type et consommation. Le soutènement par boulonnage est assuré par un jumbo Secoma Diesel type PEC. Pose du ventube. Evacuation du minerai par 3 camions Expadumps 14 D 2. Organisation de l'entretien du matériel. Résultats obtenus après la mise en route de la méthode et formation du personnel (2 mois) : 1) marche à 2 postes de 4 ouvriers (3,8 moyenne) : 605 t/poste, soit 159,74 t/Hp ; 2) marche à 2 postes de 5 ouvriers (4,4 moyenne) : 797 t/poste, soit 181,4 t/Hp. Le coefficient d'utilisation du mineur continu a été de 85,8 %.

R. RECHERCHES — DOCUMENTATION

Q 132

Fiche n. 64.946

PSOTTA. Betriebskonzentration und Strukturwandel der Produktion im Kalibergbau. *Concentration de l'exploitation et restructuration de la production de l'industrie de la potasse.* — **Glückauf,** 1976, 20 mai, p. 570/581, 23 fig., 5 tabl.

Jusqu'à la fin de la 1ère guerre mondiale, les rais potassiques ont été produits exclusivement à l'Allemagne. Cette position de monopole a été due suite à la découverte de nombreux gisements dans le monde entier, et l'industrie allemande de la potasse a dû faire face à une concurrence croissante d'autres pays producteurs. Concentration des exploitations, introduction de nouvelles méthodes d'abattage (chambres en gradins et piliers abandonnés, chambres magasins) et mécanisation par gros engins qui ont permis d'augmenter la productivité de 100 % en moyenne et d'augmenter la production de sièges. Restructuration de la préparation de la potasse pour améliorer la qualité des produits et fabrication d'engrais composés.

Biblio. : 14 réf.

IND. R 110

Fiche n. 65.068

J.J. YANCIK. Overview of International Health Safety Extraction. Research and Development in coal mining. *Revue générale des travaux des Instituts de Recherche et de Développement pour la santé et la sécurité dans l'industrie charbonnière.* — **Mining Congress Journal,** 1976, août, p. 51/58, 7 fig., 2 tabl.

Les programmes de recherche de l'industrie charbonnière sont surtout consacrés aux exploitations souterraines qui sont plus dangereuses que les exploitations à ciel ouvert du point de vue sécurité et santé. Brève revue des activités des instituts de recherche des pays suivants : USA, URSS, Chine, Pologne, Royaume-Uni, RFA. Tableau donnant pour 20 pays le nom des instituts, la localité, le personnel occupé, les programmes de recherche, le répondant des instituts et le budget en millions de \$. Recherches sur base multilatérale, rôle de l'I.E.A. (International Energy Agency), du Marché Commun. Conventions bilatérales des USA avec le Canada, le Japon, la Pologne, l'URSS et le Royaume-Uni. Les objectifs du Comité International de la Recherche pour le Charbon (I.C.C.R.), dont les membres fondateurs sont la RFA, la Belgique, le Royaume-Uni, l'Espagne, la France et les USA et auxquels se joignirent le Canada, l'Afrique du Sud et l'Australie, sont exposés.

Q 132

Fiche n. 64.974

MAISTRET. Abattage de minerai de fer lorrain par mineur continu Jeffrey 120 HR à la mine de Maïnil. — **Industrie Minérale. Mines,** 1976, n° 159/169, 7 fig., 5 tabl.

IND. R 117

Fiche n. 65.057

M. KABBAJ. Pourquoi l'Institut Mondial du Phosphate ? — **Industrie Minérale**, 1976, août-septembre, p. 423/427, 2 fig.

Le directeur des recherches techniques de l'Institut Mondial du Phosphate présente ce nouvel institut

mondial et en indique les buts. Pour cela, il expose rapidement les bases biologiques des besoins phosphate, sa présence dans les océans, son rôle dans le sol et la ligne des études et recherches théoriques et pratiques à entreprendre.

Biblio. : 6 réf.

Résumé de la Revue.

Bibliographie

Journées d'étude sur la mise à forme des métaux

Deux journées d'étude sur la mise à forme des métaux ont eu lieu à la Faculté Polytechnique de Mons les 21 et 22 novembre 1974.

Les conférences suivantes y ont été données :

- Idéalisation des lois de comportement pour l'étude de la mise à forme des métaux, par J. Oudin et Y. Ravalard
- Critères d'écoulement en mise à forme des métaux isotropes, par J. Oudin et Y. Ravalard
- Les lois de la plasticité et les théorèmes d'extremum, par M. Save
- Prévision d'écoulement par champs discontinus de vitesses en déformation plane, par D. Lamblin et G. Guerlement
- Prévision de la puissance motrice en mise à forme des métaux par champs de vitesses pseudo-continus, par J. Oudin et Y. Ravalard
- Possibilités d'étude des problèmes axisymétriques en mise à forme, par D. Lamblin et G. Guerlement
- Défauts des produits, par D. Lamblin et G. Guerlement
- Phénomènes thermiques dans la mise à forme des métaux, par J. Oudin et Y. Ravalard
- Amélioration des outillages, par G. Guerlement et D. Lamblin.

Les textes de ces conférences sont repris dans le n° 1976 de la Revue M, qui paraît fin décembre 1976 et peut être obtenu au prix de 300 F (TVA comprise) en s'adressant à la Société Belge des Mécaniciens, Rue des Drapiers 21, 1050 Bruxelles. Tél. 02) 511 82 86.

G. DOWN et J. STOCKS. — **Environmental impact of mining.** — *Impact de l'exploitation minière sur l'environnement.* Applied Science Publishers Ltd. 1977 — 371 pages, 108 figures, 81 tableaux, nombreuses références.

Les problèmes de protection et de sauvegarde de l'environnement se posent de plus en plus dans les pays développés et il est significatif de voir qu'une partie de la population manifeste une opposition violente à tout projet important d'exploitation minière.

Depuis des années, les sociétés, les législateurs et autres ont eu conscience des effets des exploitations minières sur l'environnement ; ils les ont étudiés et ont cherché des solutions pour les minimiser. En dépit de l'abondante littérature sur les nombreux aspects de ce problème, il n'existe aucun livre en reprenant la totalité. Cela est probablement dû à la difficulté de traiter un tel sujet, faisant appel à de nombreuses disciplines, dans les limites d'une seule publication. Cette lacune est maintenant comblée, et les auteurs ont écrit ce livre parce qu'ils sont convaincus que les nombreux effets de l'exploitation minière sur l'environnement dépendent les uns des autres et qu'ils doivent être examinés ensemble.

Ceux qui désirent étudier plus en détail un problème bien particulier pourront se référer aux nombreuses citations bibliographiques de l'ouvrage, et leur étude en sera ainsi facilitée.

Mémento des Mines et Carrières. — 19e édition - 1977, 524 pages, nombreux tableaux et figures. Régie Publicité Industrielle, 36 rue du Fer-à-Moulin, 75005 Paris. Prix : 141,12 FF.

Ce mémento est destiné tout spécialement aux ingénieurs s'occupant d'industries extractives ; il s'adresse également à toute société ou personne intéressée par ces activités ou qui pourraient s'y intéresser comme fournisseur ou comme client.

Sommaire : I. Mémento administratif. II. Mémento des fournisseurs de matériels de mines et carrières : liste alphabétique, adresses, classement par matériels. Mémento technique : 1. *Généralités*. 2. *Recherches et sondages* : équipement, pompes, carottiers... * La diaggraphie appliquée aux forages profonds. 3. *Travaux préparatoires et abattage* : tunnels, machines d'abattage, marteaux perforateurs. * Abattage à l'explosifs : explosifs industriels, détonateurs, accessoires de tir, emploi des explosifs, abattage en carrières, percement des galeries, consommation et stockage des explosifs. * Machines de creusement des galeries. 4. *Extraction* : câbles, machines d'extraction, treuils. 5. *Chargement et transport* : convoyeurs, chaînes, courroies, problèmes de roulage, transport du personnel. * Transport des solides par conduites. 6. *Soutènement* : diffé-

rents types de soutènement, boulonnage, procédés de consolidation des terrains dans la création des galeries. 7. *Remblayage* : pneumatique, hydraulique, coefficient d'affaissement. 8. *Aérage* : calculs d'aérage, ventilateurs, aérage des chantiers, anémométrie. 9. *Exhaure* : installation, technologie des pompes, pompage des boues. 10. *Sécurité, protection* : le grisou, les casques, les masques anti-poussière. 11. *Préparation mécanique* : tôles perforées, concasseurs, broyeurs, traitement des sables, exploitation des carrières, échantillonnage, groupes mobiles de concassage. * Concassage, broyage. Pulvérisation : concasseurs, broyeurs, cribles. 12. *Energie* : compresseurs, matériel électrique, électrification, hydraulique. * L'électricité dans les mines et carrières. 13. *Télécommunications* : les appareils et leur utilisation. 14. *Exploitation à ciel ouvert et carrières* : méthodes d'exploitation, matériel utilisé, engins d'excavation, pelles hydrauliques, transport continu... 15. *Transmissions hydrauliques et lubrification* : comment choisir un fluide hydraulique de sécurité, les lubrifiants. III. * *Mémento économique* : statistiques sur la production, le matériel, le personnel.

N.B. : * Nouveaux sujets traités dans cette édition.

Rapports sur la recherche charbonnière

La 3^{ème} Conférence Internationale de la Recherche Charbonnière s'est tenue à Sydney, en Australie, en octobre 1976. Les exposés et les comptes rendus de séances seront publiés en Australie en avril 1977 au nom du Comité International de la Recherche Charbonnière. Ces documents traitent des aspects économiques et techniques des procédés de conversion du charbon, d'abattage, d'évaluation des gisements, des techniques de sécurité et de lutte contre les poussières, de production d'électricité au départ du charbon, ce dernier sujet ayant été présenté par le vice-président du National Coal Board britannique.

Les organismes intéressés dans les pays représentés au sein de l'ICCR ont la faculté de se procurer le rapport, pour la somme de 35 dollars australiens, port compris, en adressant leur demande à Mr. Savage, Executive Officer, Third International Conference on Coal Research, Box 3842 G.P.O., Sydney, Australia 2001. Les transferts ou chèques, libellés en dollars australiens, sont à établir au nom de : Third International Conference on Coal Research, Sydney, Australie.

Jahrbuch für Bergbau, Energie, Mineralöl und Chemie 1976/77. — Essen 1976, Verlag Glückauf GmbH, 1369 pages. Relié. Prix : 48 DM.

Avec le volume 1976/77, l'annuaire des mines, de l'énergie, des huiles minérales et de la chimie

renforce sa réputation d'être l'annuaire le meilleur et le plus fiable en ce qui concerne l'économie énergétique et minière dans la République Fédérale d'Allemagne et en Europe Occidentale. Aucune autre publication ne donne une idée plus fidèle de la situation actuelle dans ces domaines de l'économie que cet ouvrage de référence technico-économique, diffusé dans le monde entier et qui signale depuis plusieurs années, de façon absolument objective et complète, les entreprises concurrentes dans ces branches d'activité. L'annuaire donne un rapport détaillé de l'industrie charbonnière dans la Communauté Européenne et de toutes les exploitations de minerais, de potasse, de carrières et d'argiles. Le chapitre consacré à l'économie de l'électricité, qui avait déjà été fortement élargi les dernières années, gagne encore en importance en donnant la liste des entreprises d'électricité régionales et communales. Les données relatives aux centrales publiques et industrielles de la RFA et de certains pays européens et aux centrales nucléaires en activité ou en projet sont mises à jour pour le premier semestre 1976. L'ouvrage donne également des renseignements complets sur les organismes travaillant dans le cadre de la communauté économique européenne et des associations représentatives de chaque pays.

De la même manière, l'annuaire fait rapport sur le réseau européen de gaz naturel et, pour chaque pays, en citant toutes les organisations internationales participantes et les entreprises étrangères. Des informations détaillées sont également données sur la découverte de gisements de pétrole et de gaz naturel dans la Mer du Nord, avec les compagnies qui y participent, et l'industrie des huiles minérales dans la RFA, aux Pays-Bas, en Belgique et dans l'Est de la France, ainsi que leurs raffineries et leurs pipelines.

De nouvelles cartes en couleurs relatives à l'approvisionnement en énergie et en matières premières illustrent de façon très heureuse la partie rédactionnelle. Il faut signaler particulièrement le chapitre « Equipements industriels et services », dans lequel les principales firmes exposent leur programme, et le registre alphabétique d'environ 250 pages qui permet de trouver sans difficulté la personne ou la firme souhaitée.

L'article qui constitue cette année l'introduction de l'annuaire, intitulé « Evolution de l'énergie dans le monde. Son influence sur la conjoncture actuelle et future », s'adresse à toutes les branches de l'économie vu son importance dans tous les domaines et son actualité. Cet article est écrit par un éminent spécialiste, M. Erich Schieweck.

En bref, l'annuaire 1976/77 est une source d'informations de premier ordre et de grande fiabilité.

